

ÜBERWACHUNGS- UND STEUERUNGSSOFTWARE DER BETRIEBSPARAMETER DES VDC-SYSTEMS BEI CMS

von

Lukas Koch

Bachelorarbeit in Physik

vorgelegt der

Fakultät für Mathematik, Informatik und Naturwissenschaften der RWTH
Aachen

im August 2010

angefertigt im

III. Physikalischen Institut A

bei

Prof. Dr. Thomas Hebbeker

Zusammenfassung

Beim CMS-Detektor bei CERN kommen Gasdetektoren zum Myontracking zum Einsatz. Um die optimale Auflösung dieser Detektoren zu gewährleisten, wird an der RWTH Aachen zur Zeit ein VDC-System entwickelt, welches die Driftgeschwindigkeit von Elektronen in dem verwendeten Gas messen soll.

Im Rahmen dieser Bachelorarbeit wurden Programme zur Betriebsparameterüberwachung der VDCs entwickelt. Das Parameterkontrollsystem der VDCs wird skizziert. Die für die Überwachung der Betriebsparameter verantwortlichen Programme, sowie das zugrundeliegende Konzept werden vorgestellt. Anschließend werden einige, mit den neu entwickelten Programmen aufgenommene, Daten analysiert und aus ihnen Empfehlungen für Toleranzgrenzen für Gasfluss- und Druckschwankungen hergeleitet. Außerdem wird die Ventilpositionsauslese analysiert und gezeigt, dass sie bei den aktuellen Laborbedingungen gut funktioniert. Bei drei Ventilen wurde jedoch eine (sehr wahrscheinlich hardwarebedingte) Unregelmäßigkeit beobachtet, die das Bestimmen der Positionen bei diesen Ventilen teilweise verhindert.

Inhaltsverzeichnis

1	Einleitung	1
1.1	Motivation	1
1.2	Die VDCs	1
2	Das System	3
2.1	Das Gassystem	3
2.1.1	Fluss- und Druckregelung	3
2.1.2	Die Ventilmatrix	4
2.2	Die Temperatursensoren	5
2.3	Die Hochspannungsversorgung	7
3	Das Softwarekonzept	7
3.1	Ziele	7
3.2	Umsetzung	7
4	Die Programme	8
4.1	MASTERD & MINID	8
4.2	HVREADOUT	9
4.3	GASMATRIX	10
4.4	FLOWBUS	11
4.5	PBREADOUT	11
5	Analyse aufgenommener Daten	12
5.1	Druck- und Flusstabilität	12
5.2	Die Ventilauslese	14
6	Integration des Systems bei CMS	19
7	Fazit und Ausblick	20
	Literatur	21
	Eidesstattliche Erklärung	22
A	Plots	23
A.1	Druckstabilitätsmessung	23
A.2	Flusstabilitätsmessung	25
A.3	Ventilauslese	27
B	Quellcodes	71
B.1	MASTERD & MINID	71
B.2	GASMATRIX	74
B.3	FLOWBUS	89
B.4	PBREADOUT	96

Abbildungsverzeichnis

1	Aufbau einer Driftkammer am CMS	2
2	Prinzipskizze der VDCs	2
3	Die Gasregelung	4
4	Die Ventilmatrix	5
5	Die Ventilauslese	6
6	Hintergrundprozesskontrolle	8
7	Informationsfluss: MASTERD	9
8	Messung der Flusstabilität	12
9	Messung der Druckstabilität	13
10	Temperaturdifferenzverlauf während eines Heizzyklusses	14
11	Temperaturdifferenzverläufe von 289 Heizzyklen überlagert	15
12	Differenzen der Maximaltemperaturen der 289 Heizzyklen über die Zeit	16
13	Histogramm der Differenzen der Maximaltemperaturen der 289 Heizzyklen	16
14	Auffälliges Heizverhalten der Ventile 21, 46 und 64	17
15	Messschranktemperatur über die Zeit	18
16	Momentaner (sehr früher) Stand der Entwicklung der grafischen Benutzeroberfläche	19

Tabellenverzeichnis

1	Übersicht MASTERD	8
2	Übersicht MINID	9
3	Übersicht HVREADOUT	9
4	Übersicht GASMATRIX	10
5	Übersicht FLOWBUS	11
6	Übersicht PBREADOUT	11
7	Gemessene Gasfluss- und Druckstabilitäten	13
8	Empfohlene Toleranzen für Gasfluss und -druck	13
9	Mittlere Differenz der Maximaltemperaturen der verschiedenen Ventile	15
10	Mittlere Differenz der Maximaltemperaturen der verschiedenen Ventile in anderer Position	17
11	Mittlere Differenz der Maximaltemperaturen der verschiedenen Ventile in mittlerer Position	18

1 Einleitung

1.1 Motivation

Beim CMS-Experiment¹ des LHCs² bei CERN³ kommen Gasdetektoren zum Einsatz, welche zum Tracking von Myonen benutzt werden. Die eingesetzten Kathodenstreifenkammern⁴ erhalten die Ortsinformation des Teilchendurchgangs direkt aus den Signalstärken an den Anodendrähten und Kathodenstreifen durch Gewichtung mit den Signalamplituden.

Für eine genaue Ortsbestimmung der Teilchendurchgänge in den Driftkammern⁵ muss aber sowohl die Driftzeit, als auch die Driftgeschwindigkeit der Elektronen im Gas bekannt sein.⁶

Die Bestimmung der Driftzeit erfolgt durch die Messung der Zeitdifferenz zwischen einem Triggersignal⁷ und dem eigentlichen Anodensignal der Driftkammern (Abb. 1).

Die Driftgeschwindigkeit der Elektronen im Gas der Kammer hängt von der lokalen Feldstärke und den Eigenschaften des Gases ab.

Das elektrische Feld lässt sich durch Simulationen sehr genau berechnen und durch feldformende Elemente in den Driftkammern gut festlegen.

Das Gas – bestehend aus einer Mischung aus 85% Argon und 15% Kohlendioxid – wird unter kontrollierten Bedingungen und leichtem Überdruck ca. einmal pro Tag ausgetauscht⁸. Dies sollte eine Verunreinigung verhindern.

Um Fluktuationen in der Driftgeschwindigkeit, welche die Messungen am CMS beeinflussen könnten, zu registrieren, wird Gas von verschiedenen Stellen⁹ des Myonsystems zu VDCs¹⁰ geleitet. Diese messen laufend die Driftgeschwindigkeit von Elektronen im Kammergas unter Bedingungen, die denen in den Driftkammern ähneln und können Alarm geben, wenn sich diese z.B. durch Gasverunreinigungen ändern.

Da es sich bei den VDCs um ein Überwachungssystem handelt, das kontinuierlich die Driftgeschwindigkeit im Gas registriert und damit den reibungslosen Ablauf der Messungen am DT-System garantieren soll, muss die Selbstkontrolle des VDC-Systems so ausgelegt sein, dass Störungen und Unregelmäßigkeiten zuverlässig erkannt werden. Außerdem müssen im Falle einer Störung alle nötigen Informationen bereitstehen, um die Ursache der Störung schnell ausfindig zu machen. Das Durchführen von Testmessungen und Diagnose soll soweit wie möglich aus der Ferne möglich sein. Die vorliegende Arbeit befasst sich mit der Software, die die Betriebsparameter des VDC-Systems steuert und überwacht.

1.2 Die VDCs

Abbildung 2 zeigt das Funktionsprinzip der VDC. Die Kammer ist mit dem zu untersuchenden Gas gefüllt. Zwischen Kathode und Anode wird eine Spannung angelegt, die ein elektrisches Feld erzeugt. Mit Hilfe der Feldformungselektroden wird dieses in der sensitiven Region möglichst homogen eingestellt.

Zwei Betastrahler (Sr90) sind in die Wand der VDC eingelassen und ihre Strahlung wird mit Kollimatoren fokussiert. Ein Teil der Elektronen durchquert die Kammer und löst in der Szintillator-Faser am anderen Ende

¹Compact Muon Solenoid – Für nähere Informationen siehe z.B. [1].

²Large Hadron Collider

³Conseil Européen pour la Recherche Nucléaire – Europäische Organisation für Kernforschung

⁴Auch Cathode Strip Chambers (CSC) genannt

⁵Auch Drift Tubes (DT) genannt – Bei CMS gibt es 250 große DTs mit insgesamt ca. 170000 Driftzellen, wie sie in Abb. 1 dargestellt ist. Sie sind in 5 Gruppen von je 50 DT in 5 unabhängigen radförmigen Segmenten des Magnetjochs montiert. Für jedes Rad gibt es eine eigene Gasregelung und eigene Gasanalysegeräte zur Messung der Feuchte, des Sauerstoffs und der Driftgeschwindigkeit im Gas. Letzteres ist kommerziell nicht erhältlich und wird deshalb in Form des VDC-Systems zur Zeit an der RWTH Aachen entwickelt.[2]

⁶Für ausführlichere Informationen zur Teilchendetektion mit Driftkammern mit siehe z.B. [3].

⁷Resistive Plate Chambers (RPC), CSCs, DTs und Kalorimeter erzeugen Triggersignale, welche von einer übergeordneten Logik bewertet werden. Diese liefert dann das finale Triggersignal.

⁸Das gebrauchte Gas wird gereinigt und wieder ins System zurückgeführt. Pro Umlauf muss etwa 10% des Gases durch Frischgas ersetzt werden.

⁹Das Gas kann sowohl vor als auch hinter den verschiedenen Kammern entnommen werden, um genauer einzugrenzen wo eine eventuelle Verunreinigung des Gases stattfindet. Es werden insgesamt bis zu 6 VDCs¹⁰ messen, so dass eine gleichzeitige Kontrolle aller 5 Räder des Myonsystems und des Frischgases möglich ist.

¹⁰Velocity Drift Chambers

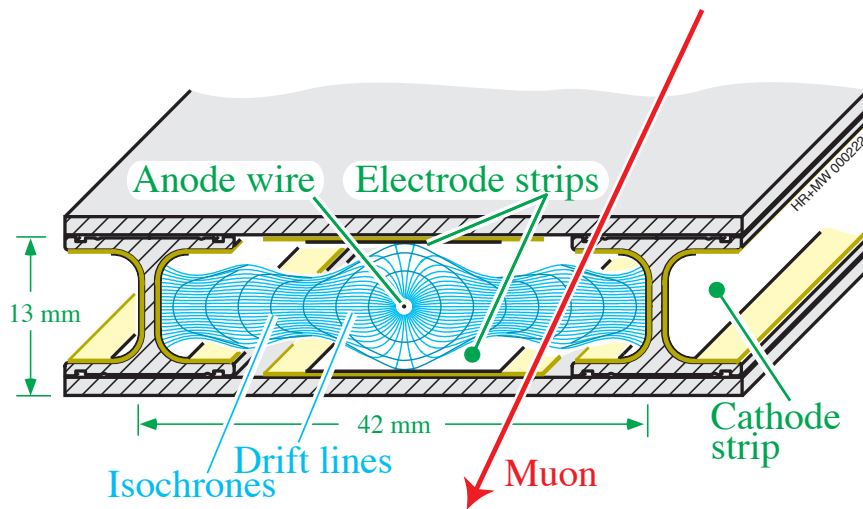


Abbildung 1: Aufbau einer Driftkammer am CMS[2]

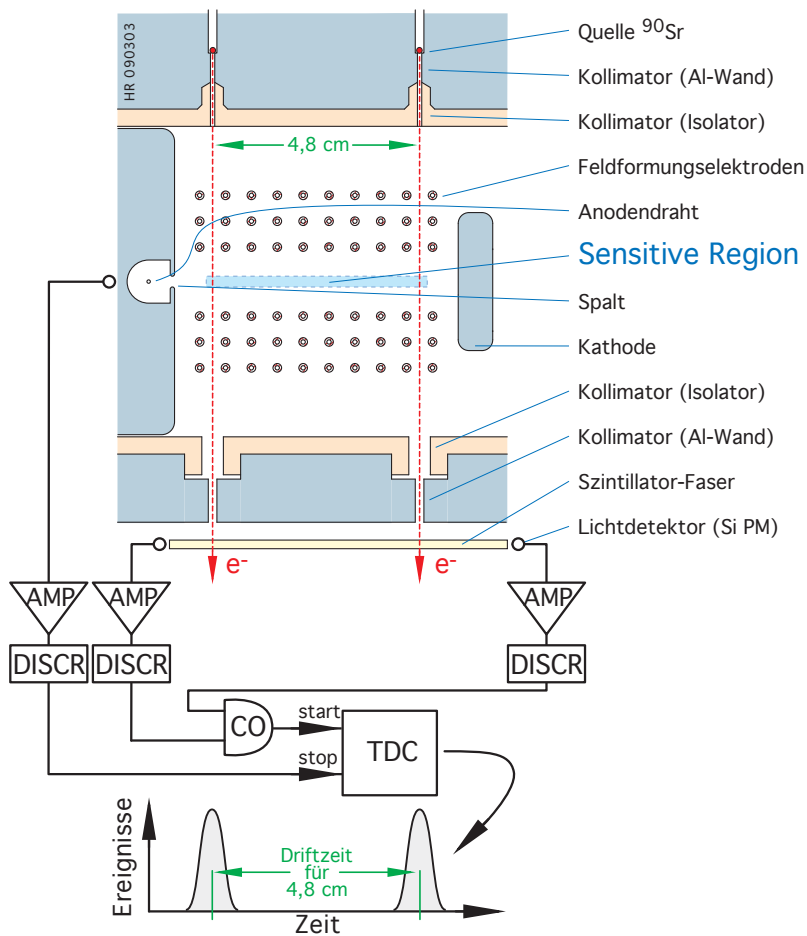


Abbildung 2: Prinzipskizze der VDCs[2] – AMP = Verstärker, DISCR = Diskriminator, CO = Koinzidenz, TDC = Zeit-Digital-Wandler

einen Lichtblitz aus. Wird dieser von den beiden SiPMs registriert, so wird am TDC das Startsignal ausgelöst und er beginnt die Zeit zu messen. Durch die Verwendung von zwei SiPMs¹¹ kann ihr Rauschen mit einer Koinzidenzschaltung stark unterdrückt werden. Nur Signale, die von beiden SiPMs gleichzeitig an der Koinzidenz antreffen, werden als Startsignal an den TDC¹² weitergegeben.

Auf seinem Weg durch das Gas hat das von der Strahlenquelle emittierte Elektron Gasmoleküle ionisiert. Die erzeugten Elektron-Ionen-Paare werden durch das elektrische Feld von einander getrennt und die Elektronen bewegen sich in Richtung der Anode und die Ionen in Richtung der Kathode. Elektronen, die außerhalb der sensitiven Region herausgeschlagen wurden, erreichen nicht den 2,5 mm breiten Schlitz vor dem Anodendraht und werden von den Feldformungselektroden oder der geerdeten Kammerwand aufgenommen. Elektronen, die in der sensitiven Region herausgeschlagen wurden, bewegen sich bis zur Anode, wo sie durch das dort starke Feld, eine Elektronenlawine auslösen und ein messbares Signal produzieren. Dieses Signal stoppt den TDC und damit wurde die Flugzeit der herausgeschlagenen Elektronen gemessen.

Je nach dem, aus welcher der beiden Quellen das emittierte Elektron kam, haben die herausgeschlagenen Elektronen eine unterschiedlich weite Strecke bis zur Anode zurückzulegen und ihre Flugzeiten sind dementsprechend auch unterschiedlich lang. Trägt man alle gemessenen Flugzeiten in einem Histogramm auf, so zeigen sich zwei Häufungen, die den beiden Strahlenquellen entsprechen.

Für die Driftgeschwindigkeit der Elektronen im Gas gilt $v_{drift} \propto E/N$ [4][5]. Hierbei ist N die Teilchendichte des Gases, welche innerhalb der Kammer konstant ist. Um nun die in der sensitiven Region konstante¹³ Driftgeschwindigkeit zu messen, benötigen wir nur die Differenz (!) der Flugzeiten der den beiden Quellen Entsprechenden Elektronen Δt und die Streckendifferenz Δs . Mit $v_{drift} = \Delta s / \Delta t$ lässt sich die Geschwindigkeit einfach ausrechnen.

Der Vorteil dieser Methode ist, dass bei der Verwendung der Zeitdifferenz viele der systematischen Fehler auf die Flugzeitmessung¹⁴ und Inhomogenitäten nahe der Anode neutralisiert werden, weil sie die Zeitmessungen bei beiden Quellen gleichermaßen beeinflussen und bei der Differenzbildung herausfallen.

Für weitere Informationen über die Funktion und Entwicklung der VDCs siehe z.B. [6], [7] und [5].

2 Das System

2.1 Das Gassystem

2.1.1 Fluss- und Druckregelung

Da das Gas unregelt vom CMS-Myonensystem an das VDC-System geliefert wird, ist jede der VDCs mit einem Fluss¹⁵- und einem Druckregler¹⁶ ausgestattet (siehe Abb. 3). Die Flussregelung sorgt für einen konstanten Gasaustausch in den Kammern, während die Druckregelung für konstante Druckbedingungen in den Testkammern sorgt, womit reproduzierbare Geschwindigkeitsmessungen erst möglich gemacht werden. Es wird ein leichter Überdruck gegenüber der Atmosphäre eingestellt, um eine Verunreinigung des zu testenden Gases durch eventuelle Undichtigkeiten in der Kammer zu vermeiden.

Der Fluss kann durch die lokale Regelung im Bereich zwischen 0 l/h und 20 l/h eingestellt werden. Der Solldruck kann zwischen 0 mbar und 1100 mbar (absolut) gewählt werden, wobei natürlich kein Druck unterhalb des Atmosphärendrucks erreicht werden kann. Zur Zeit ist ein Regelbetrieb bei 5,00 l/h und 1000 mbar vorgesehen. Während des Probetriebs in Aachen ist der Fluss auf 3,00 l/h eingestellt.

Sämtliche Fluss- und Druckregler werden von einer Basisstation¹⁷ angesteuert. Diese wiederum ist per serieller Schnittstelle an den PC angeschlossen und wird mittels der – im Rahmen dieser Arbeit entwickelten – Software FLOWBUS bedient. FLOWBUS dient neben dem Einstellen der Sollwerte auch dem Auslesen und Aufzeichnen der Istwerte, welche ebenfalls von den internen Sensoren der Regler bereitgestellt werden (siehe Abschnitt 4.4).

¹¹Silizium Photomultiplier – Ein Lichtdetektor auf Halbleiterbasis

¹²Time to Digital Converter – Ein Zeitmesser mit einer Auflösung von ca. 0,8 ns

¹³Das Feld ist in diesem Bereich ja homogen.

¹⁴Z.B. Laufzeiten in der Elektronik

¹⁵Bronkhorst EL-FLOW, HI-TEC Modell F-201C-RGD-33-Z Multi-Bus DMFC

¹⁶Bronkhorst EL-PRESS, HI-TEC Modell P-702C-1K1A-RGD-33-Z Multi-Bus DEPC

¹⁷Bronkhorst E-7400 und E-7500-05 Auswertesystem

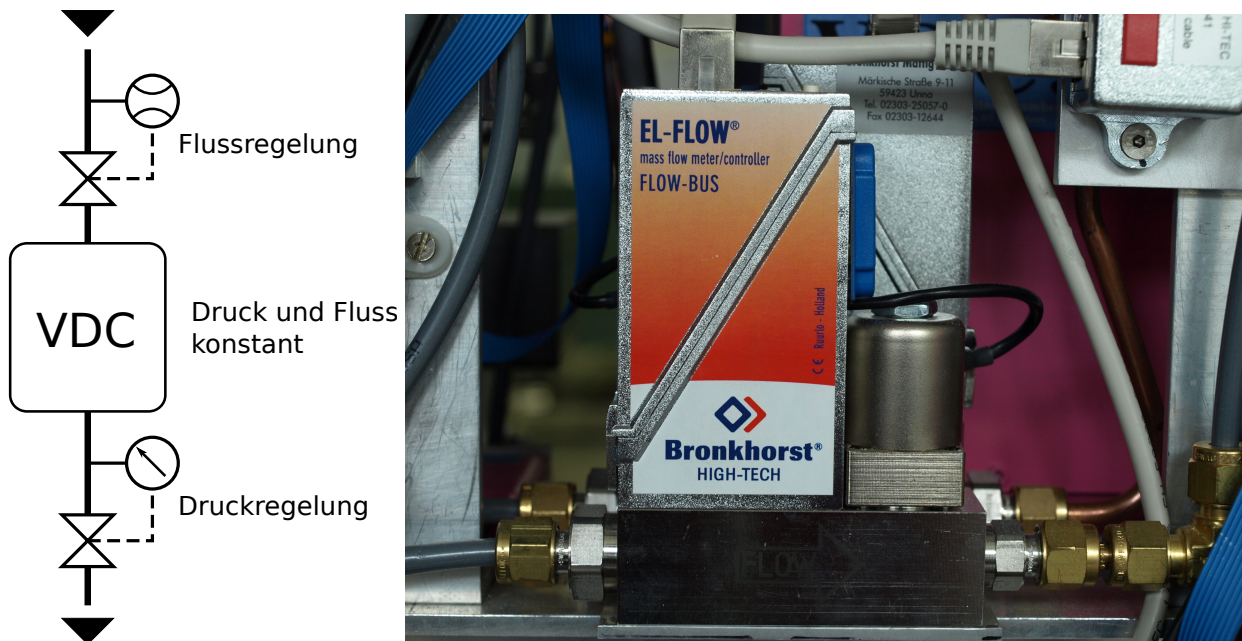


Abbildung 3: Die Gasregelung – Auf dem Foto ist im Vordergrund die Fluss- und dahinter die Druckregelung zu sehen.

Zusätzlich zu den digital auslesbaren Sensoren in den Druckreglern sind zur Drucküberwachung bei jeder Kammer noch zwei Differenz- und ein Absolutdrucksensor installiert¹⁸. Diese liefern als Signal eine Spannung, welche mittels eines Analog-Digital-Wandlers¹⁹ erfasst und anschließend von der hierfür entwickelten Software PBREADOUT (siehe Abschnitt 4.5) in einen Druckwert umgewandelt wird.

Die analogen Sensoren weisen untereinander Abweichungen auf, die im Bereich der vom Hersteller angegebenen Genauigkeit liegt (bis zu 20% vom Maximalwert). Ein Sensor für sich genommen liefert aber reproduzierbar eine Spannung, die bei gegebenem Druck deutlich weniger schwankt. Nimmt man also Kalibrationskurven für die einzelnen Sensoren auf und wandelt diese in Lookup-Tabellen um, kann man die Genauigkeit der Druckmessung deutlich erhöhen (siehe [8]).

2.1.2 Die Ventilmatrix

Das VDC-System ist dazu ausgelegt simultan Gas aus bis zu 6 verschiedenen Quellen analysieren zu können. Die ersten 5 Quellen entsprechen den Rädern -2 bis 2 des CMS-Myonsystems (siehe 1.1) und bei der 6. Quelle kann zwischen einem Referenzgas mit genau bekannter Zusammensetzung und dem Frischgas, welches auch in das Gassystem eingespeist wird, gewählt werden.

Um beim Ausfall einer Kammer flexibel zu sein und um eventuelle systematische Unterschiede der Kammern von tatsächlichen Unterschieden der Driftgeschwindigkeiten unterscheiden zu können, kann mit Hilfe einer Ventilmatrix an der Rückseite des Messschrankes die Gasquelle jeder einzelnen Kammer individuell von Hand ausgewählt werden (siehe Abb. 4). Es ist also nicht nötig das Rohrsystem zu öffnen und dabei mit Luft zu verunreinigen, wenn man das Gas von einer Quelle zu einer anderen VDC umleiten will.

Bei dieser Flexibilität ist es jedoch wichtig sicherzustellen, dass jede Kammer auch genau das Gas erhält, welches sie untersuchen soll. Die Ventile können zwar nur vor Ort per Hand umgestellt werden, durch Flüchtigkeit oder Missverständnissen kann es aber trotzdem dazu kommen, dass die Ventile nicht so eingestellt werden, wie es im aktuellen Messvorgang vorgesehen ist. Um solche Fehler dennoch zu entdecken wurde ein System entwickelt, welches trotz eventuell vorhandener Magnetfelder (keine magnetische Auslese möglich) oder Staubansammlungen (keine optische Auslese möglich) eine zuverlässige Bestimmung der Ventilpositionen ermöglicht.

An jedem Ventil befinden sich zwei Temperatursensoren²⁰, einer dort, wo sich der Hebel bei geöffnetem Ventil

¹⁸Freescale Semiconductors, Inc. MPX5010DP (-100 mbar bis 100 mbar), MPX5050DP (-500 mbar bis 500 mbar) und MPXA6115AC6U (bis 1150 mbar absolut) – Die gleichen Differenzdrucksensoren werden auch zur Drucküberwachung an den DTs des Myonsystems benutzt.

¹⁹National Instruments NI-PCI-6229

²⁰Dallas DS1820

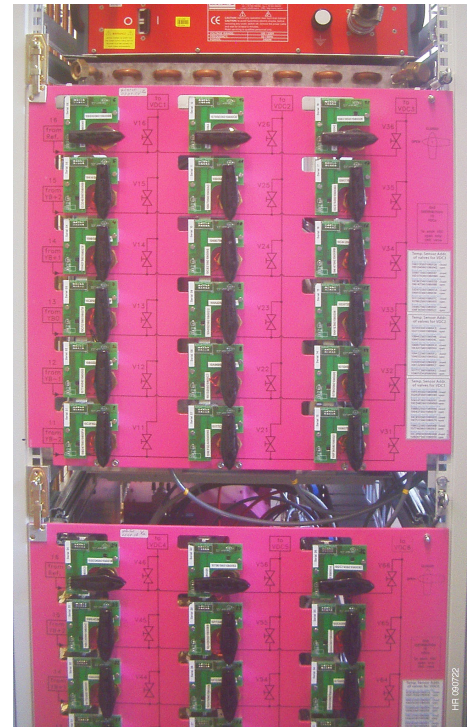
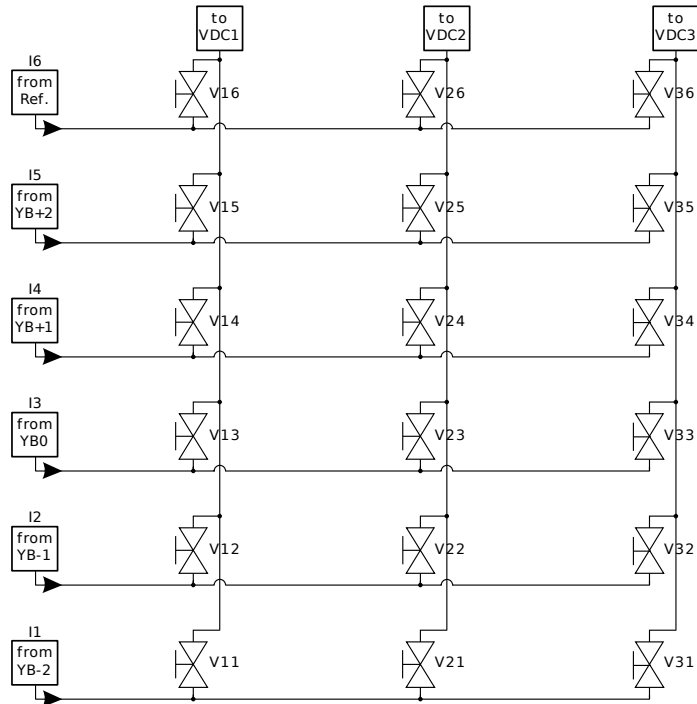


Abbildung 4: Die Ventilmatrix[2] – Jede Zeile entspricht einer Gasquelle (Referenz-/Frischgas und die fünf Räder des Myonsystems), jede Spalte einer VDC. Im Schema sind nur die ersten 3 VDCs abgebildet. Die übrigen 3 sind analog dazu angeschlossen. Außerdem befinden sich Ventile am Auslass jeder VDC (Ventil 17, 27, 37, 47, 57 und 67) und es gibt 2 Ventile um zwischen Frischgas vom DT-System und hochreinem Referenzgas wählen zu können (Ventil 101 und 102).

befindet, genannt Opentemp, und einer dort, wo sich der Hebel bei geschlossenem Ventil befindet, genannt Closetemp (siehe Abbildung 5). Im Hebel selbst ist ein SMD-Widerstand eingelassen, welcher in regelmäßigen Abständen beheizt wird. Anhand der gemessenen Temperaturverläufe an den beiden Temperatursensoren kann nun festgestellt werden, über welchem der beiden Sensoren sich der Hebel befindet, also in welcher Position sich das Ventil befindet. Auch eine undefinierte Ventilstellung (Hebel weder über dem einen noch dem anderen Temperatursensor) lässt sich so feststellen.

Die Temperatursensoren werden über einen 1-Wire-Bus ausgelesen. Die Anbindung an den PC geschieht über einen USB-1-Wire-Adapter²¹. Auch das Heizen wird über den 1-Wire-Bus gesteuert. Digitale IO-Bausteine²² starten den Heizvorgang, welcher dann eine in der Hardware festgelegte Zeit andauert (monostabile Kippstufe). Eine ebenfalls in der Hardware festgelegte Totzeit, in der keine weiteren Heizvorgänge gestartet werden können, verhindert, dass die Widerstände in den Hebeln durch einen Softwarefehler permanent beheizt und evtl. zerstört werden. Sämtliche Elektronik ist in dem VME-Einschub „VALVE READOUT“ zusammengefasst.[9]

Das Heizen, die Temperatursensoren und die Bestimmung der Ventilpositionen werden von dem Programm GASMATRIX durchgeführt (siehe Abschnitt 4.3).

2.2 Die Temperatursensoren

Zusätzlich zu den Temperatursensoren in der Ventilmatrix sind über das VDC-System noch weitere Sensoren verteilt, die die Temperatur an verschiedenen Stellen überwachen sollen. Sie sind über denselben 1-Wire-Bus an den PC angeschlossen wie die Sensoren in der Matrix und werden auch über die Software GASMATRIX ausgelesen. Es wird für jeden Sensor ein Temperaturbereich definiert, in dem sich die Temperatur befinden darf und eventuelle Abweichungen werden gemeldet (siehe 4.3).

²¹Dallas DS9490R

²²Dallas DS2413

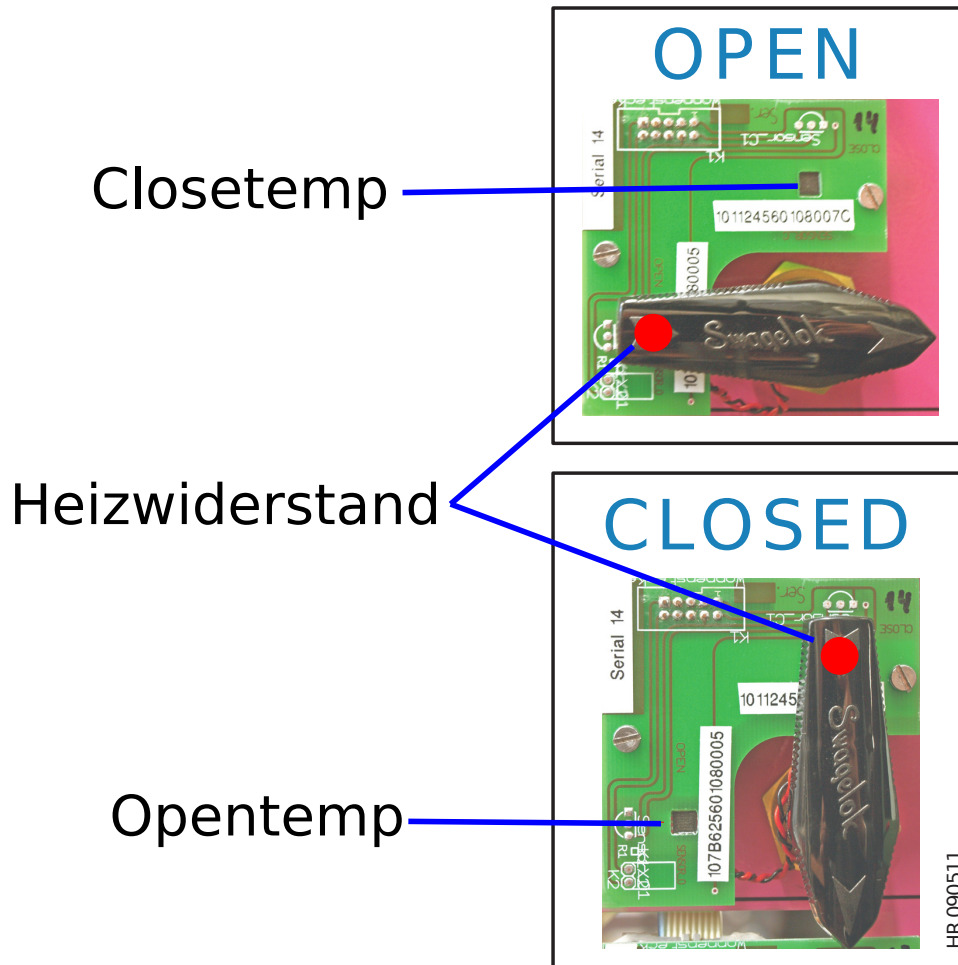


Abbildung 5: Die Ventilauslese[2] – Im Ventilhebel ist ein Heizwiderstand eingelassen, der in regelmäßigen Abständen eingeschaltet wird und je nach Ventilstellung den Sensor Opentemp oder Closetemp beheizt. Aus den unterschiedlichen Temperaturverläufen der Sensoren lässt sich dann die Ventilstellung bestimmen.

2.3 Die Hochspannungsversorgung

Die Spannungsversorgung für die Anoden und Kathoden der VDCs, sowie für die SiPMs wird von einem digital steuerbaren Netzteil²³ bereitgestellt.

Das Setzen der Sollwerte, sowie das Überwachen der Spannungen und Ströme auf mögliche Einbrüche oder Spitzen geschieht mit dem Programm HVREADOUT (siehe Abschnitt 4.2).

3 Das Softwarekonzept

3.1 Ziele

Da es sich bei dem VDC-System um ein Überwachungssystem handelt, welches den regulären Betrieb der 250 DTs des CMS-Myonsystems gewährleisten soll, ist es wichtig, dass es selbst stabil und zuverlässig funktioniert. Außerdem muss das System alle nötigen Informationen bereitstellen, um die Fehlerquelle bei einer eventuellen Störung schnell zu lokalisieren und möglichst zu beheben.

Um dies sicherzustellen wurden folgende Ziele für die Softwareentwicklung beim VDC-System formuliert:

Modularität Die einzelnen Subsysteme (Temperatúrauslese, Druckauslese, Darstellung für den Benutzer etc.) operieren weitgehend unabhängig von einander. Wenn ein Subsystem aufgrund eines Softwareproblems ausfällt, bleiben die anderen Subsysteme davon unbeeinflusst.

Transparenz Der Informationsfluss zwischen den Programmen geschieht über Textdateien, die jederzeit eingesehen werden können. Dies erleichtert es festzustellen an welcher Stelle im System ein Fehler auftritt.

Zurückverfolgbarkeit Das Loggen von Parametern und eventuellen Fehlern in Textdateien ermöglicht es Unregelmäßigkeiten im Nachhinein zu untersuchen.

Fehlertoleranz Sollte ein unerwarteter Softwarefehler auftreten, der ein Subsystem zum Absturz bringt, so wird dies erkannt und das entsprechende Subsystem automatisch neu gestartet.

3.2 Umsetzung

Sämtliche dauerhaft laufende Programme sind in C/C++ geschriebene Kommandozeilenprogramme, welche im Normalbetrieb als Daemon²⁴ laufen. Da diese Programme teilweise besondere Rechte benötigen, die der normale Benutzer aus Sicherheitsgründen nicht haben sollte (Zugriff auf einige Systemdateien und die Hardware), laufen sie als eigener Benutzer „messung“.

Jedes der Programme hat eine eigene Konfigurationsdatei, über die es gesteuert wird und welche es regelmäßig ausliest. Alle Konfigurationsdateien benutzen dieselbe Syntax:

```
# Kommentar
$BEFEHL, Anzahl_der_Argumente, Argument_1, Argument_2, ...
$STOP,0
```

Befehle beginnen immer mit einem \$ als erstes Zeichen einer Zeile, gefolgt von dem Befehlsnamen, der Anzahl der Argumente, die mit dem Befehl übergeben werden und den Argumenten selbst.

Der Befehl „\$STOP“ hat z.B. 0 Argumente und wird von allen Prozessen verstanden. Wird er in die Konfigurationsdatei geschrieben, signalisiert dies dem Programm es soll sich regulär beenden.

Ausgaben erfolgen, je nach Bedarf, über ständig aktualisierte Textdateien, die den aktuellen Status des Subsystems enthalten und über Logdateien, welche den Verlauf des Systems festhalten. Abbildung 6 zeigt das Prinzip der Hintergrundprozesskontrolle.

²³Caen SY1527

²⁴Hintergrundprozesse ohne direkte Benutzerinteraktion unter unixartigen Betriebssystemen wie Scientific Linux

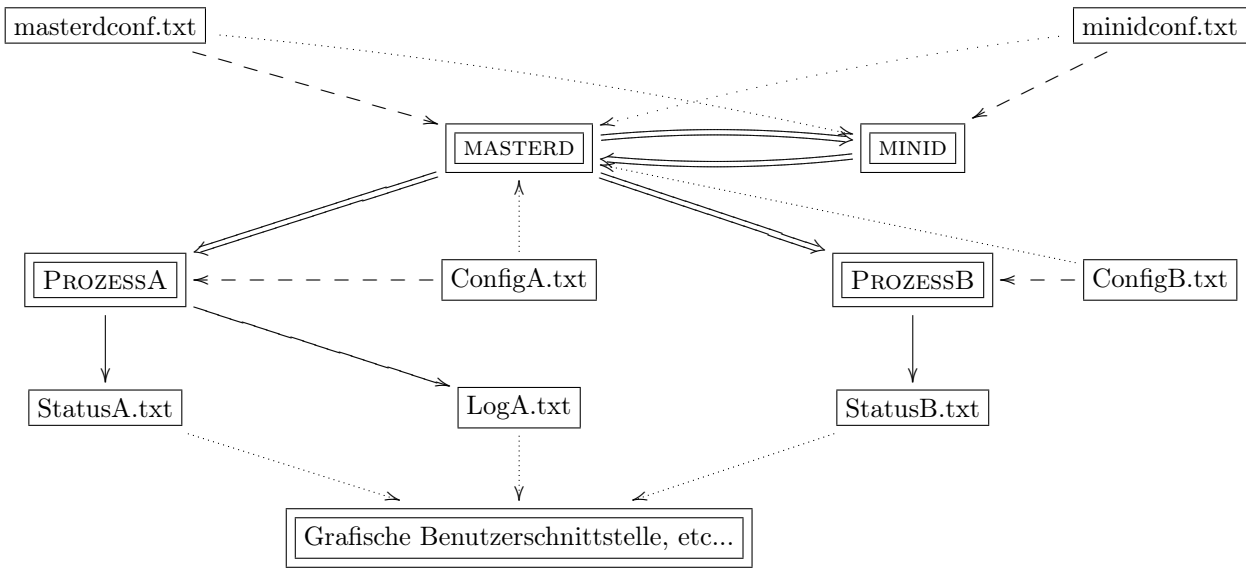


Abbildung 6: Hintergrundprozesskontrolle – Prozesse werden durch Konfigurationsdateien gesteuert ($-->$). MASTERD und MINID starten überwachte Prozesse neu (\Rightarrow), wenn diese laut Konfigurationsdatei eigentlich laufen müssten ($\cdots \succ$). Ausgaben geschehen in Textdateien (\rightarrow), welche wiederum von anderen Programmen ausgewertet werden können. MINID ist eine Kopie von MASTERD welche allerdings einzig den Prozess MASTERD überwacht. Dies stellt sicher, dass immer alle nötigen Prozesse zur Überwachung des Systems laufen.

Einen besonderen Stellenwert nehmen hierbei die Prozesse MASTERD und MINID ein. Der Masterdaemon (MASTERD) überwacht alle anderen Prozesse und startet sie neu, falls einer irregulär beendet worden sein sollte. Ein irreguläres Beenden wird daran erkannt, dass die Prozesse laut ihrer Konfigurationsdatei noch laufen sollten. Dies wird natürlich auch in einer Logdatei vermerkt, so dass man Softwareausfälle zurückverfolgen kann. Der Minidaemon (MINID) hat im Grunde die selbe Aufgabe wie der Masterdaemon, nur dass er ausschließlich den Masterdaemon überwacht und evtl. neu startet. MASTERD und MINID überwachen sich also gegenseitig und stellen so sicher, dass immer alle nötigen Prozesse laufen.

4 Die Programme

Eine Übersicht über die Dateien und Parameter der Programme befindet sich in den Tabellen 1 bis 6. Der Quellcode der im Rahmen dieser Arbeit entstandenen Programme kann in Anhang B eingesehen werden.

4.1 MASTERD & MINID

Name	MASTERD
Kommandozeilenargumente	-d1 Debuglevel 1
Ausführbare Datei	/home/messung/masterdaemon/masterd
Konfigurationsdatei	/home/messung/masterdaemon/masterdConfig.txt
Logdatei	/home/messung/masterdaemon/log/masterdLog.txt

Tabelle 1: Übersicht MASTERD

Die Masterdaemons MASTERD und MINID überwachen die anderen Prozesse und starten sie neu, wenn es nötig sein sollte. Da MINID identisch zu MASTERD ist und der einzige Unterschied darin besteht, dass MINID alleine

Name	MINID
Kommandozeilenargumente	-d1 Debuglevel 1
Ausführbare Datei	/home/messung/minidaemon/minid
Konfigurationsdatei	/home/messung/minidaemon/minidConfig.txt
Logdatei	/home/messung/minidaemon/log/minidLog.txt

Tabelle 2: Übersicht MINID

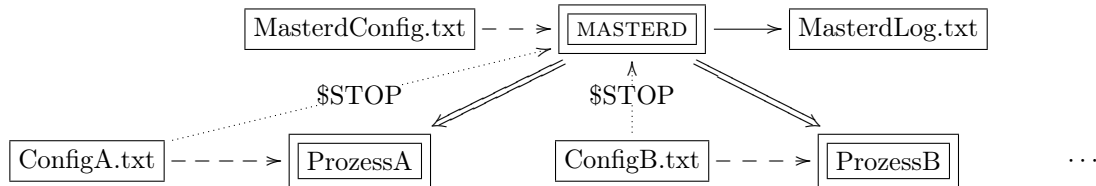


Abbildung 7: Informationsfluss: MASTERD

zur Überwachung des MASTERD-Prozesses konfiguriert ist, wird im Folgenden nur von MASTERD die Rede sein. Alle Angaben gelten analog für MINID.

In der Konfigurationsdatei von MASTERD werden die zu überwachenden Prozesse definiert. Es müssen der Prozessname, der auszuführende Befehl und die Konfigurationsdatei des Prozesses angegeben werden.

In regelmäßigen Abständen werden die angegebenen Konfigurationsdateien nach dem \$STOP-Befehl durchsucht. Wird dieser nicht gefunden, überprüft MASTERD ob der zugehörige Prozess noch läuft, indem er die aktuelle Prozessliste²⁵ nach dem angegebenen Namen durchsucht. Wird auch dieser nicht gefunden, führt das Programm den Befehl aus, der in der Konfigurationsdatei angegeben wurde. In einem solchen Fall wird dies auch in der Log-Datei 'MasterdLog.txt' vermerkt (Abb. 7).

Auf diese Art und Weise können sämtliche vom Masterdaemon überwachten Programme alleine über ihre Konfigurationsdatei gestartet, gesteuert und gestoppt werden. Da MASTERD beim Systemstart automatisch als Benutzer „messung“ gestartet wird und der Benutzer an alle aufgerufenen Prozesse vererbt wird, werden die so gesteuerten Prozesse auch automatisch mit den richtigen Berechtigungen gestartet.

Zur Fehleranalyse kann MASTERD auch mit der Option -d1 aufgerufen werden. Sie verhindert, dass der Prozess als Daemon startet, so dass er Debuginformationen²⁶ in der Kommandozeile ausgeben kann.

4.2 HVREADOUT

Name	HVREADOUT
Kommandozeilenargumente	-D Als Daemon starten
Ausführbare Datei	/home/messung/hv/hvreadout
Konfigurationsdatei	/home/messung/hv/HVconfig.txt
Logdateien	/home/vdc/data/hv/data/ /home/vdc/data/hv/log/
Statusdatei	/home/messung/currentstateHV.txt

Tabelle 3: Übersicht HVREADOUT

Das Programm HVREADOUT steuert und überwacht die Spannungsversorgung der Kathoden, Anoden und SiPMs. Es spricht die steuerbare Hochspannungsversorgung²⁷ über Ethernet an, setzt Sollspannungen entsprechend der Einstellung in der Konfigurationsdatei und loggt die Istwerte. Für nähere Angaben siehe z.B. [5].

²⁵Die Prozessliste wird mit dem Systemaufruf „ps -A“ erzeugt.

²⁶ z.B. über gefundene oder nicht gefundene Prozesse

²⁷Caen SY1527

4.3 GASMATRIX

Name	GASMATRIX
Kommandozeilenargumente	-D Als Daemon starten
	-d1 Debuglevel 1
	-T s Messintervall auf s (4 bis 10) Sekunden stellen.
	-v Verbose Ausgabe jedes Messwertes zur Analyse der Heizvorgänge.
Ausführbare Datei	/home/messung/gasmatrix/gasmatrix
Konfigurationsdatei	/home/messung/gasmatrix/gasmatrixconfig.txt
Logdateien	/home/vdc/data/gasmatrix/log/ConfigLog.txt
	/home/vdc/data/gasmatrix/log/ValveLog.txt
	/home/vdc/data/temperatures/log/TempWarning.txt
	/home/vdc/data/temperatures/log/TempLog.txt
Statusdateien	/home/messung/currentstateValves.txt
	/home/messung/currentstateTemperatures.txt

Tabelle 4: Übersicht GASMATRIX

GASMATRIX ist für die Bestimmung der Ventilpositionen und das Auslesen sämtlicher Temperatursensoren zuständig. Der Zugriff auf die Temperatursensoren und die digitalen Schalter geschieht über den 1-Wire-Bus. Die Routinen für den Zugriff auf diesen wurden von [5] übernommen.

Ein Auslesezyklus sieht dabei immer gleich aus:

Es wird eine Spannung an die Heizwiderstände an den Ventilhebeln (siehe Abschnitt 2.1.2) angelegt und sie heizen sich auf. Die Heizdauer ist in der Hardware fest eingestellt und kann nicht von der Software beeinflusst werden. Zur Zeit beträgt die Heizdauer ca. 30 Sekunden. Der Start jedes Heizvorgangs wird in der Logdatei festgehalten.

Nun werden in regelmäßigen Intervallen (einstellbar über das Kommandozeilenargument -T; standardmäßig 10 Sekunden²⁸) die Temperaturen aller Sensoren in der Matrix und aller im System verteilten Einzelsensoren ausgelesen. Die Werte der Einzelsensoren werden in die Statusdatei `currentstateTemperatures.txt` geschrieben. Wurde das Programm im verbosen Modus aufgerufen (Argument -v), so werden außerdem alle Temperaturen in der Datei `TempLog.txt` protokolliert. Die erreichten Maximaltemperaturen der Sensoren in der Matrix werden bestimmt.

Nach ca. 4 Minuten ist ein Zyklus beendet. Für jedes Ventil wird die Differenz der Maximaltemperaturen der Sensoren `Opentemp` und `Closetemp` (siehe Abschnitt 2.1.2) gebildet und aus ihr die Position des Ventils bestimmt:

$$\Delta T = T_{max,o} - T_{max,c}$$

$$\begin{aligned} \Delta T > \Theta &\implies \text{Ventil offen} \\ \Delta T < -\Theta &\implies \text{Ventil geschlossen} \\ |\Delta T| \leq \Theta &\implies \text{Ventilposition unbekannt} \end{aligned}$$

Θ ist hierbei eine festgelegte²⁹ Temperaturschwelle, unterhalb derer die Temperaturdifferenz als zu gering betrachtet wird, um eine eindeutige Aussage über die Ventilposition zu treffen. Dies tritt z.B. dann auf, wenn sich das Ventil nicht in einer eindeutigen Position befindet oder wenn die Beheizung der Ventilhebel nicht korrekt funktioniert. Zur Zeit ist diese Schwelle auf 1 Kelvin gesetzt. Ob dies ein sinnvoller Wert ist, muss – zusammen mit der Heizdauer – noch einmal überprüft werden, wenn der Messschrank geschlossen und die Wasserkühlung eingeschaltet ist (siehe auch Abschnitt 5.2).

²⁸Ein Messintervall von mehr als 10 Sekunden ist nicht vorgesehen, da das Maximum der Temperatur an dem beheizten Sensor nach 30 Sekunden dann verpasst werden könnte.

²⁹Die entsprechende Variable im Quellcode heißt „mindiff“. Um sie zu ändern, muss der Code neu kompiliert werden.

Die so bestimmten Ventilpositionen werden nun in die Statusdatei `currentstateValves.txt` geschrieben und eventuelle Abweichungen vom konfigurierten Sollwert in der Datei `ValveLog.txt` vermerkt. Befindet sich das Programm nicht im verbosen Modus, werden außerdem die über den Heizzyklus gemittelten Werte der Einzelsensoren in `TempLog.txt` gespeichert.

Misst ein Sensor eine Temperatur außerhalb des für ihn festgelegten Temperaturbereiches, so wird dies in der Logdatei `TempWarnings.txt` vermerkt. Fehler, die beim Auswerten der Konfigurationsdatei auftreten, werden in der Datei `ConfigLog.txt` gespeichert.

4.4 FLOWBUS

Name	FLOWBUS
Kommandozeilenargumente	-D Als Daemon starten -d1 Debuglevel 1
Ausführbare Datei	/home/messung/flowbus/flowbus
Konfigurationsdatei	/home/messung/flowbus/fbConfig.txt
Logdatei	/home/vdc/data/gas/log/flowbusLog.txt
Statusdatei	/home/messung/currentstateFlowbus.txt

Tabelle 5: Übersicht FLOWBUS

Das Programm FLOWBUS dient dazu über die serielle Schnittstelle³⁰ des PCs mit dem Gasregelsystem (siehe Abschnitt 2.1.1) zu kommunizieren³¹. In der Konfigurationsdatei werden für jede der Kammern ein Solldruck (absolut) und ein Sollfluss angegeben.

FLOWBUS liest diese Werte in Intervallen von ca. 10 Sekunden aus und setzt die Werte im Gasregelsystem entsprechend. Anschließend werden die tatsächlich gesetzten Sollwerte auch wieder ausgelesen, um eventuelle Fehler in der Kommunikation zu erkennen. Abweichungen vom gewünschten Sollwert werden sowohl in der Logdatei als auch in der Statusdatei vermerkt.

Außerdem werden im gleichen Intervall sämtliche Istwerte ausgelesen und in Status- und Logdatei gespeichert. Auch hier werden Abweichungen vom Sollwert vermerkt. Bei diesen Werten handelt es sich allerdings um reale Messwerte, die immer etwas um den tatsächlichen Wert schwanken. Selbst der tatsächliche Wert ist als Teil eines Regelkreises Schwankungen unterworfen, die aber keinesfalls eine Fehlfunktion der Regelung bedeuten müssen.

Um dem Rechnung zu tragen, wird nur eine Warnung ausgegeben, wenn die Abweichung vom Sollwert größer ist als ein bestimmter Wert. Ad hoc wurde dieser auf 1% des Sollwertes gesetzt. Ob diese erlaubte Abweichung zu eng oder zu weit gefasst ist, muss durch Messung der Stabilität des Druckes und des Flusses bestimmt werden (siehe Abschnitt 5.1).

4.5 PBREADOUT

Name	PBREADOUT
Kommandozeilenargumente	-D Als Daemon starten -d1 Debuglevel 1
Ausführbare Datei	/home/messung/pbreadout/pbreadout
Konfigurationsdatei	/home/messung/pbreadout/pbrConfig.txt
Logdatei	/home/vdc/data/gas/log/pbreadoutLog.txt
Statusdatei	/home/messung/currentstatePressureBox.txt

Tabelle 6: Übersicht PBREADOUT

³⁰/dev/ttyS0

³¹Als Protokoll dient hier das namensgebende FLOW-BUS Protokoll. Es wird die ASCII-Variante verwendet. Für Details siehe [10].

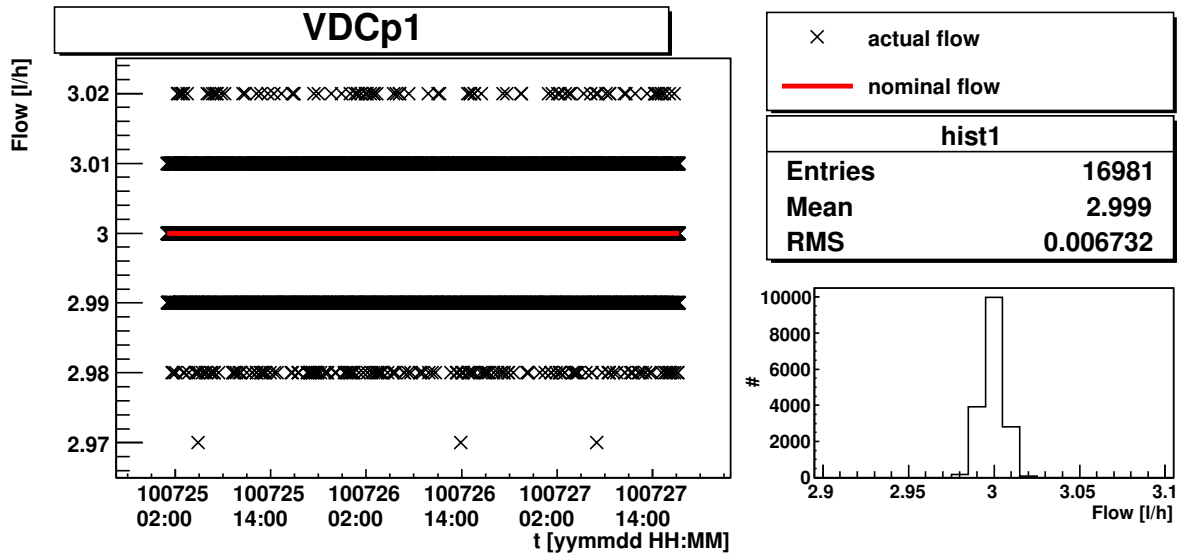


Abbildung 8: Messung der Flusstabilität – Die ausgeprägte Abstufung der Werte rührt daher, dass FLOWBUS die Flusswerte nur mit einer Genauigkeit von 2 Nachkommastellen ausgibt.

PBREADOUT dient dem Auslesen der zusätzlichen Differenz- und Absolutdrucksensoren der Kammern (siehe Abschnitt 2.1.1). Diese liefern ein analoges Spannungssignal und sind zur Auslese an den Analog-Digital-Wandler NI-PCI-6229 von National Instruments angeschlossen.

Da die Treiber, welche von National Instruments angeboten werden, nicht mit 64-Bit Linuxsystemen, wie dem hier verwendeten, kompatibel sind, kommt stattdessen der open-source Treiber COMEDI zum Einsatz, welcher die Hardware ebenfalls direkt unterstützt.[11]

Die Sensoren werden in Intervallen von ca. 10 Sekunden ausgelesen. Eine Messung umfasst hierbei das Aufnehmen und Mitteln von 1000 Werten. Dies ist möglich, da der A/D-Wandler bis zu 250000 Werte pro Sekunde aufnehmen kann.

In der Konfigurationsdatei werden für jeden Sensor der entsprechende Kanal am A/D-Wandler, der normale Wertebereich und der Sensortyp angegeben. Anhand des Sensortyps geschieht die Zuordnung von Druck und Spannung, wie sie im Datenblatt des Sensors angegeben ist.

Eine Einbindung von sensorspezifischen Lookup-Tabellen, mit deren Hilfe man die Genauigkeit der Druckmessung stark erhöhen kann[8], ist vorgesehen, aber noch nicht implementiert.

5 Analyse aufgenommener Daten

Alle im Folgenden gezeigten Auswertungen und Plots wurden mithilfe von ROOT-Skripten[12] aus den Klartext-Logdateien der hier vorgestellten Programme erstellt.

5.1 Druck- und Flusstabilität

Um eine vernünftige Grenze festzulegen, ab derer eine Abweichung vom Solldruck und Sollfluss als Fehlfunktion eingestuft wird, muss zunächst einmal bestimmt werden, welchen Schwankungen diese beiden Werte unterliegen.

Hierfür kann man die Logdatei des Programms FLOWBUS auswerten³². Abbildung 8 zeigt exemplarisch die aufgezeichneten Ist- und Sollflusswerte für Kammer 1. Abbildung 9 zeigt die entsprechenden Druckwerte.

Die Messungen der anderen Kammern ergeben sehr ähnliche Werte³³. Wie man aus Tabelle 7 sieht, entsprechen die 1% maximale Abweichung, welche ad hoc für die Feststellung einer Fehlfunktion ausgewählt wurden, bei

³²Die Werte, die PBREADOUT liefert, sind wegen ihrer fehlenden Kalibrierung noch nicht geeignet quantitativ die Druckstabilität zu bestimmen.

³³Die zugehörigen Plots befinden sich im Anhang A.1 und A.2

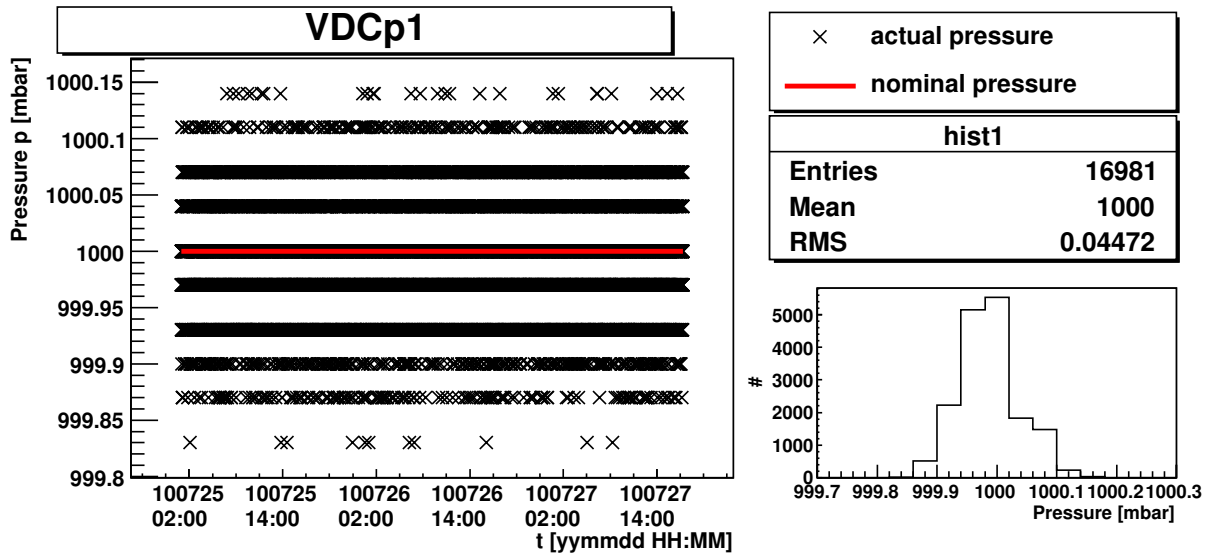


Abbildung 9: Messung der Druckstabilität – Die Abstufung der Werte ist hier hauptsächlich durch die Auflösung des Druckregelsystems gegeben. Drücke werden als digitale Ganzzahlenwerte übertragen, wobei ein Druck von 1100 mbar einem Wert von 32000 entspricht. Die minimale Schrittweite beträgt also $1100 \text{ mbar} / 32000 \approx 0,034 \text{ mbar}$. FLOWBUS rechnet die Ganzzahlenwerte mit diesem Faktor in mbar um und gibt sie mit 2 Nachkommastellen Genauigkeit aus, weswegen die Digitalisierungsschritte hier nicht alle denselben Abstand haben.

Kammer	(Fluss \pm RMS) / l/h	# Flussmesspunkte	(Druck \pm RMS) / mbar	# Druckmesspunkte
1	3,00 \pm 0,01	16981	1000,00 \pm 0,04	16981
2	3,00 \pm 0,01	16981	1000,00 \pm 0,07	16981
3	3,00 \pm 0,01	16981	1000,00 \pm 0,05	16981
4	3,00 \pm 0,01	16981	1000,00 \pm 0,06	16981
5	3,00 \pm 0,01	16981	1000,00 \pm 0,06	16981
6	3,00 \pm 0,01	16981	1000,00 \pm 0,05	16981

Tabelle 7: Gemessene Gasfluss- und Druckstabilitäten – Daten wurden über einen Zeitraum von ca. 64 Stunden aus den Bronkhorst-Reglern gelesen.

dem Gasfluss in etwa dem Dreifachen des RMS. Das heißt, es würden noch ca. 0,3% aller gemessenen Werte fälschlicherweise als anomale Abweichung vom Sollwert interpretiert werden. Bei tausenden von Messungen pro Tag³⁴ gäbe es also täglich einige Fehlwarnungen. Um diese Fehlwarnungen zu beseitigen oder zumindest so unwahrscheinlich zu machen, dass sie den Betriebsablauf nicht mehr stören, bietet es sich an die Toleranz der Abweichung auf das Fünffache des RMS zu erhöhen. Dies entspricht einer Flussabweichung von ca. 0,05 l/h.

Beim Druck sieht die Situation etwas anders aus. Hier entspricht eine Abweichung von 1% – also 10 mbar – schon mehr als dem 100-fachen des RMS. Die Toleranz der Druckabweichungen kann also deutlich reduziert werden. Legt man auch hier die Grenze auf das Fünffache des RMS, so entspricht dies einer Druckabweichung von 0,25 bis 0,35 mbar.

Empfohlene Toleranzen	Fluss (bestimmt bei 3 l/h)	Druck (bestimmt bei 1000 mbar)
absolut	0,05 l/h	0,35 mbar
relativ	1,7 %	0,035 %

Tabelle 8: Empfohlene Toleranzen für Gasfluss und -druck beim Gasregelsystem – Bestimmt unter Laborbedingungen in Aachen

Tabelle 8 zeigt die hier bestimmten empfohlenen Toleranzen für die Gasfluss- und Druckabweichungen. Bei diesen Betrachtungen muss jedoch berücksichtigt werden, dass die Rahmenbedingungen im Labor – wie z.B. der Druck

³⁴Es wird ca. alle 10 Sekunden gemessen.

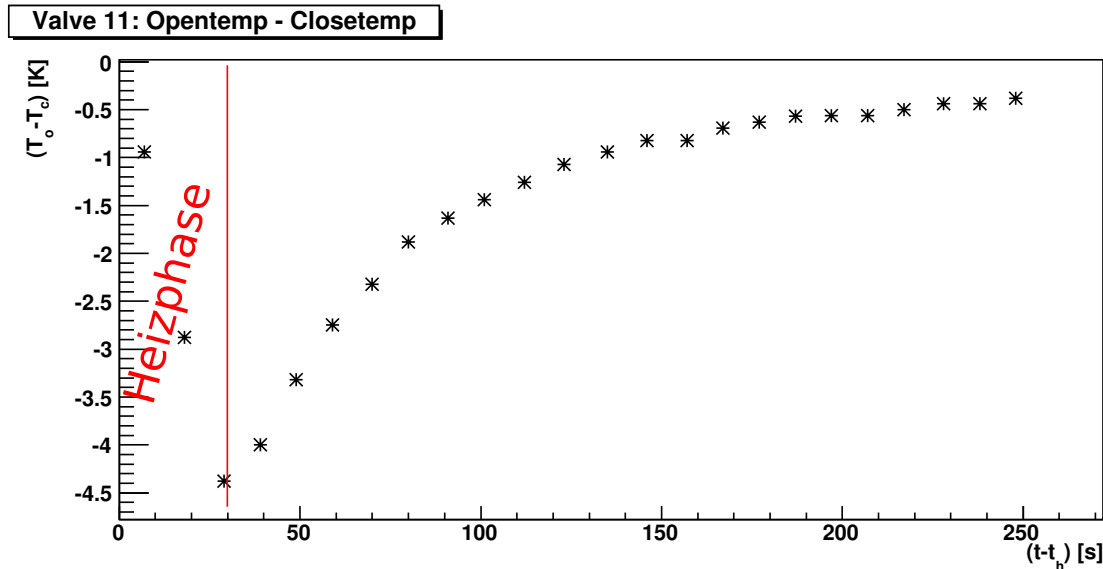


Abbildung 10: Temperaturdifferenzverlauf während eines Heizzyklus – Aufgetragen ist die Differenz der Temperaturen der Sensoren Opentemp (T_o) und Clostemp (T_c) gegen die Zeit nach t nach Start des Heizvorganges t_h . Da das Ventil geschlossen ist, wird nur der Sensor Clostemp beheizt und die Differenz wird negativ. Nach ca. 30 Sekunden wird nicht mehr geheizt und die Temperaturen gleichen sich wieder an.

des Gases vor dem Regelsystem – sehr konstant sind. Bei CMS können diese Bedingungen größeren Schwankungen unterlegen sein, was sich dann auch auf die Schwankungen von Druck und Fluss auswirken wird. Wenn das VDC-System bei CMS integriert ist, sollte also noch einmal eine Stabilitätsmessung zur Bestimmung von Toleranzgrenzen durchgeführt werden. Außerdem sollte für die von PBREADOUT ausgewerteten Drucksensoren eine eigene Toleranzgrenze bestimmt werden, sobald die Lookup-Tabellen in das Programm integriert sind, da diese Sensoren wahrscheinlich eine andere intrinsische Schwankung aufweisen werden als die Sensoren in der Gasregelung.

5.2 Die Ventilauslese

Um die Heizvorgänge an der Ventilmatrix (siehe Abschnitt 2.1.2) zu analysieren, kann die Temperaturlogdatei des Programms GASMATRIX ausgewertet werden, wenn sie im verbosen Modus aufgezeichnet wurde (Option -v, siehe Abschnitt 4.3), da hier der gesamte Temperaturverlauf aufgezeichnet wird. Dies soll hier anhand von Daten, die während des regulären Betriebs des übrigen VDC-Systems aufgezeichnet wurden, demonstriert werden.

Abbildung 10 zeigt einen aufgenommenen Heizvorgang, beispielhaft für Ventil 11. Die entsprechenden Plots der übrigen Ventile befinden sich im Anhang A.3. Da wir nicht an den absoluten Temperaturen, sondern nur an den unterschiedlichen Temperaturverläufen der Sensoren Opentemp und Clostemp interessiert sind, betrachten wir erst einmal nur die Differenz dieser. Aufgetragen ist hier also die Temperaturdifferenz $T_o - T_c$ gegen die Zeit nach dem Starten des Heizvorganges.

Man sieht gut, wie der Betrag der Temperaturdifferenz mit Beginn des Zyklus ansteigt und dann nach ca. 30 Sekunden, wenn die von der Hardware vorgegebene Heizzeit abgelaufen ist, wieder abfällt.

Da der Beginn jedes Heizzyklus in der Logdatei vermerkt ist, ist es möglich sämtliche Heizvorgänge übereinander zu legen und so eine Aussage über die Reproduzierbarkeit der Heizkurve zu machen. Weil wir hier nur die Differenz der Temperaturen Opentemp und Clostemp betrachten, fallen tageszeit- oder wetterabhängige Schwankungen, die ja beide Sensoren gleichermaßen beeinflussen, nicht ins Gewicht. Abbildung 11 zeigt den überlagerten Verlauf der Temperaturdifferenz in Abhängigkeit von der Zeit, die nach dem Starten des jeweiligen Heizzyklus verstrichen ist.

Die Messpunkte, welche über einen ganzen Tag aufgenommen wurden, liegen alle in etwa auf derselben Kurve. Dies spricht dafür, dass das Beheizen der Ventilhebel zuverlässig und reproduzierbar funktioniert.

Für die Bestimmung der Ventilpositionen wird aber nicht direkt der Verlauf der Temperaturdifferenz, sondern die Differenz der während eines Heizzyklusses gemessenen Maximaltemperaturen verwendet. Um die Stabilität

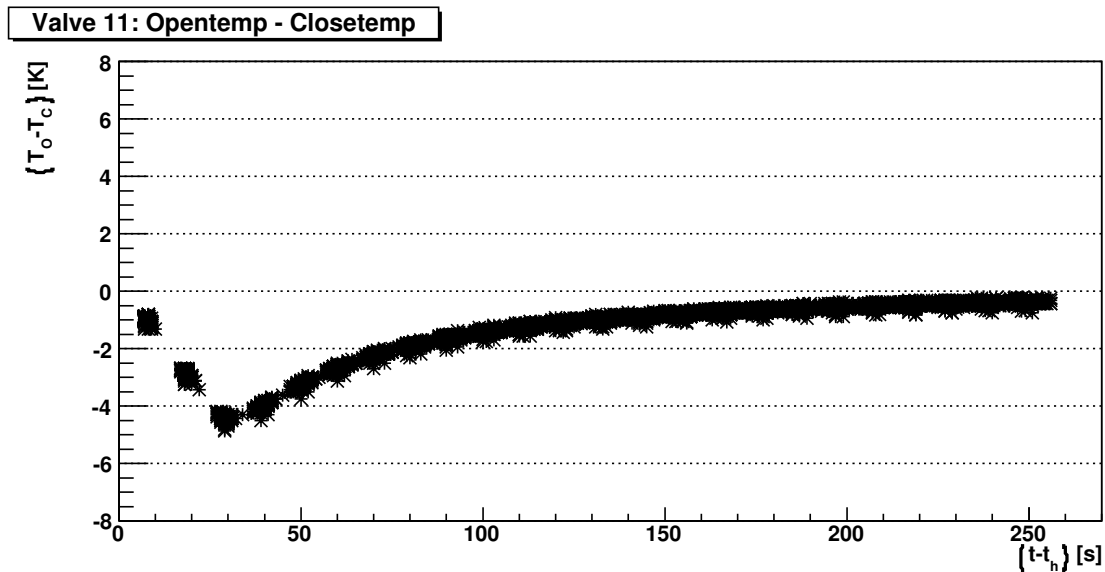


Abbildung 11: Temperaturdifferenzverläufe von 289 Heizzyklen überlagert – T_o = Temperatur des Sensors Opentemp; T_c = Temperatur des Sensors Closetemp; t_h = Start des Heizvorgangs

Ventil:	1y	2y	3y	4y	5y	6y
y=1	$-4,362 \pm 0,082$	$-4,864 \pm 0,394$	$-2,748 \pm 0,077$	$-4,48 \pm 0,181$	$-3,489 \pm 0,102$	$-4,376 \pm 0,137$
y=2	$-2,988 \pm 0,063$	$-3,383 \pm 0,166$	$-2,909 \pm 0,094$	$-2,921 \pm 0,121$	$-3,711 \pm 0,086$	$-3,024 \pm 0,110$
y=3	$-2,439 \pm 0,061$	$-3,945 \pm 0,150$	$-2,864 \pm 0,103$	$-4,76 \pm 0,169$	$-3,219 \pm 0,094$	$-2,022 \pm 0,089$
y=4	$-3,423 \pm 0,062$	$-4,826 \pm 0,132$	$-3,446 \pm 0,098$	$-2,823 \pm 0,120$	$-3,584 \pm 0,084$	$-0,355 \pm 0,471$
y=5	$-2,811 \pm 0,138$	$-4,024 \pm 0,112$	$-2,47 \pm 0,084$	$-3,094 \pm 0,126$	$-3,675 \pm 0,079$	$-2,509 \pm 0,092$
y=6	$3,995 \pm 0,089$	$4,686 \pm 0,114$	$2,836 \pm 0,102$	$3,538 \pm 0,837$	$5,676 \pm 0,080$	$2,845 \pm 0,109$
y=7	$2,923 \pm 0,070$	$2,882 \pm 0,078$	$2,892 \pm 0,086$	$3,016 \pm 0,113$	$4,146 \pm 0,081$	$3,858 \pm 0,199$
	Ventil 101:		$4,113 \pm 0,134$	Ventil 102:		$-3,243 \pm 0,085$

Tabelle 9: Mittlere Differenz der Maximaltemperaturen der verschiedenen Ventile: $((T_{\max,o} - T_{\max,c}) \pm RMS)$ [K] – Es handelt sich um Mittelwerte aus den 289 Heizzyklen. Die entsprechenden überlagerten Temperaturverläufe und Histogramme befinden sich im Anhang A.3. Auffällig sind die Ventile 21, 46 und 64, welche alle ein ungewöhnlich großes RMS, also eine große Streuung der Werte aufweisen. Bei Ventil 64 ist außerdem die im Mittel erreichte Temperaturdifferenz zu niedrig.

diese Messmethode zu untersuchen, können wir einerseits schauen, wie sich diese Differenz im Laufe der Zeit entwickelt (Abbildung 12), oder direkt die Verteilung der Differenzen betrachten (Abbildung 13).

Wie man sieht beträgt der Betrag der mittleren Differenz für dieses Ventil ca. 4,362 K, bei einem RMS von 0,081 K. Die gesetzte Grenze von 1 K (Siehe Abschnitt 4.3) ist also mehr als 30 RMS von mittleren Wert entfernt und damit geeignet, um falsche Fehlermeldungen auszuschließen.

Tabelle 9 zeigt die mittlere Differenz der Maximaltemperaturen der Heizzyklen aller Ventile. Positive Werte bedeuten ein offenes und negative Werte ein geschlossenes Ventil. Die Werte der einzelnen Ventile unterscheiden sich stark von einander, da der quantitative Verlauf der Heizkurven stark von der Geometrie des Ventilaufbaus abhängt. Die Abstände zwischen den Ventilhebeln und den Temperatursensoren sind nicht überall gleich und verursachen so die unterschiedlich hohe Erwärmung der Sensoren.

Bei den meisten Ventilen ist die mittlere Differenz größer als 2 K und das RMS kleiner als 0,2 K. Die mittleren Differenzen sind also mehr als 5 RMS vom vorgegebenen Schwellwert von 1 K entfernt.

Die Ventile 21, 46 und 64 fallen hierbei jedoch aus der Reihe. Ihr RMS ist deutlich höher als das der anderen Ventile und bei Ventil 64 liegt der Mittelwert mit $-0,355$ K sogar innerhalb des Bereichs, bei dem keine eindeutige Ventilposition bestimmt werden kann. Schaut man sich die entsprechenden Plots an, sieht man, dass das Heizen bei diesen Ventilen nicht so zuverlässig funktioniert, wie bei den anderen Ventilen (Abb. 14). Während die erreichte Temperaturdifferenz bei Ventil 21 trotz der auffälligen Heizkurven noch ausreicht, um die Ventilposition sicher zu bestimmen, scheint die Heizung bei Ventil 46 hin und wieder und bei Ventil 64 die meiste Zeit total zu

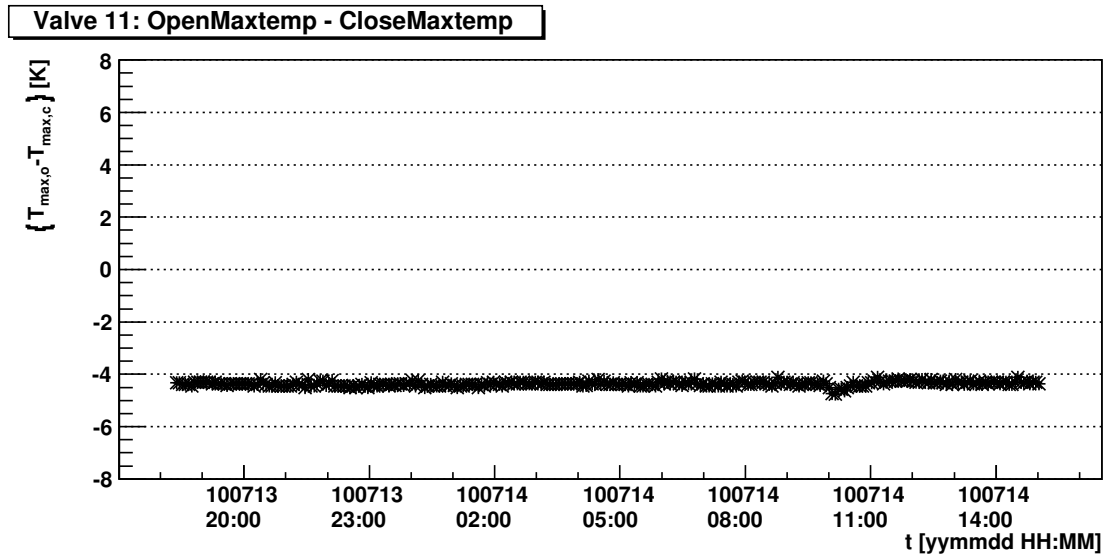


Abbildung 12: Differenzen der Maximaltemperaturen der 289 Heizzyklen über die Zeit – $T_{\max,o}$ = Maximale, während eines Heizzyklusses gemessene Temperatur des Sensors Opentemp; $T_{\max,c}$ = Maximale, während eines Heizzyklusses gemessene Temperatur des Sensors Closetemp

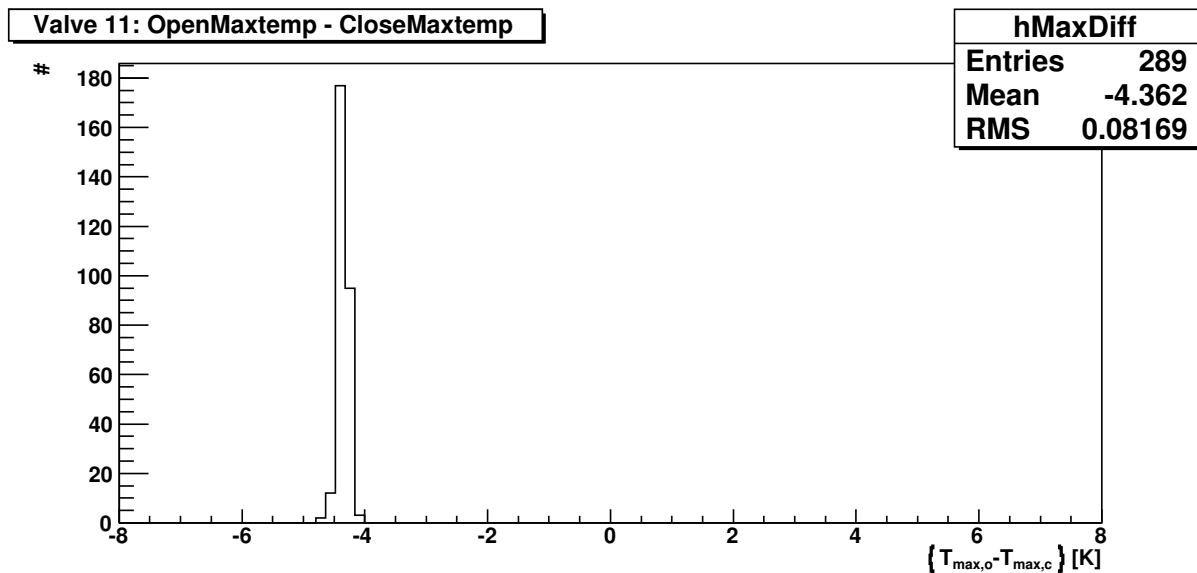


Abbildung 13: Histogramm der Differenzen der Maximaltemperaturen der 289 Heizzyklen – $T_{\max,o}$ = Maximale, während eines Heizzyklusses gemessene Temperatur des Sensors Opentemp; $T_{\max,c}$ = Maximale, während eines Heizzyklusses gemessene Temperatur des Sensors Closetemp

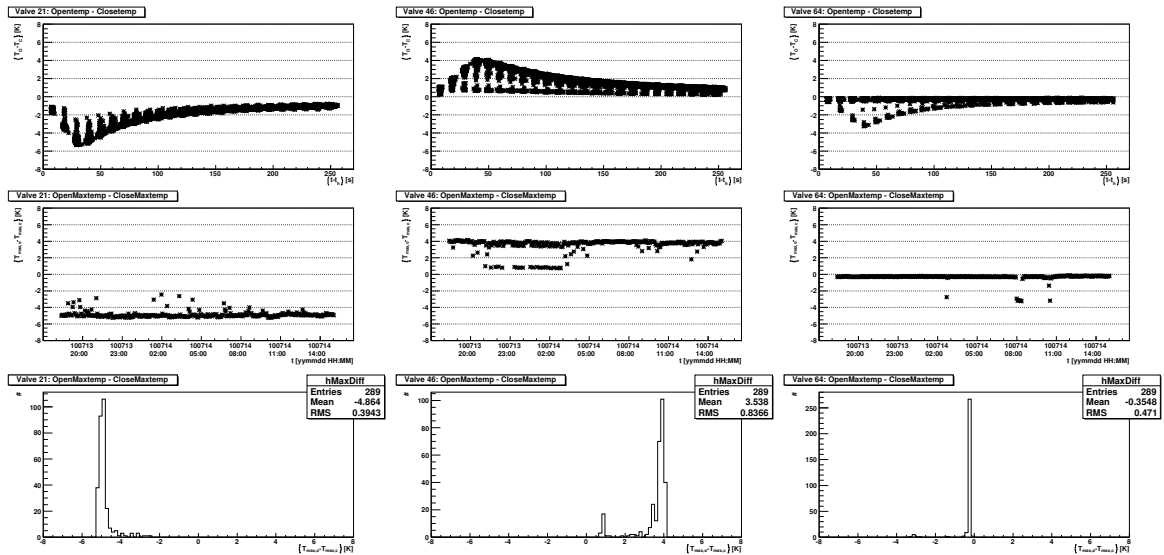


Abbildung 14: Auffälliges Heizverhalten der Ventile (von links nach rechts) 21, 46 und 64 – Gezeigt sind (von oben nach unten) die überlagerten Temperaturverläufe von 289 Heizzyklen ($(T_o - T_c)$ gegen $(t - t_n)$), die Differenzen der Maximaltemperaturen gegen die Zeit ($(T_{max,o} - T_{max,c})$ gegen t) und die Häufigkeitsverteilung der Differenzen der Maximaltemperaturen ($(T_{max,o} - T_{max,c})$). Größere Darstellungen der Plots befinden sich im Anhang A.3. Die Heizung der drei Ventile scheint nicht zuverlässig zu funktionieren. Dies könnte an defekten Kontakten liegen.

Ventil:	1y	2y	3y	4y	5y	6y
y=1	$4,762 \pm 0,122$	$5,314 \pm 0,092$	$3,234 \pm 0,148$	$3,382 \pm 0,162$	$4,179 \pm 0,166$	$3,529 \pm 0,136$
y=2	$3,069 \pm 0,101$	$3,932 \pm 0,120$	$3,174 \pm 0,131$	$3,299 \pm 0,156$	$4,398 \pm 0,172$	$2,661 \pm 0,130$
y=3	$3,132 \pm 0,117$	$4,936 \pm 0,132$	$3,279 \pm 0,147$	$4,158 \pm 0,187$	$3,432 \pm 0,144$	$2,466 \pm 0,123$
y=4	$4,104 \pm 0,093$	$5,631 \pm 0,121$	$4,519 \pm 0,140$	$2,903 \pm 0,101$	$3,714 \pm 0,167$	$-0,2522 \pm 0,037$
y=5	$3,331 \pm 0,103$	$5,340 \pm 0,124$	$3,382 \pm 0,111$	$2,743 \pm 0,118$	$5,241 \pm 0,150$	$2,563 \pm 0,095$
y=6	$-3,069 \pm 0,087$	$-3,376 \pm 0,088$	$-2,510 \pm 0,340$	$-2,074 \pm 0,145$	$-4,171 \pm 0,104$	$-2,388 \pm 0,079$
y=7	$-2,569 \pm 0,072$	$-3,001 \pm 0,087$	$-2,096 \pm 0,096$	$-2,514 \pm 0,084$	$-3,986 \pm 0,173$	$-3,394 \pm 0,093$
	Ventil 101:		$-2,111 \pm 0,129$	Ventil 102:		$3,000 \pm 0,168$

Tabelle 10: Mittlere Differenz der Maximaltemperaturen der verschiedenen Ventile in anderer Position: $((T_{max,o} - T_{max,c}) \pm RMS)$ [K] – Es handelt sich um Mittelwerte aus 9 Heizzyklen mit im Vergleich zu Tabelle 9 umgekehrten Ventilstellungen. Hier fällt Ventil 36 mit einem erhöhten RMS auf.

versagen. Dies könnte unter anderem an fehlerhaften Kontakten liegen und muss untersucht werden.

Tabelle 10 zeigt die gemessenen mittleren Differenzen in gegenüber Tabelle 9 genau umgekehrter Ventilstellung und Tabelle 11 zeigt die entsprechenden Werte mit allen Ventilen in einer mittleren Position zwischen der offenen und geschlossenen Position. Wie man sieht, sind die aktuell gewählte Heizzeit von ca. 30 s und die Schwelle von 1 K unter den zur Zeit herrschenden Laborbedingungen geeignet, um die Ventilposition sicher zu bestimmen. Allerdings sollten die Parameter auch unter den später im Betrieb herrschenden Bedingungen (Seitenwände und Türen der Schränke, zusätzliche Lüftung, etc.) noch einmal mit mehr Heizzyklen überprüft werden, um eine definitive quantitative Aussage über die Stabilität der Ventilpositionsbestimmung treffen zu können.

Der Vollständigkeit halber sei hier auch der Verlauf der Raum- bzw. Schranktemperatur über die Messdauer angegeben (Abbildung 15). Diese wird als Mittelwert aus den unbeheizten Sensoren in der Ventilmatrix bestimmt. Die Veränderungen der Schranktemperatur sind langsam, aber von der selben Größenordnung wie die aufgezeichneten Heizzyklen. Dies verdeutlicht, wieso bei der Analyse der Ventilauslese lokal gebildete Temperaturdifferenzen zur Beseitigung der Schranktemperatur herangezogen werden.

Ventil:	1y	2y	3y	4y	5y	6y
y=1	$0,328 \pm 0,028$	$-0,316 \pm 0,031$	$0,237 \pm 0,036$	$0,166 \pm 0,062$	$0,080 \pm 0,080$	$-0,135 \pm 0,071$
y=2	$0,136 \pm 0,026$	$0,084 \pm 0,028$	$-0,006 \pm 0,033$	$0,072 \pm 0,023$	$0,118 \pm 0,073$	$0,017 \pm 0,060$
y=3	$0,039 \pm 0,039$	$-0,035 \pm 0,032$	$0,067 \pm 0,031$	$-0,169 \pm 0,060$	$-0,001 \pm 0,069$	$-0,023 \pm 0,073$
y=4	$0,0346 \pm 0,032$	$0,113 \pm 0,034$	$0,081 \pm 0,028$	$0,062 \pm 0,065$	$0,097 \pm 0,062$	$-0,237 \pm 0,023$
y=5	$0,153 \pm 0,033$	$0,085 \pm 0,030$	$0,116 \pm 0,024$	$0,090 \pm 0,042$	$0,051 \pm 0,074$	$-0,001 \pm 0,052$
y=6	$-0,022 \pm 0,029$	$-0,005 \pm 0,031$	$-0,188 \pm 0,004$	$0,023 \pm 0,030$	$0,080 \pm 0,029$	$0,121 \pm 0,034$
y=7	$-0,117 \pm 0,030$	$0,062 \pm 0,026$	$-0,016 \pm 0,027$	$-0,029 \pm 0,042$	$0,093 \pm 0,041$	$0,050 \pm 0,038$
	Ventil 101:		$0,068 \pm 0,017$	Ventil 102:		$0,034 \pm 0,089$

Tabelle 11: Mittlere Differenz der Maximaltemperaturen der verschiedenen Ventile in mittlerer Position: $((T_{\max,o} - T_{\max,c}) \pm RMS)$ [K] – Es handelt sich um Mittelwerte aus 11 Heizzyklen. Alle Ventile wurden in eine mittlere Position zwischen der offenen und geschlossenen Stellung gedreht. An diesen Messwerten erkennt man bei jedem Ventil deutlich, dass es in keiner der zwei regulären Stellungen (Tab. 9 und 10) ist. Daher wird diese Ventilstellung „undefiniert“ genannt.

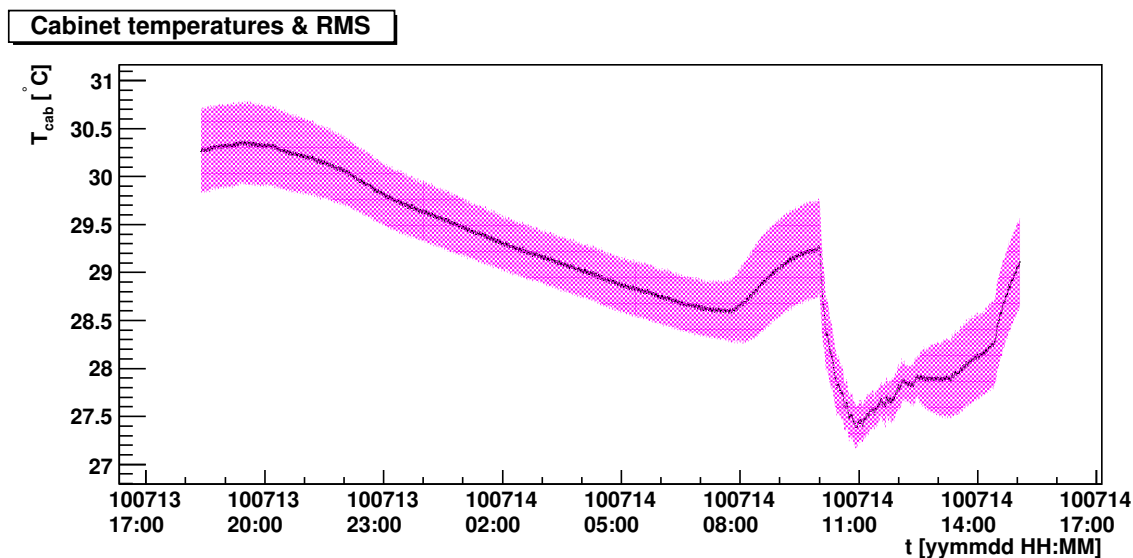


Abbildung 15: Messschranktemperatur über die Zeit – Mittelwert aus den unbeheizten Sensoren in der Ventilmatrix und RMS

6 Integration des Systems bei CMS

Außer den Programmen zur reinen Aufnahme, Überwachung und Aufzeichnung der Betriebsparameter müssen auch die Einbindung in das Detector VDC System (DCS) bei CMS und die grafische Schnittstelle zum Benutzer realisiert werden.

Die Einbindung in das DCS existiert bereits für eine einzelne VDC. Sie muss jedoch für den Einsatz mit letztendlich 6 VDCs und mehr überwachten Parametern erweitert werden. Hieran arbeitet zur Zeit unter anderem [13].

Die Arbeit an der grafischen Benutzeroberfläche wurde ebenfalls bereits begonnen, befindet sich aber noch in einer sehr frühen Entwicklungsphase. Abbildung 16 zeigt den aktuellen Stand. Hier ist noch Entwicklungsarbeit notwendig.

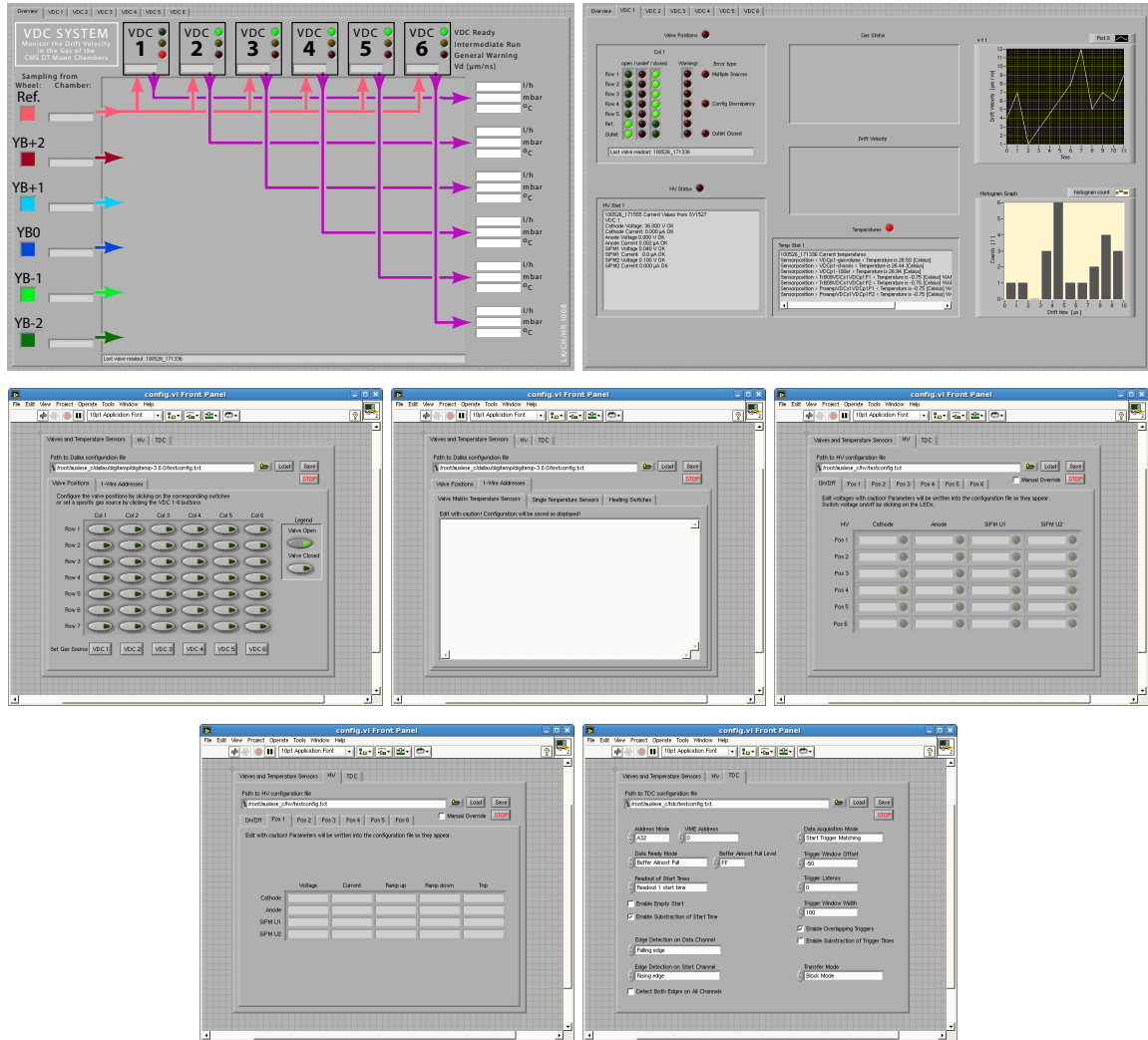


Abbildung 16: Momentaner (sehr früher) Stand der Entwicklung der grafischen Benutzeroberfläche – Es handelt sich um in LabVIEW[14] geschriebene Programme. Von links nach recht, von oben nach unten: Der Übersichtsbildschirm auf dem der Status der VDCs und aktuell gemessene Driftgeschwindigkeiten auf einem Blick erfassbar sein sollen[2]; der Detailbildschirm mit allen über eine Kammer gesammelten Informationen – wie Druck und Temperatur – und Warnungen; der Konfigurationseditor für die Soll-Ventilstellungen; der Konfigurationseditor für die Temperatursensoren; der Konfigurationseditor für die Spannungen der HV-Spannungsversorgung; Detailinstellungen für die Spannungsversorgung einer Kammer; Konfigurationseditor für den TDC.

7 Fazit und Ausblick

Im Rahmen dieser Arbeit wurden die Programme MASTERD und MINID für die Prozesskontrolle des Systems entwickelt. Das Programm GASMATRIX zur Auslese der Ventilpositionen und Temperatursensoren wurde erweitert. Das Programm FLOWBUS wurde zur Gasfluss- und Drucksteuerung und -überwachung und PBREADOUT nur zur Drucküberwachung entwickelt.

Die hier vorgestellten Programme funktionieren und liefern Daten, welche man zur Überwachung des Systems verwenden kann. Allerdings sind die Sensoren, welche von PBREADOUT ausgewertet werden zwar schon kalibriert, aber ihre Lookup-Tabellen müssen noch erzeugt und in das Programm eingebunden werden. Dann sollten auch Messungen zur Toleranzgrenzenbestimmung dieser Sensoren stattfinden.

Aus den aufgenommenen Daten der Gasfluss- und Druckregelung konnten Toleranzgrenzen hergeleitet werden, welche ein zuverlässiges Erkennen von anomalen Zuständen erlauben sollten, ohne im regulären Betrieb falsche Warnungen zu erzeugen. Diese Messung sollte wiederholt werden, wenn das VDC-System bei CMS an das Gassystem angeschlossen wurde, um den veränderten Bedingungen – vor allem im Vergleich zum Laborbetrieb größere Schwankungen des Gasdrucks vor der Fluss- und Druckregelung – Rechnung zu tragen.

Die Analyse der Heizvorgänge der Ventile in der Ventilmatrix zeigt, dass die Bestimmung der Ventilpositionen mit der momentan verwendeten Methode zuverlässig funktioniert. Die Ventile 21, 46 und 64 bilden hier eine Ausnahme. Ihr unzuverlässiges Heizverhalten ist sehr wahrscheinlich hardwarebedingt und muss noch genauer untersucht werden. Es konnte jedoch gezeigt werden, dass die im Rahmen dieser Arbeit entwickelten Programme solche Fehler entdecken und sich gut für deren Untersuchung eignen.

Für eine komplette quantitative Validierung der Ventilauslese müssen mehr Heizverläufe von allen Ventilen in allen Ventilpositionen aufgenommen und ausgewertet werden. Dies sollte geschehen wenn der Messschrank seine endgültige Ausbauf orm (mit allen Seitenwände und Türen, zusätzlicher Lüftung, etc.) erreicht hat. Dann müssen die Parameter der Ventilpositionsbestimmung (Heizzeit und Erkennungsschwelle) nämlich sowieso noch einmal überprüft werden.

Danksagung

Ich danke Prof. Dr. Thomas Hebbeker für die Möglichkeit diese Bachelorarbeit zu schreiben. Außerdem gilt mein Dank allen Personen, die an diesem Projekt beteiligt sind oder waren und mit ihren Leistungen meine Arbeit erst möglich gemacht haben. Besonders möchte ich mich bei Carsten Heidemann und Dr. Hans Reithler bedanken, welche mich beim Erstellen dieser Arbeit sehr gut unterstützt haben.

Literatur

- [1] EUROPEAN ORGANIZATION FOR NUCLEAR RESEARCH (CERN): *The Compact Muon Solenoid Experiment*. cms.web.cern.ch/cms/Detector/index.html.
- [2] REITHLER, H.: *Private Mitteilung*. Physikalisches Institut IIIA der RWTH Aachen, 2010.
- [3] W. BLUM, W. RIEGLER, L. ROLANDI: *Particle detection with drift chambers*. Springer, 2008.
- [4] FERNOW, R. C.: *Introduction to Experimental Particle Physics*. Cambridge University Press, 1986.
- [5] HEIDEMANN, C.: *Direkte Messung der Driftgeschwindigkeit im Gas der CMS-Myonenkammern mit VDC-Kammern*. Physikalisches Institut IIIA der RWTH Aachen, 2010.
- [6] ALTENHÖFER, G.: *Development of a Drift Chamber for Drift Velocity Monitoring in the CMS Barrel Muon System*. Physikalisches Institut IIIA der RWTH Aachen, 2006.
- [7] FRANGENHEIM, J.: *Measurements of the drift velocity using a small gas chamber for monitoring of the CMS muon system*. Physikalisches Institut IIIA der RWTH Aachen, 2007.
- [8] SOWA, M.: *Aufbau, Kalibration und Anwendung einer Messapparatur zur Überwachung des Gasdrucks in den CMS-Myonkammern*. III. Physikalisches Institut A der RWTH Aachen, 2003.
- [9] A. PAULUS, G. HILGERS, F. ADAMCZYK C. HEIDEMANN H. REITHLER: *VME-Einschub „VALVE READ-OUT“*. Entwickelt am Phys. Inst. IIIA, RWTH Aachen.
- [10] BRONKHORST HIGH-TECH B.V.: *Instruction manual RS232 interface*. www.bronkhorst.com.
- [11] *comedi - linux control and measurement device interface*. www.comedi.org.
- [12] *ROOT - An Object-Oriented Data Analysis Framework*. root.cern.ch.
- [13] TEYSSIER, D.: *Private Mitteilung*. Physikalisches Institut IIIA der RWTH Aachen.
- [14] NATIONAL INSTRUMENTS: *LabVIEW*. www.ni.com/labview/.

Eidesstattliche Erklärung

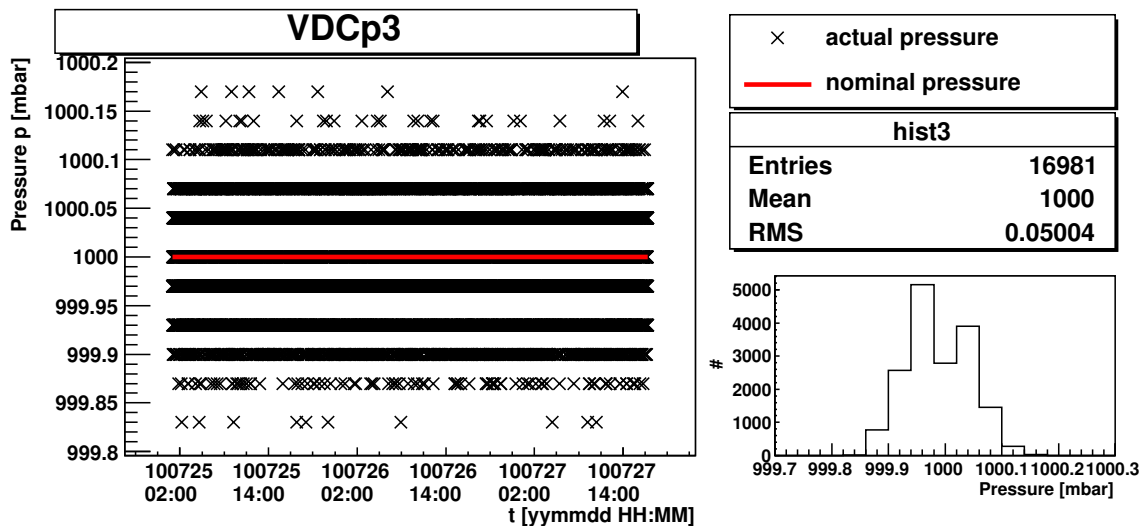
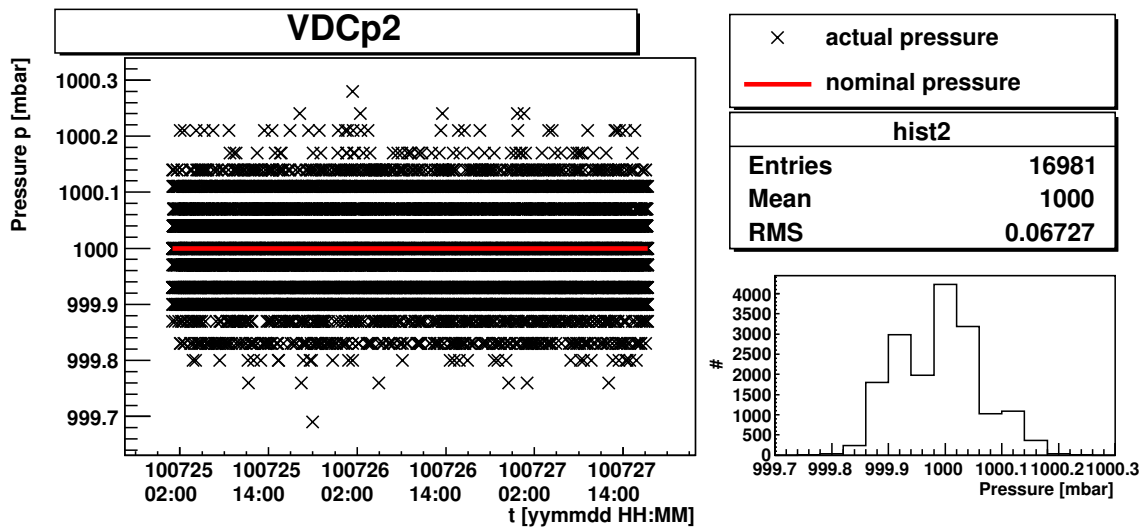
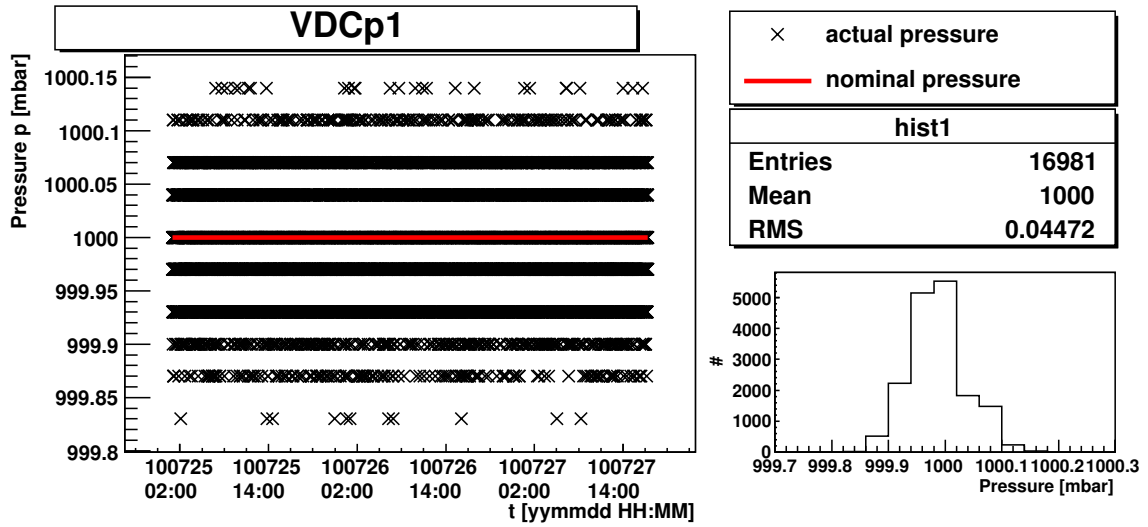
Ich versichere, dass ich die Arbeit selbstständig verfasst und keine anderen als die angegebenen Quellen und Hilfsmittel benutzt, sowie Zitate kenntlich gemacht habe.

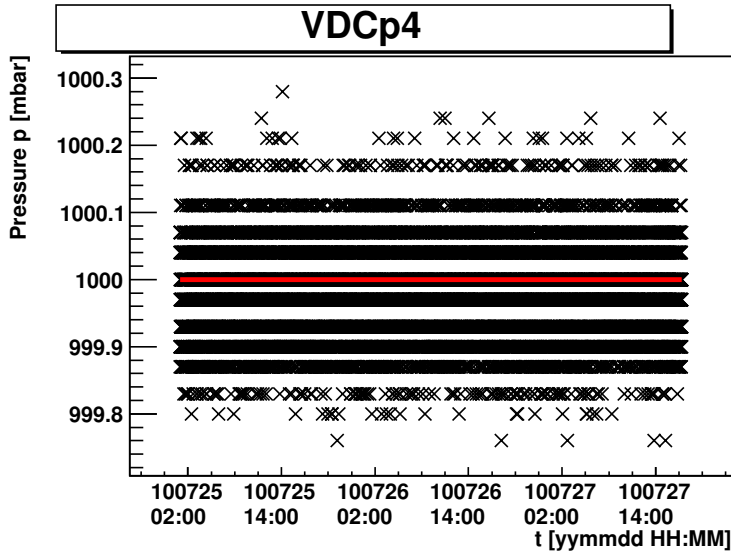
Aachen, den 11. August 2010

LUKAS KOCH

A Plots

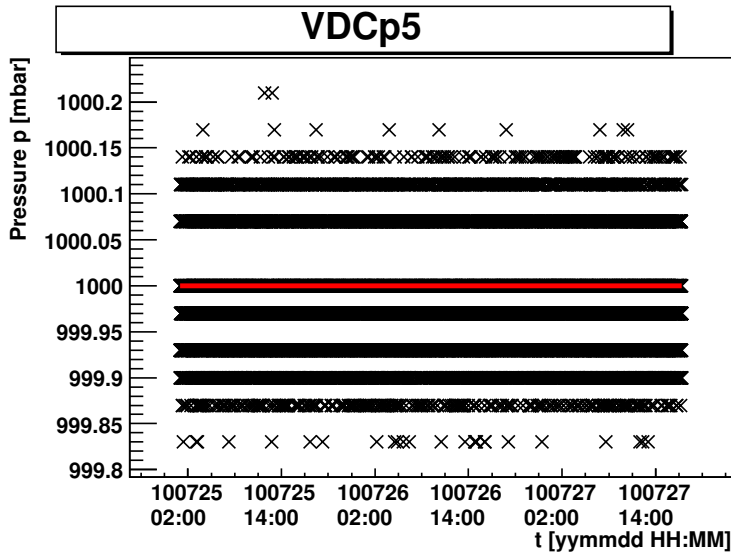
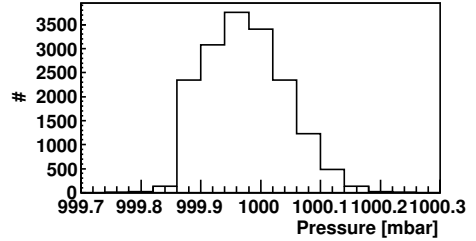
A.1 Druckstabilitätsmessung





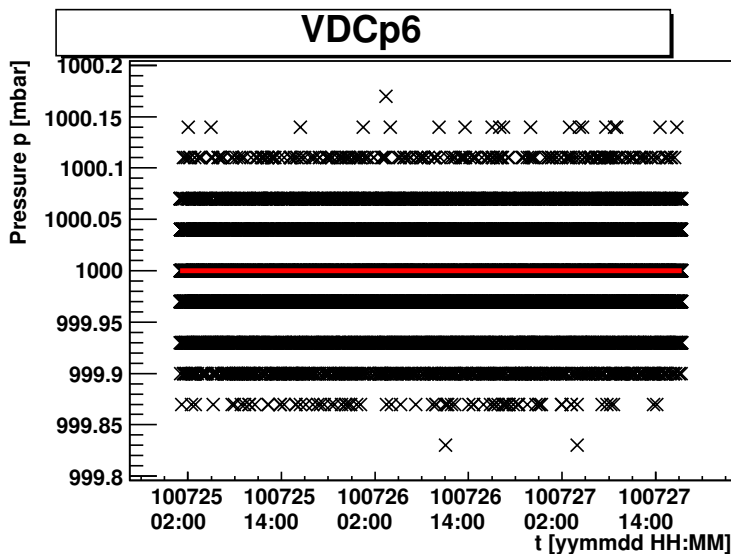
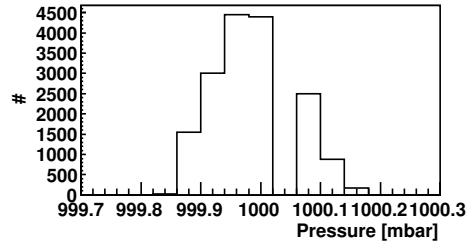
× actual pressure
 — nominal pressure

hist4	
Entries	16981
Mean	1000
RMS	0.06221



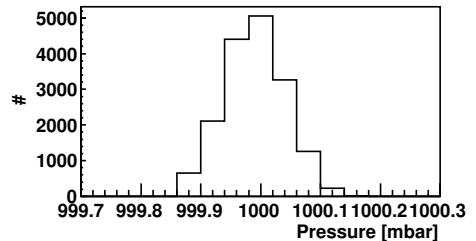
× actual pressure
 — nominal pressure

hist5	
Entries	16981
Mean	1000
RMS	0.05978

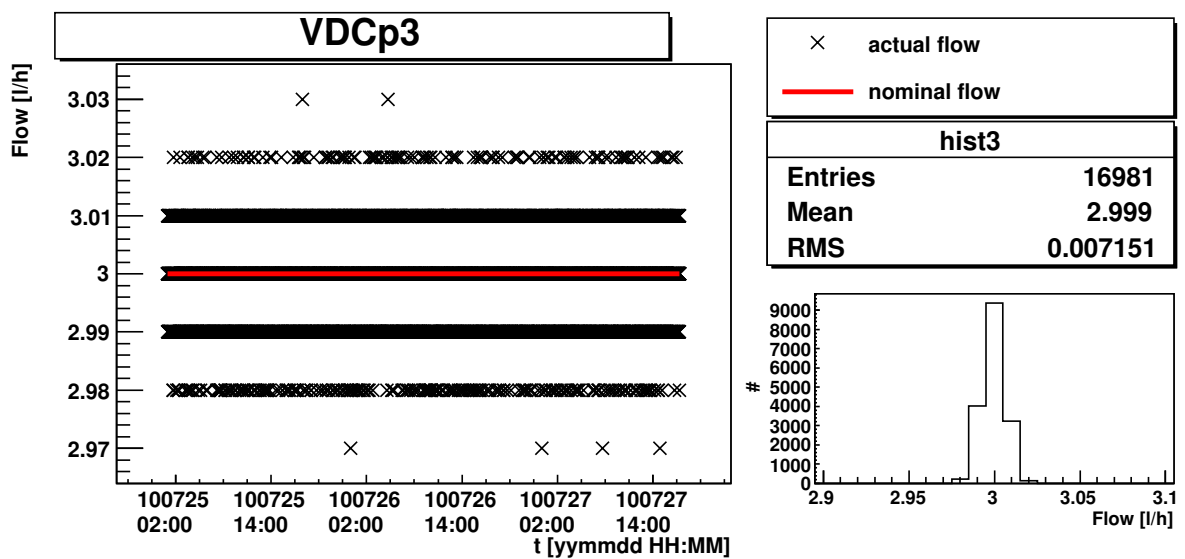
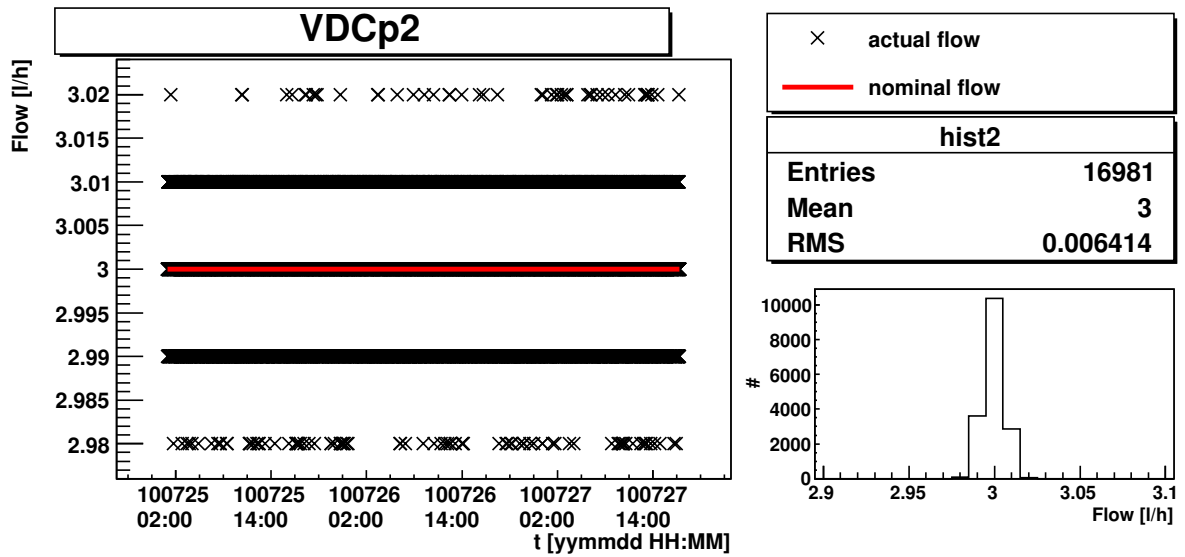
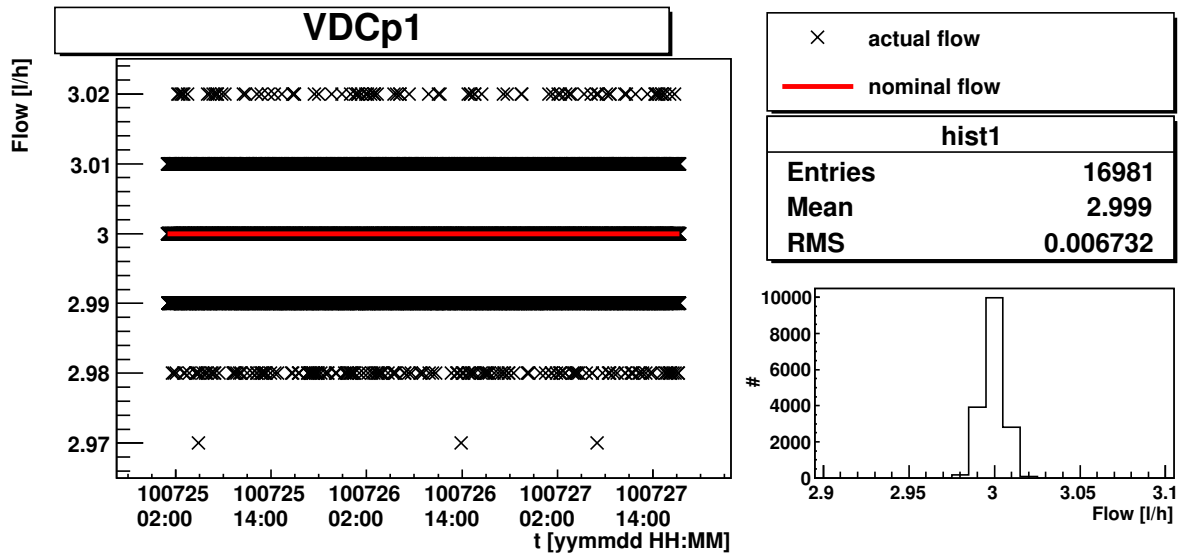


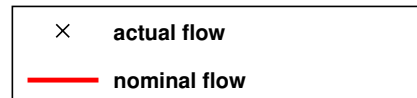
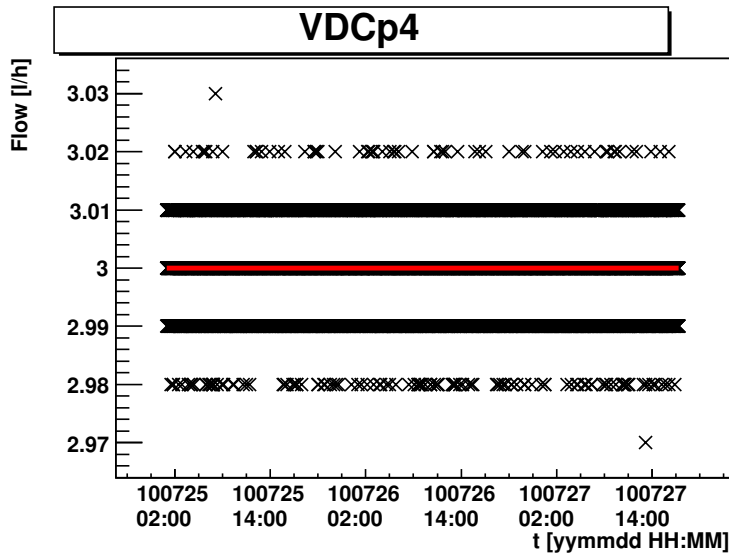
× actual pressure
 — nominal pressure

hist6	
Entries	16981
Mean	1000
RMS	0.04554

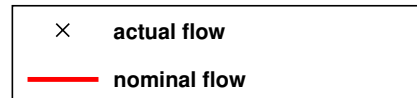
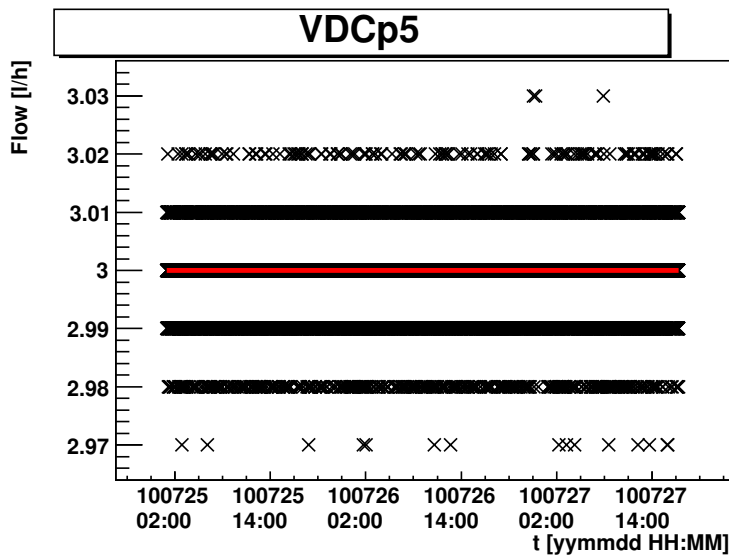
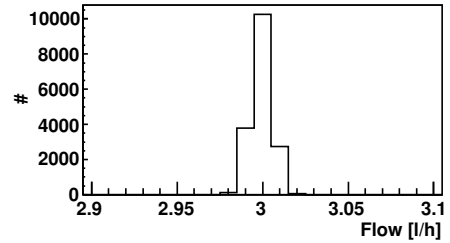


A.2 Flusstabilitätsmessung

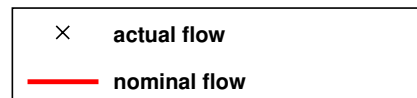
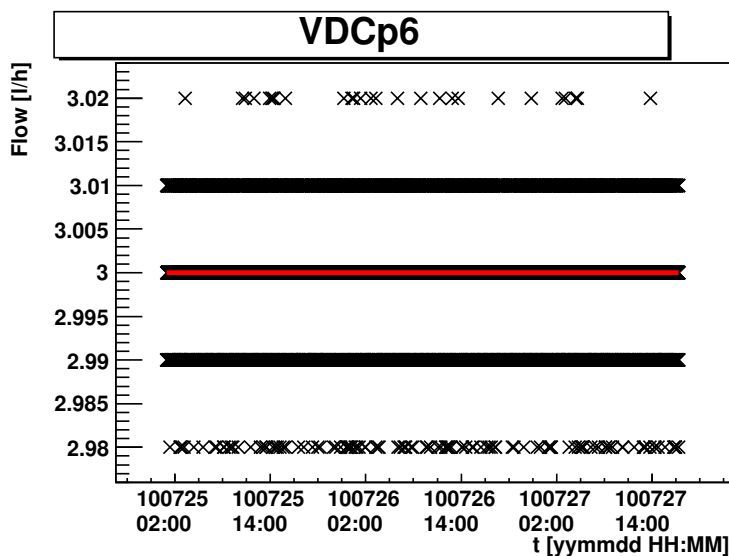
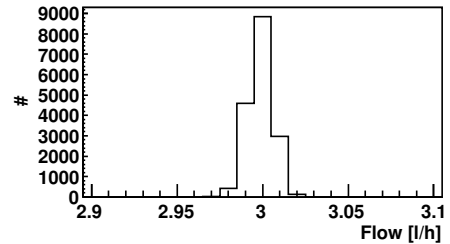




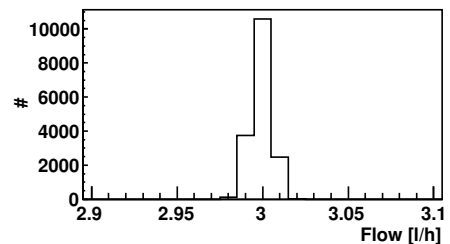
hist4	
Entries	16981
Mean	2.999
RMS	0.006513



hist5	
Entries	16981
Mean	2.999
RMS	0.007538

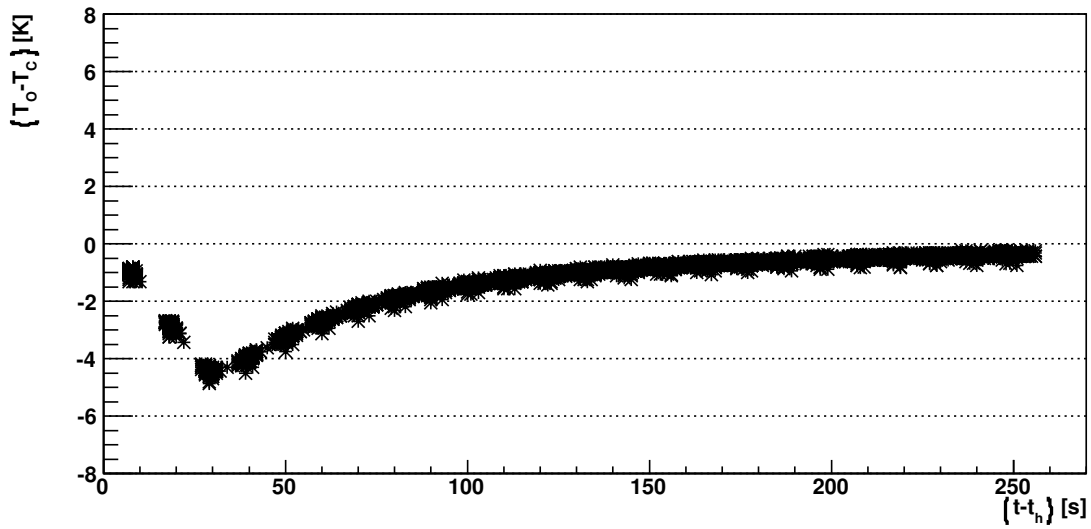


hist6	
Entries	16981
Mean	2.999
RMS	0.006282

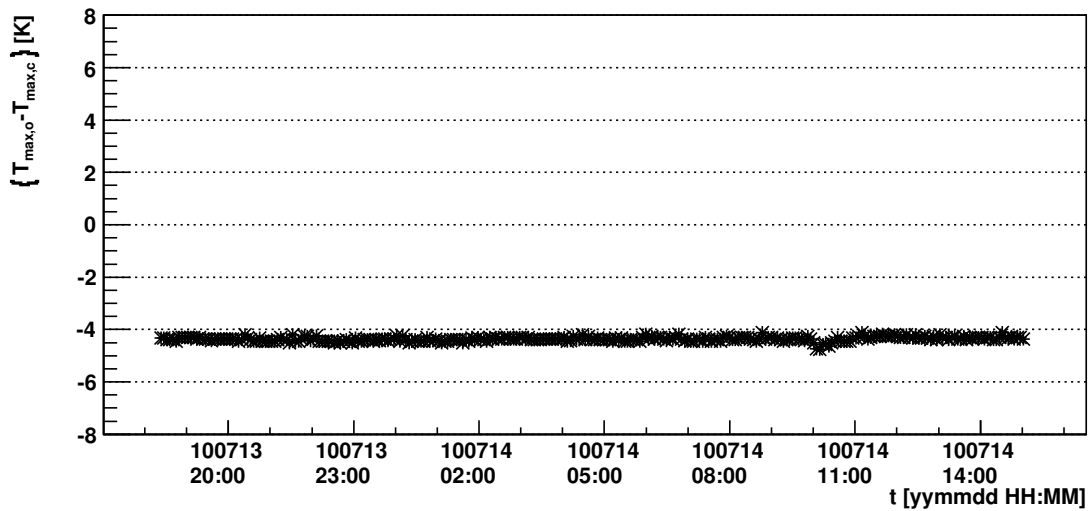


A.3 Ventilauslese

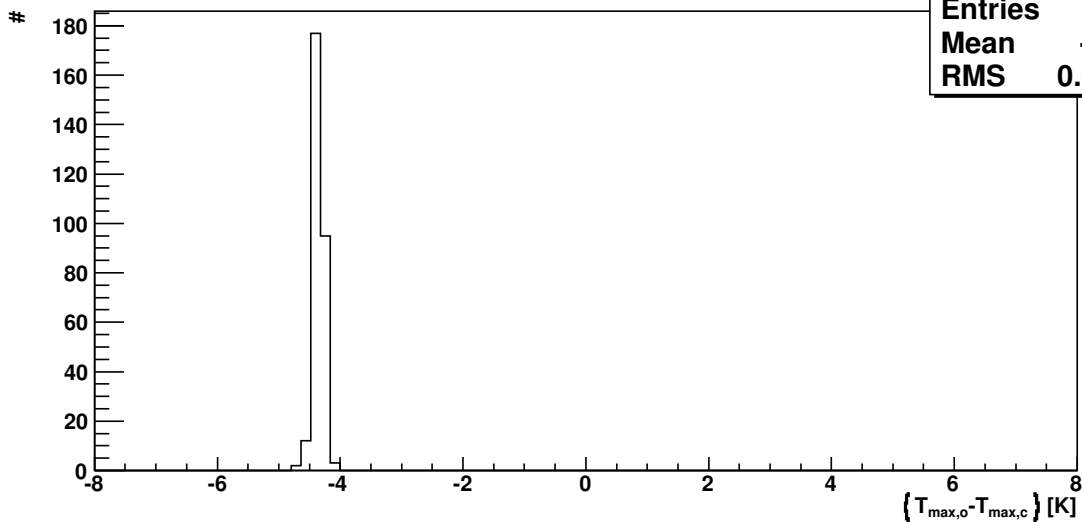
Valve 11: Opentemp - Closetemp



Valve 11: OpenMaxtemp - CloseMaxtemp

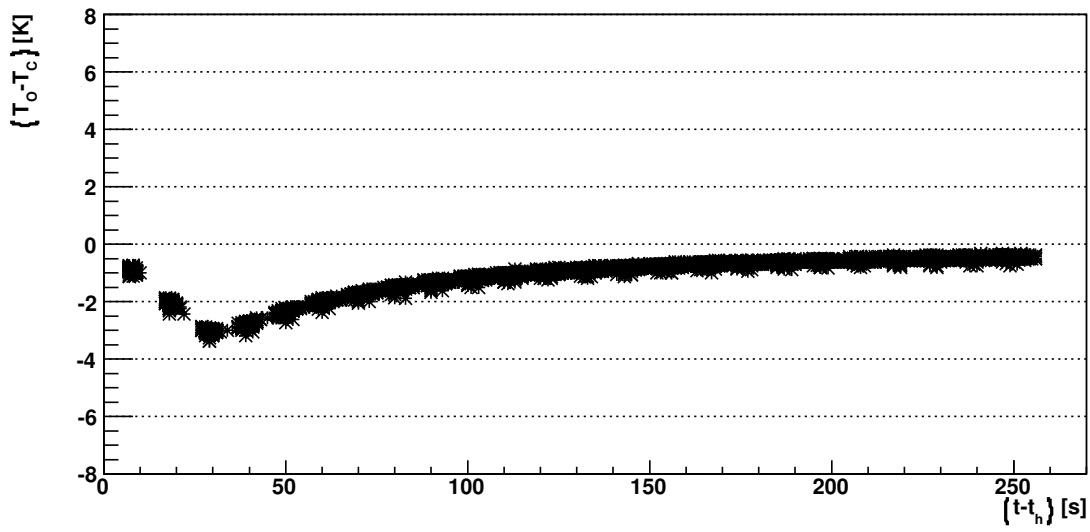


Valve 11: OpenMaxtemp - CloseMaxtemp

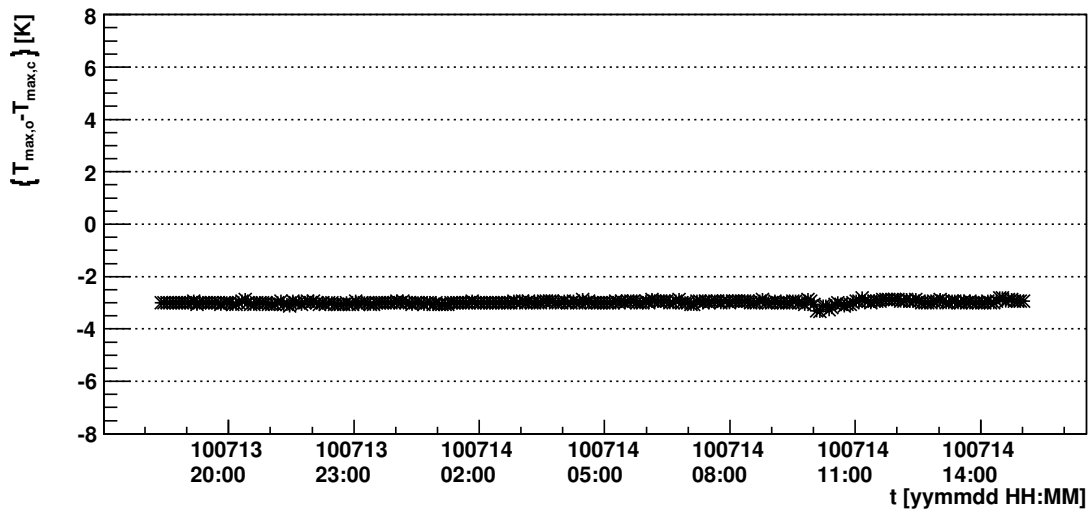


hMaxDiff	
Entries	289
Mean	-4.362
RMS	0.08169

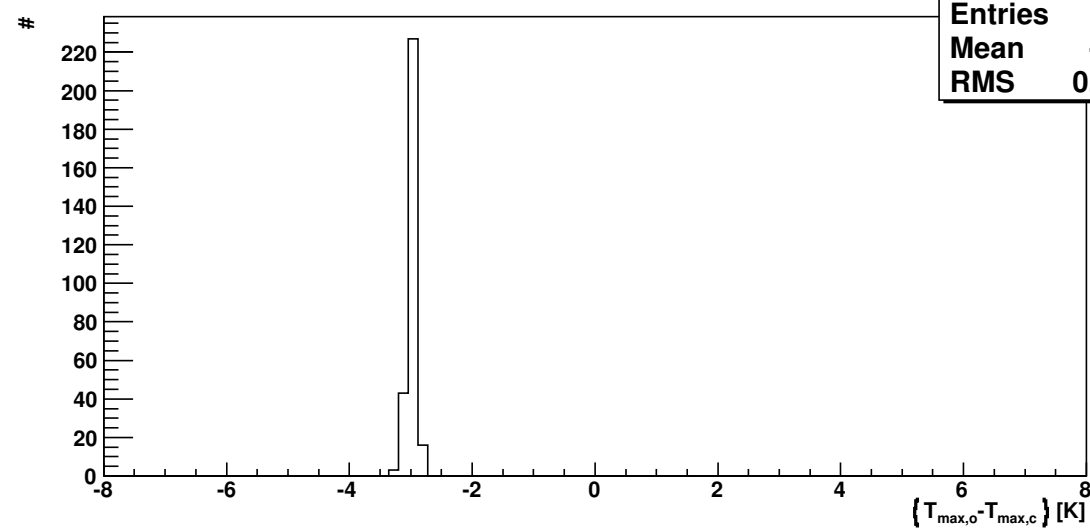
Valve 12: Opentemp - Closetemp



Valve 12: OpenMaxtemp - CloseMaxtemp

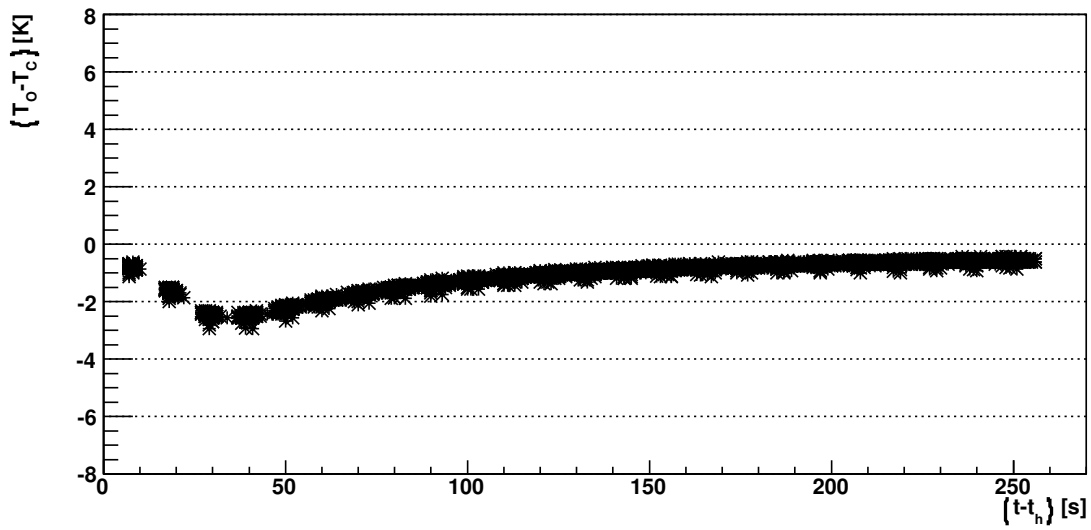


Valve 12: OpenMaxtemp - CloseMaxtemp

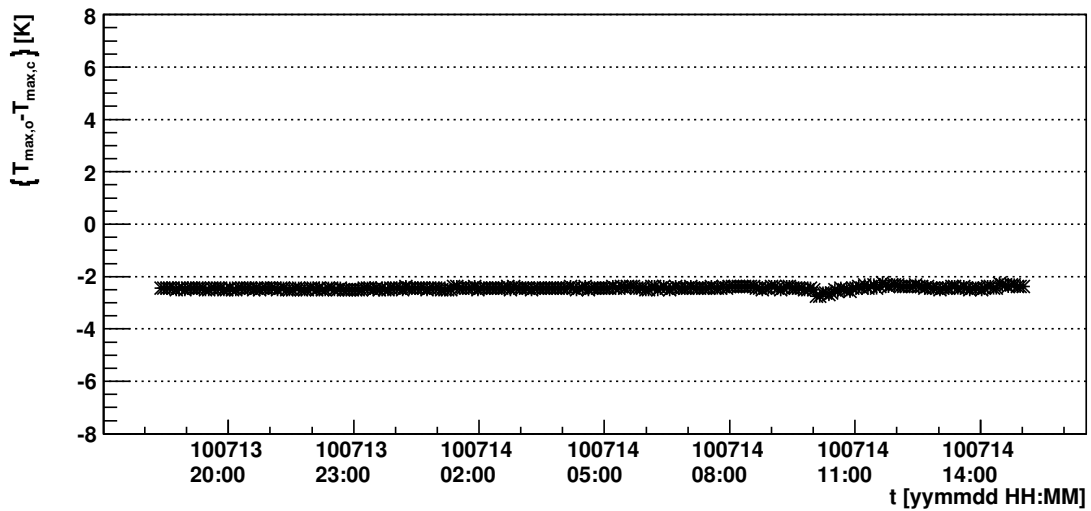


hMaxDiff	
Entries	289
Mean	-2.988
RMS	0.06311

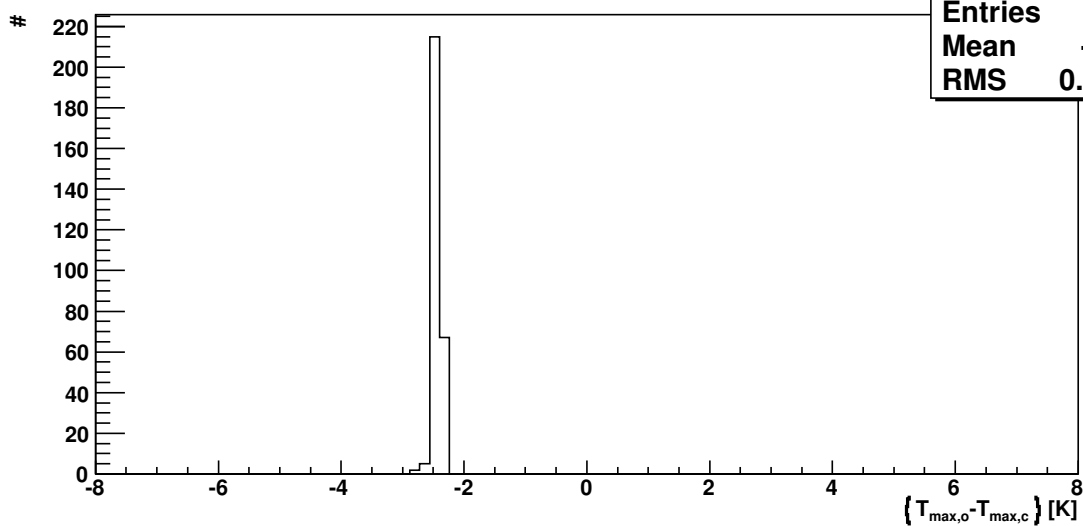
Valve 13: Opentemp - Closetemp



Valve 13: OpenMaxtemp - CloseMaxtemp

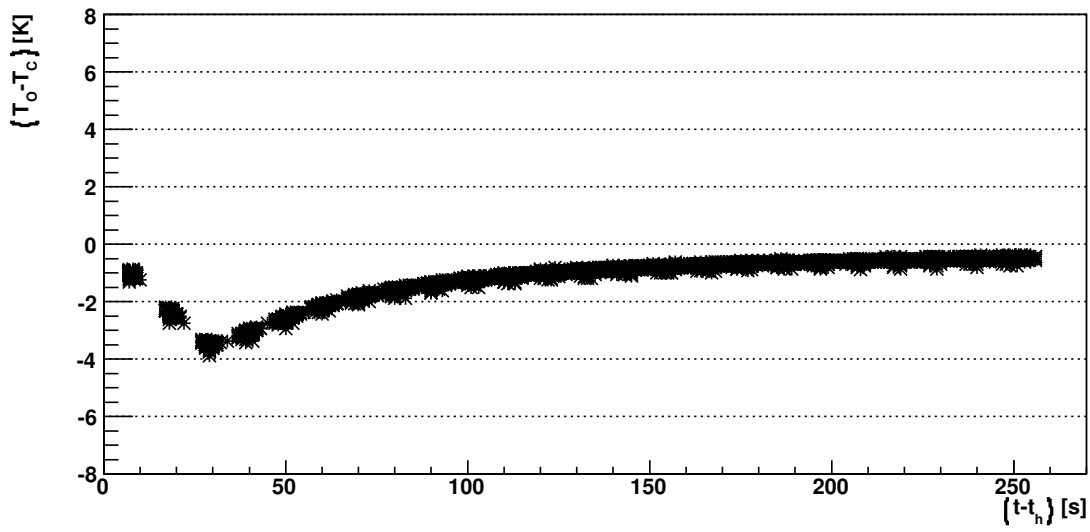


Valve 13: OpenMaxtemp - CloseMaxtemp

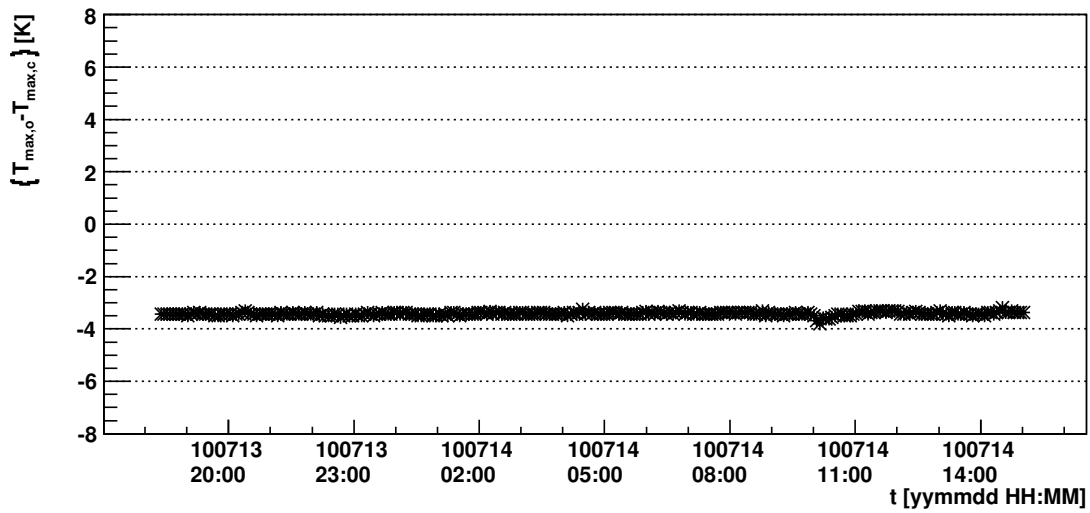


hMaxDiff	
Entries	289
Mean	-2.439
RMS	0.06113

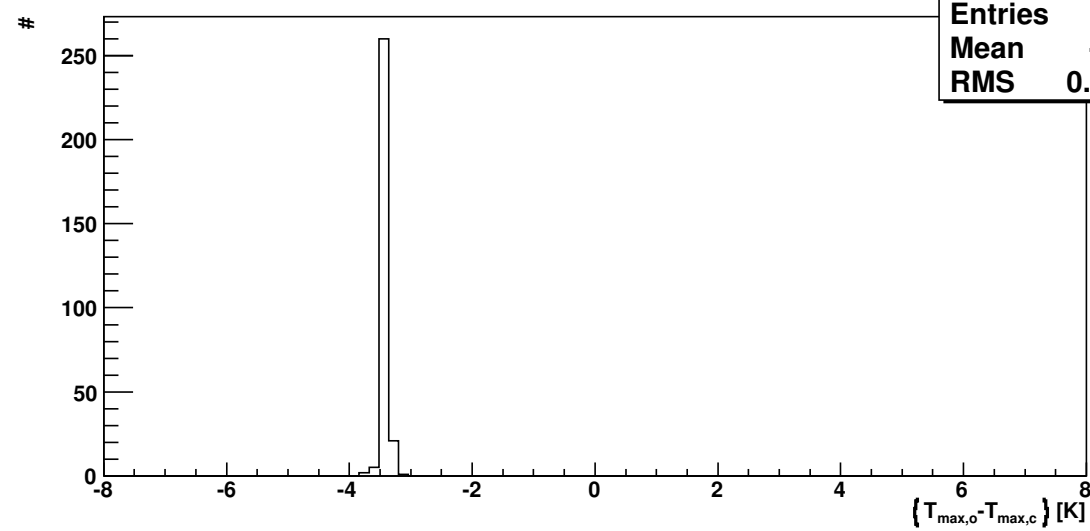
Valve 14: Opentemp - Closetemp



Valve 14: OpenMaxtemp - CloseMaxtemp

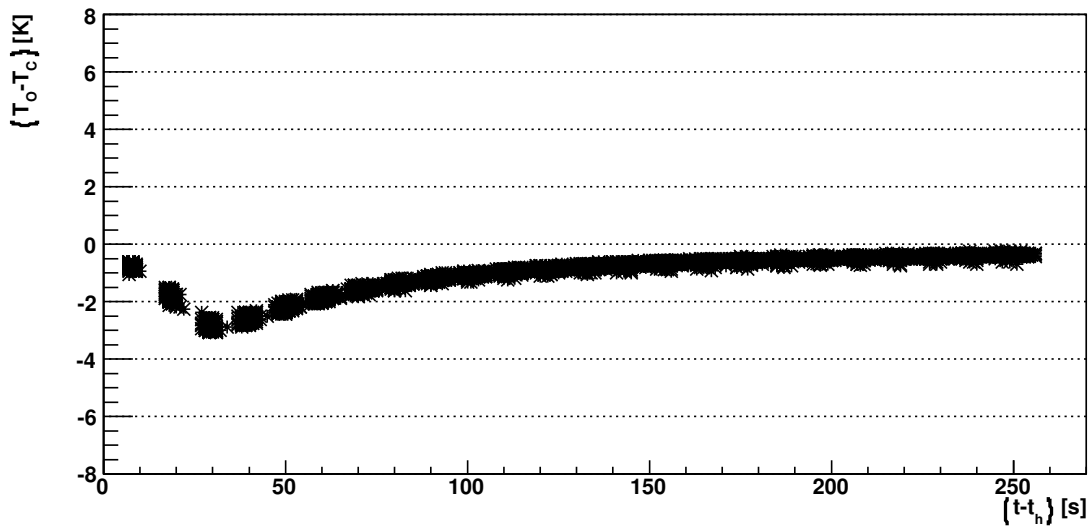


Valve 14: OpenMaxtemp - CloseMaxtemp

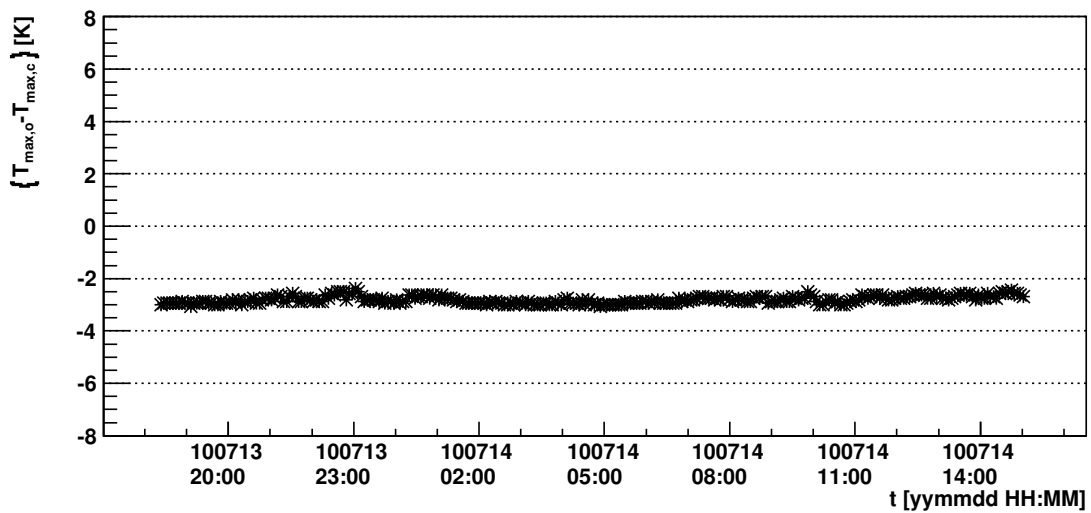


hMaxDiff	
Entries	289
Mean	-3.423
RMS	0.06156

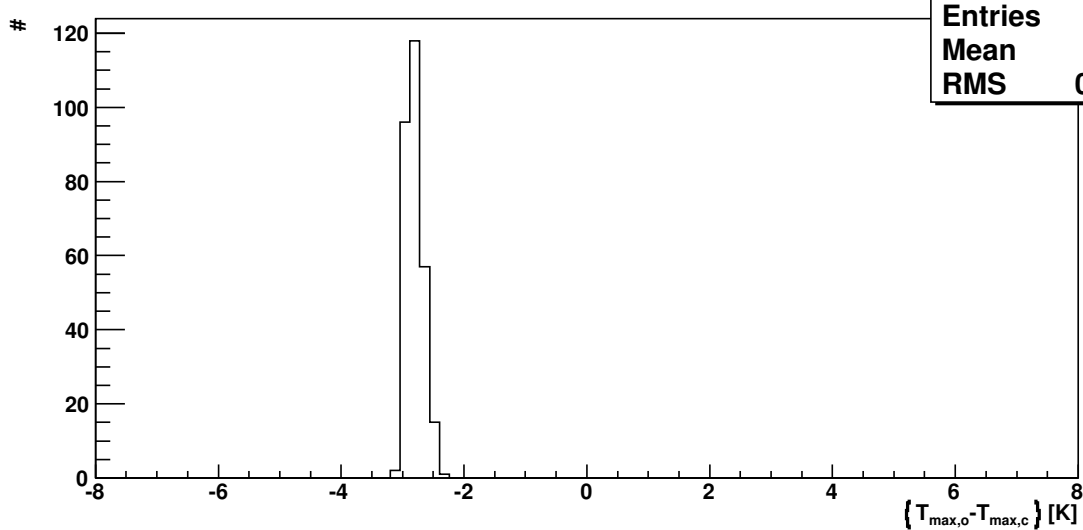
Valve 15: Opentemp - Closetemp



Valve 15: OpenMaxtemp - CloseMaxtemp

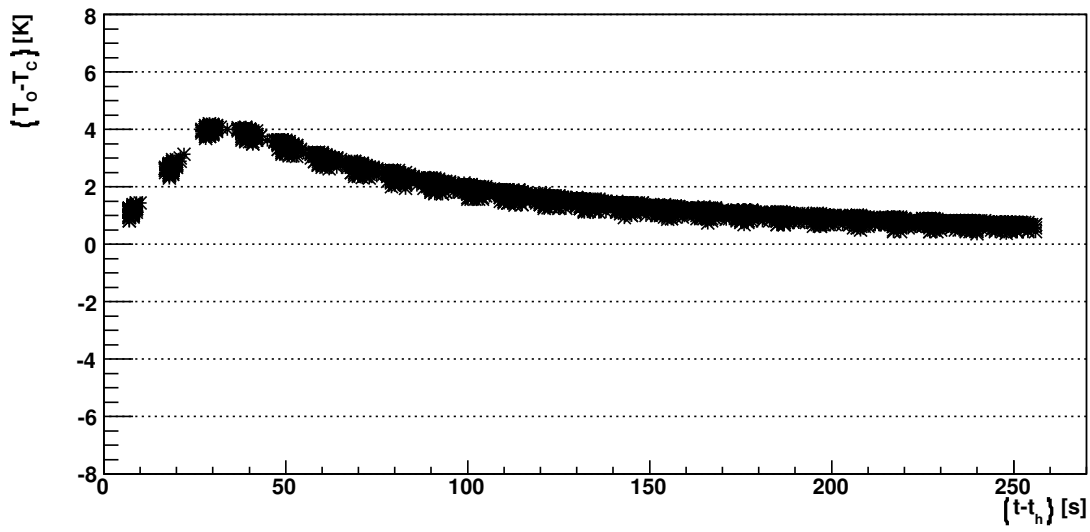


Valve 15: OpenMaxtemp - CloseMaxtemp

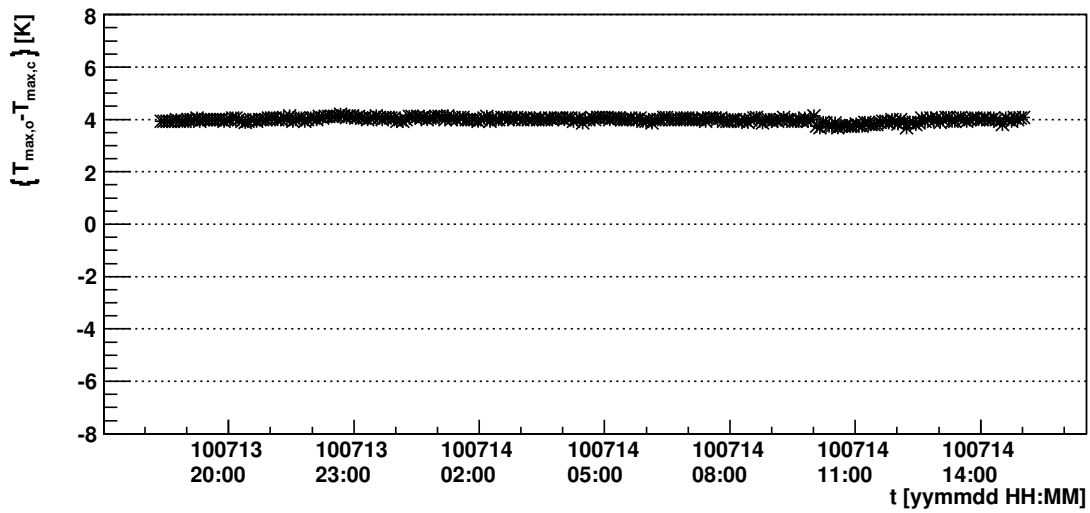


hMaxDiff	
Entries	289
Mean	-2.811
RMS	0.1383

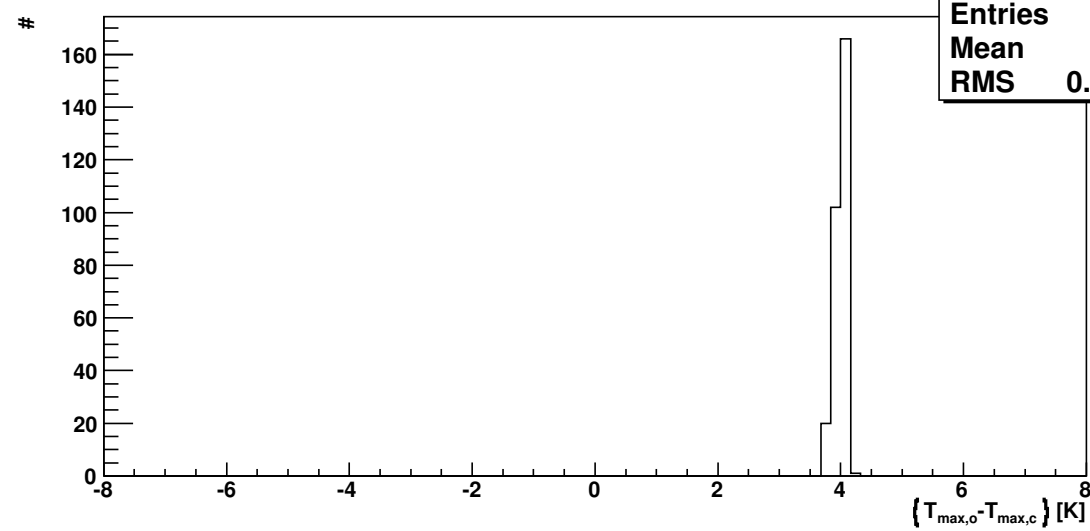
Valve 16: Opentemp - Closetemp



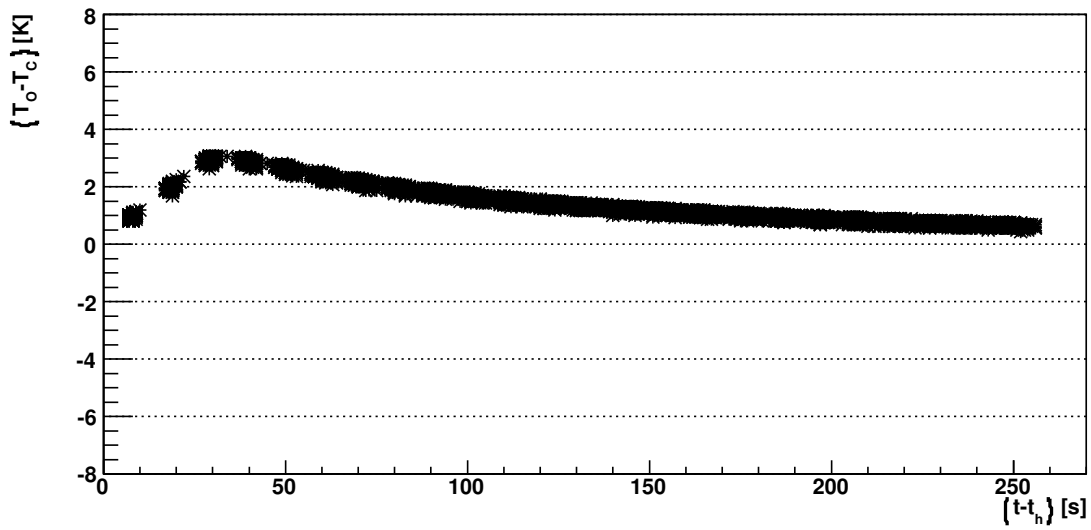
Valve 16: OpenMaxtemp - CloseMaxtemp



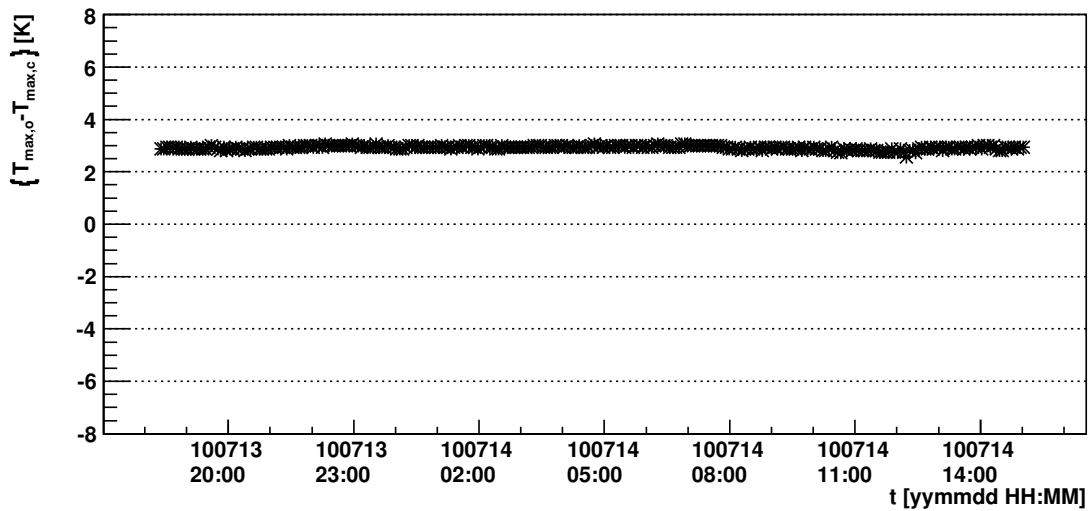
Valve 16: OpenMaxtemp - CloseMaxtemp



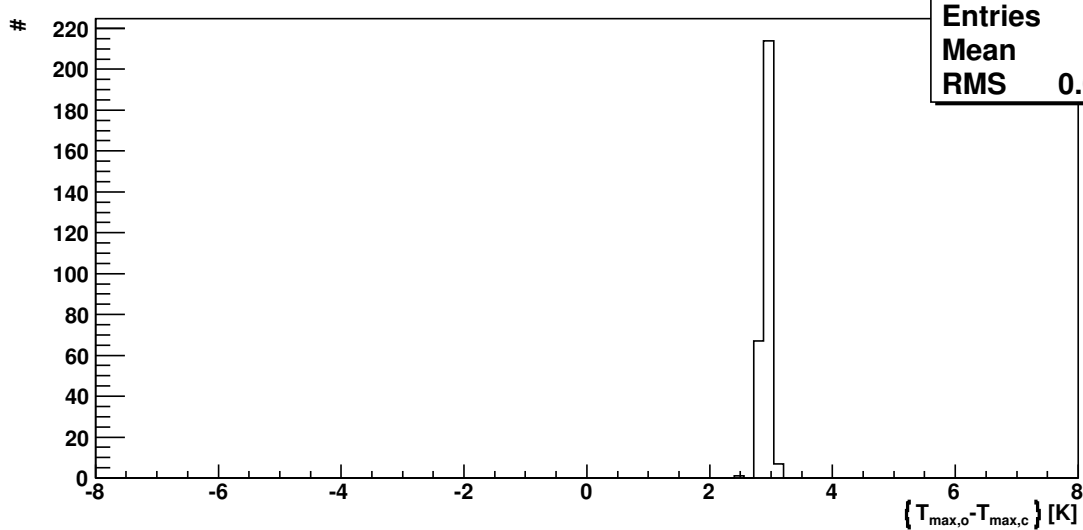
Valve 17: Opentemp - Closetemp



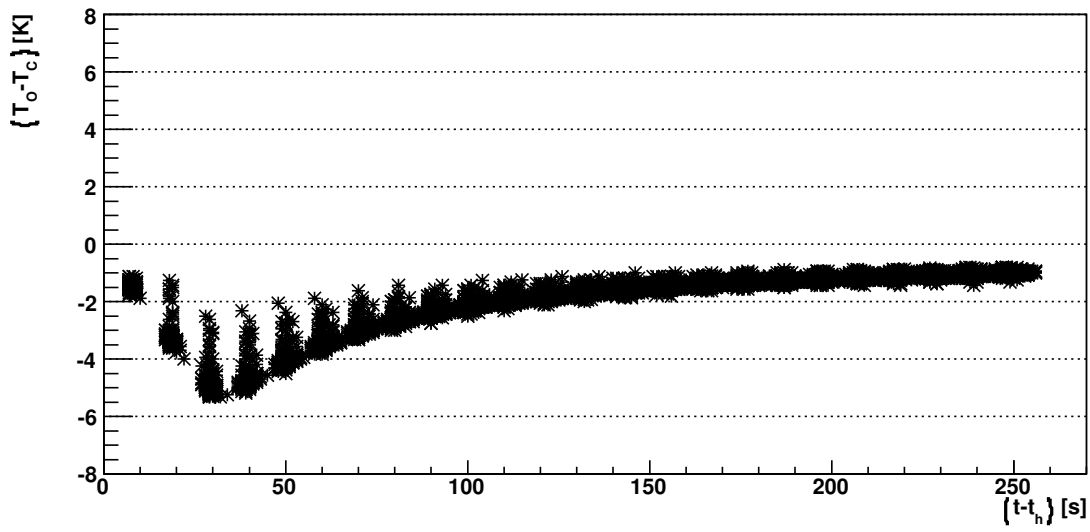
Valve 17: OpenMaxtemp - CloseMaxtemp



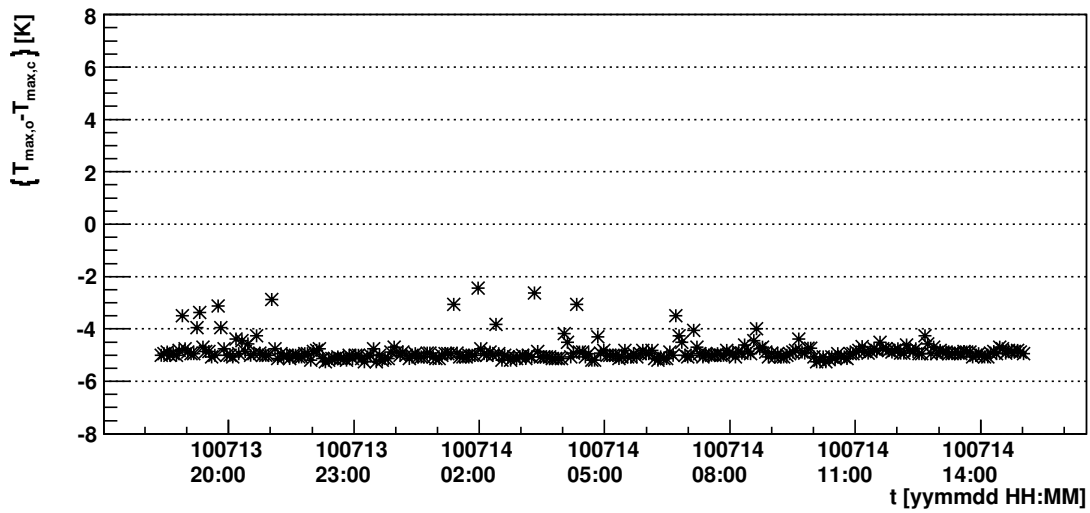
Valve 17: OpenMaxtemp - CloseMaxtemp



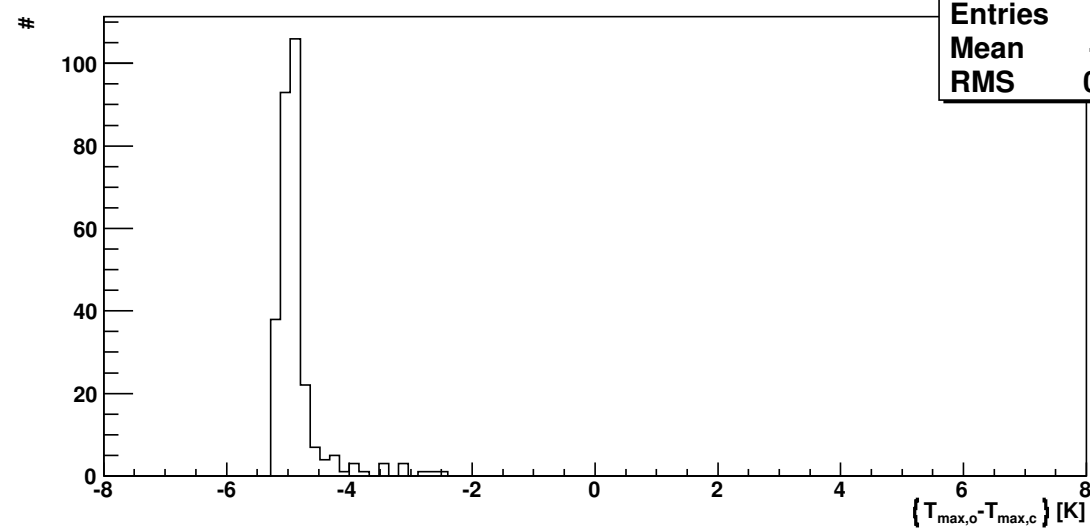
Valve 21: Opentemp - Closetemp



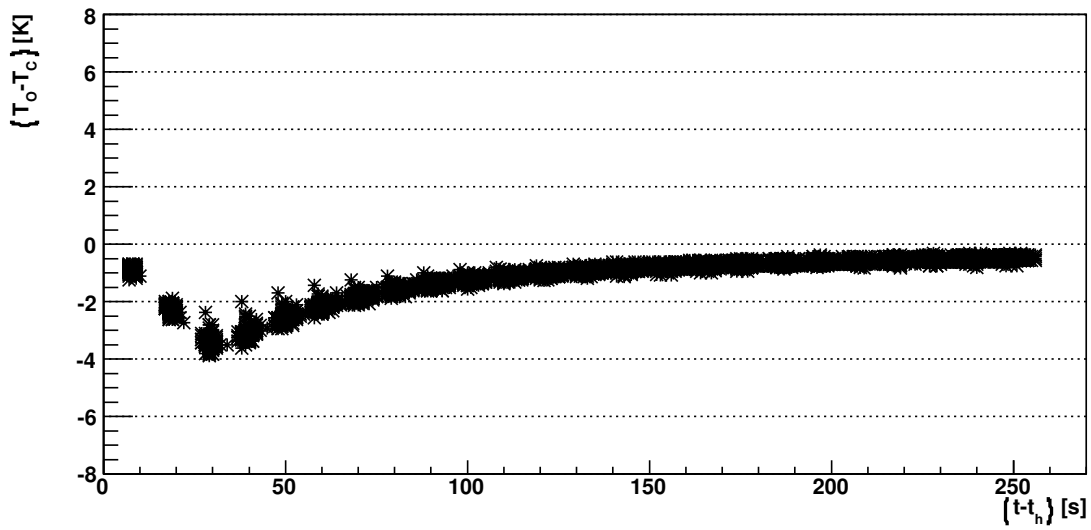
Valve 21: OpenMaxtemp - CloseMaxtemp



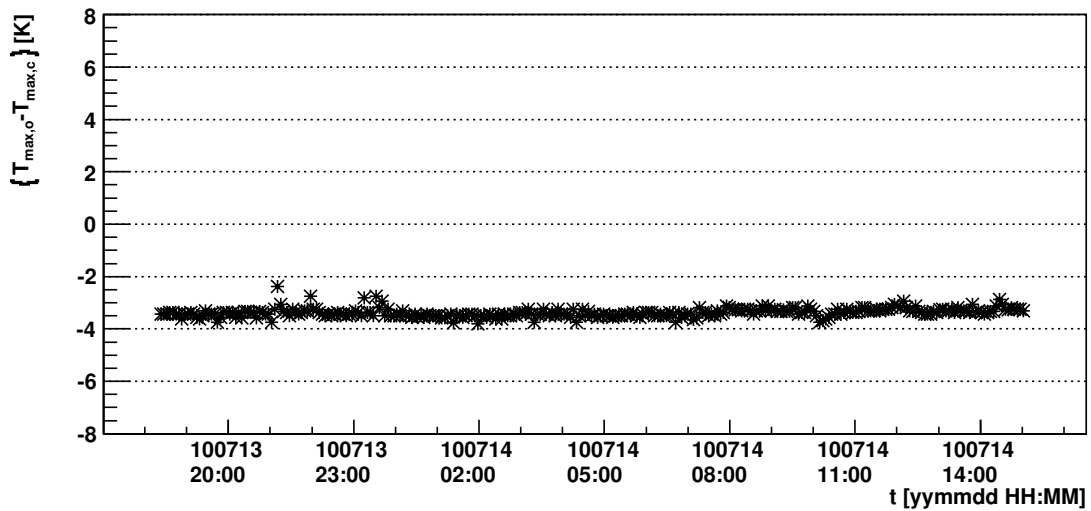
Valve 21: OpenMaxtemp - CloseMaxtemp



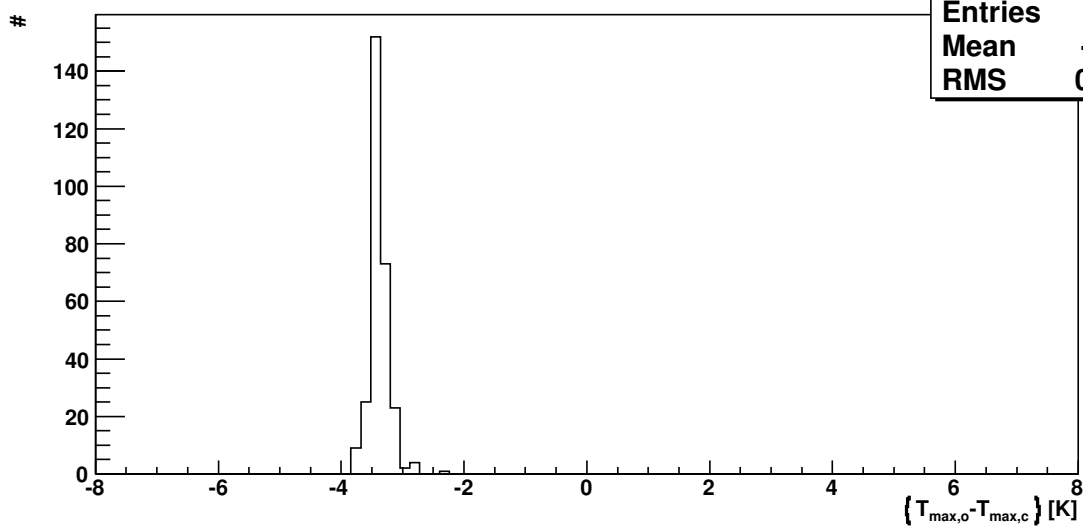
Valve 22: Opentemp - Closetemp



Valve 22: OpenMaxtemp - CloseMaxtemp

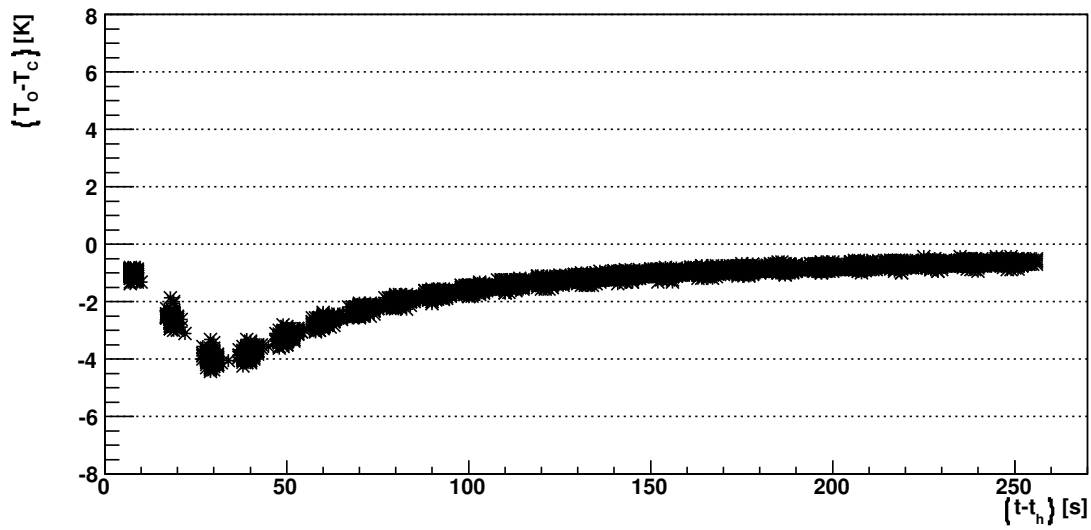


Valve 22: OpenMaxtemp - CloseMaxtemp

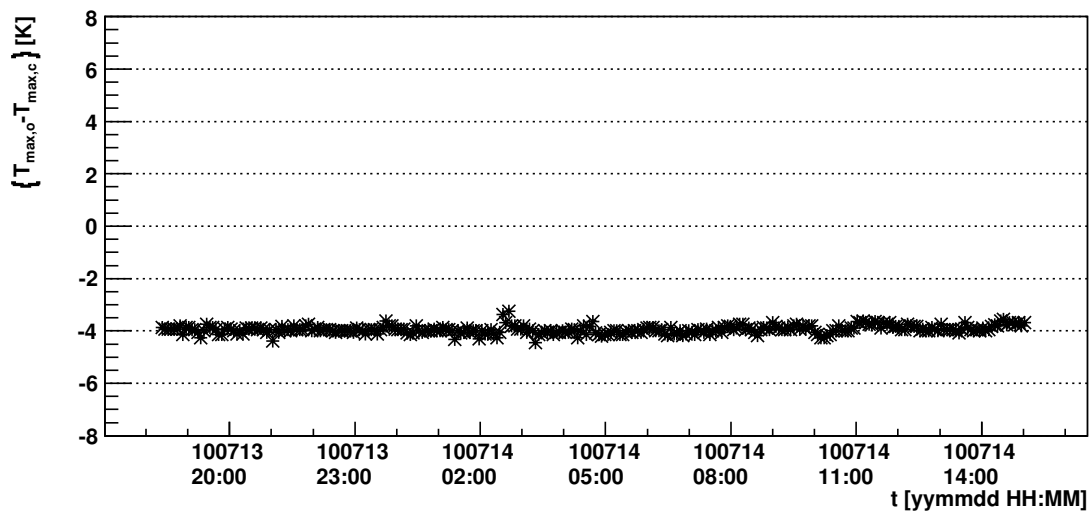


hMaxDiff	
Entries	289
Mean	-3.383
RMS	0.1659

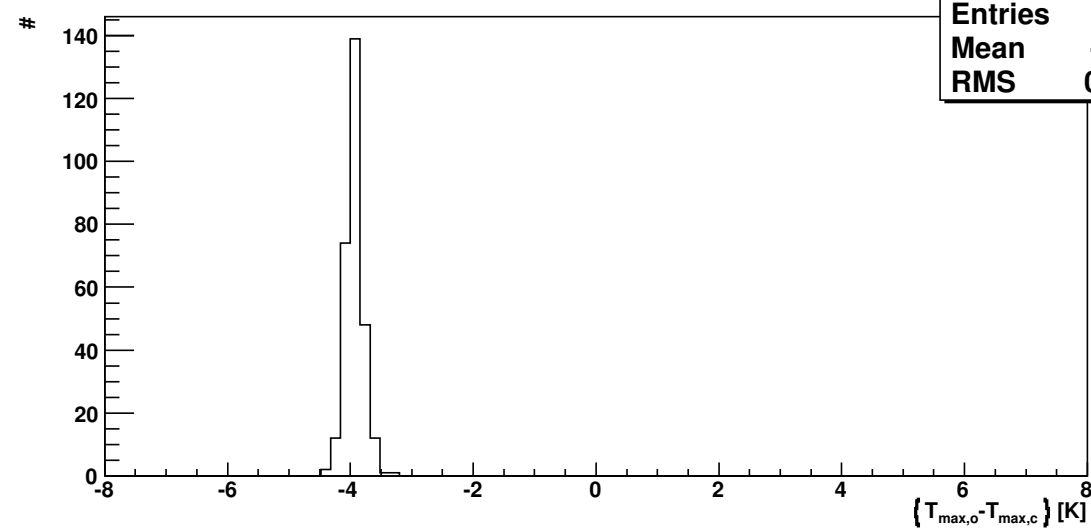
Valve 23: Opentemp - Closetemp



Valve 23: OpenMaxtemp - CloseMaxtemp

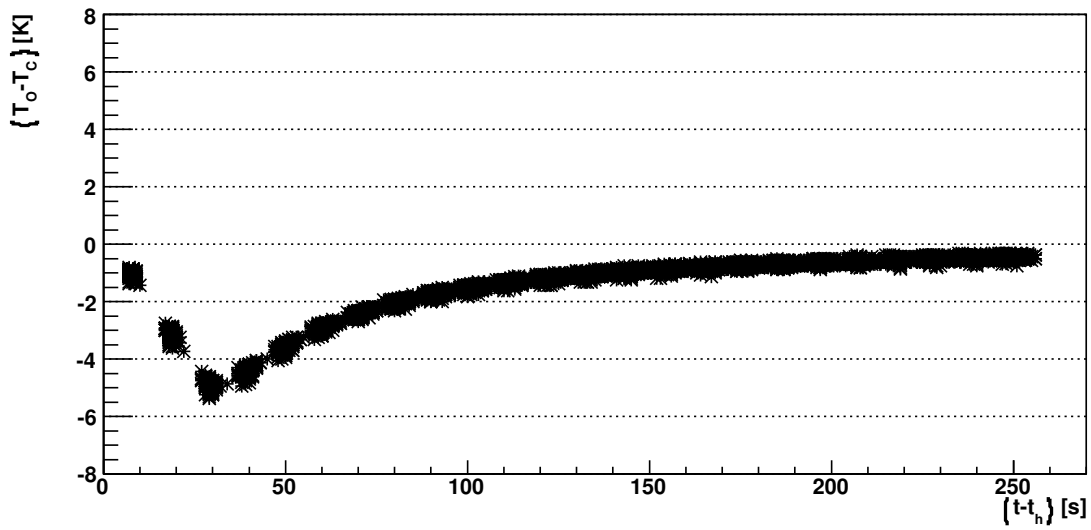


Valve 23: OpenMaxtemp - CloseMaxtemp

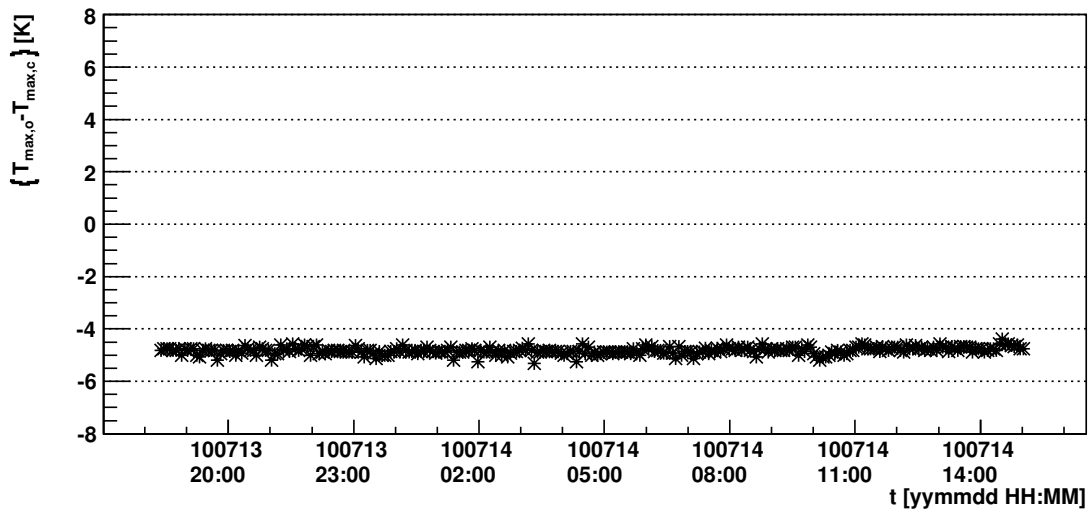


hMaxDiff	
Entries	289
Mean	-3.945
RMS	0.1495

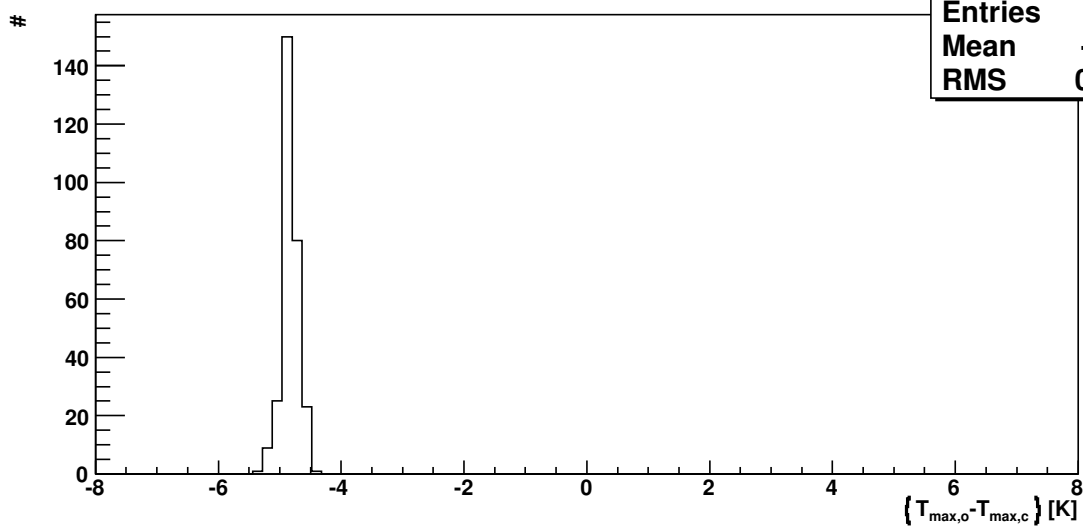
Valve 24: Opentemp - Closetemp



Valve 24: OpenMaxtemp - CloseMaxtemp

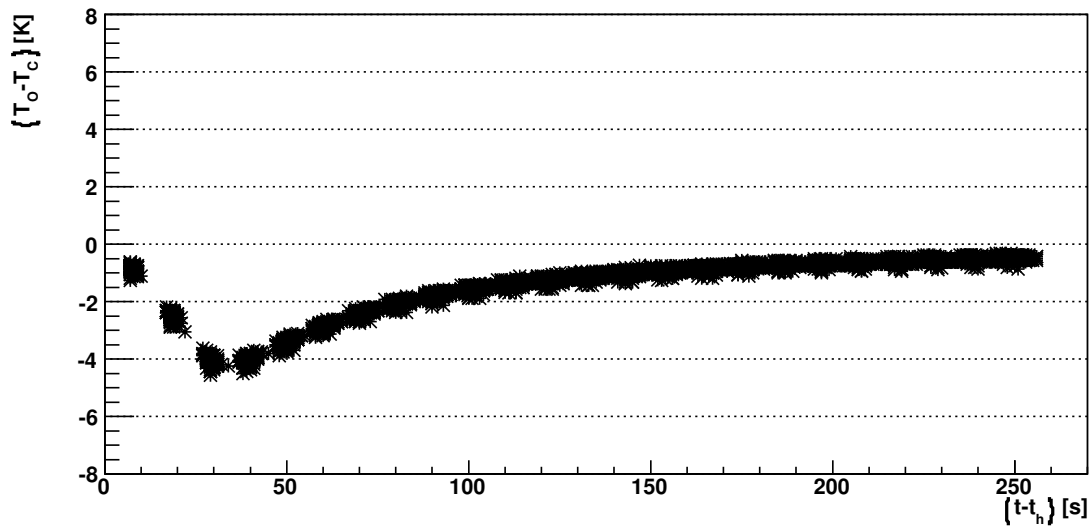


Valve 24: OpenMaxtemp - CloseMaxtemp

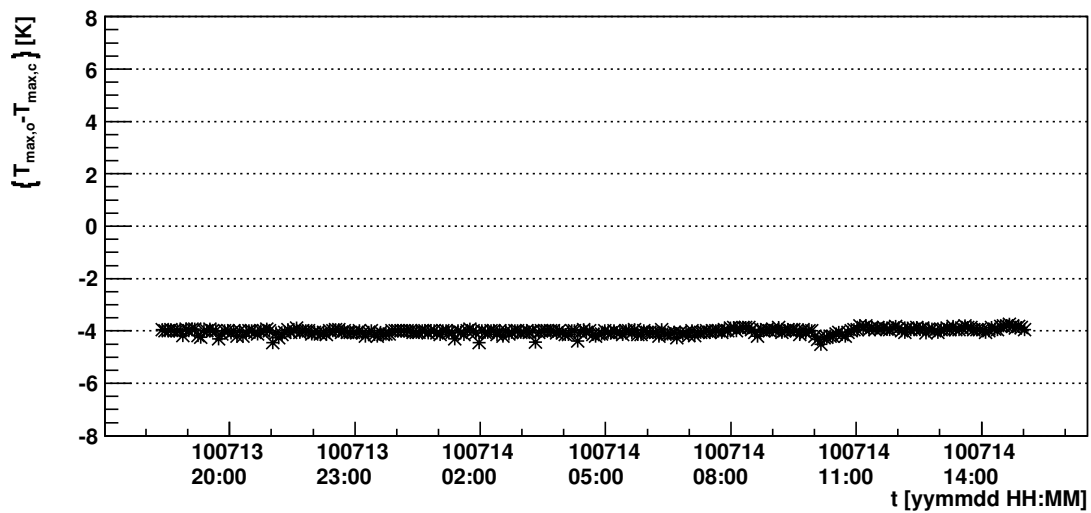


hMaxDiff	
Entries	289
Mean	-4.826
RMS	0.1323

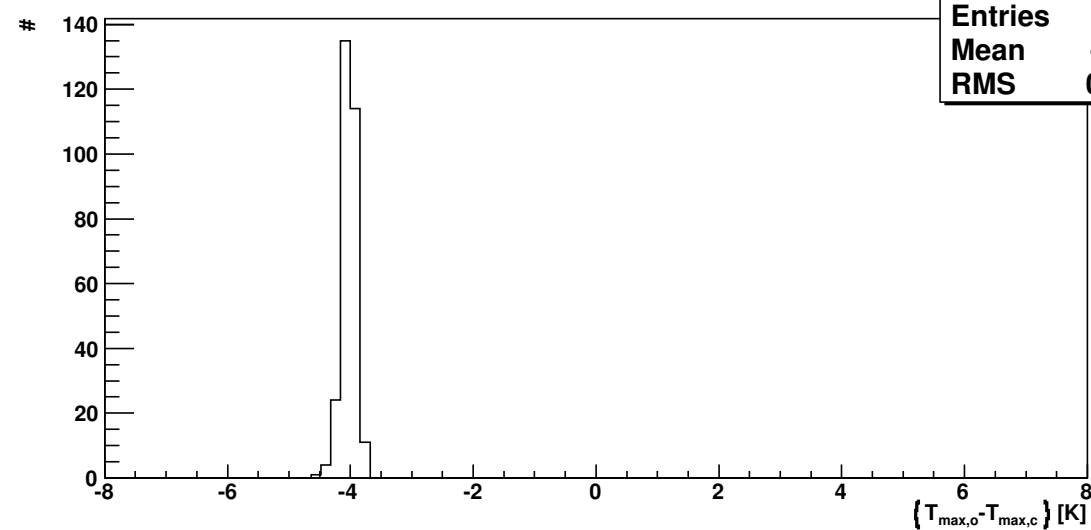
Valve 25: Opentemp - Closetemp



Valve 25: OpenMaxtemp - CloseMaxtemp

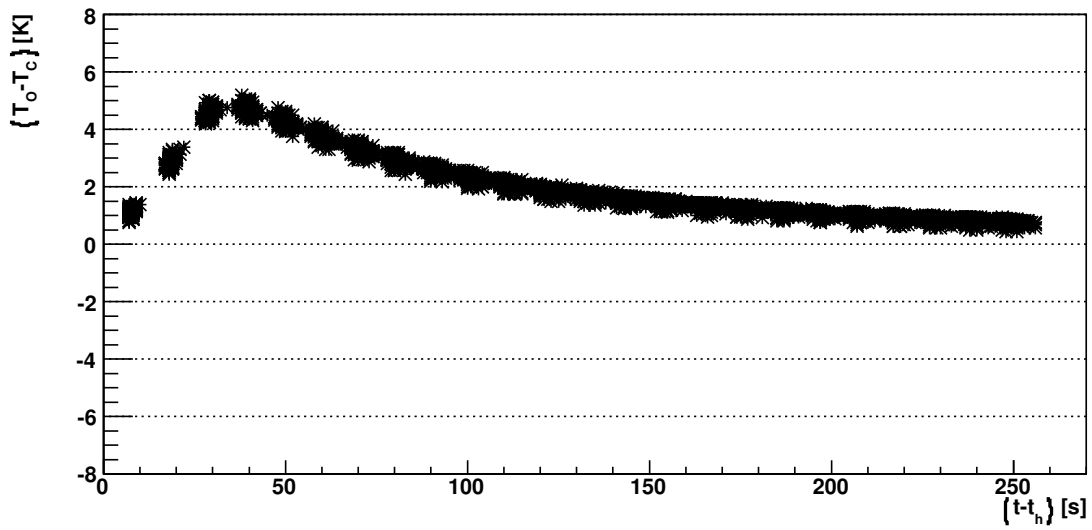


Valve 25: OpenMaxtemp - CloseMaxtemp

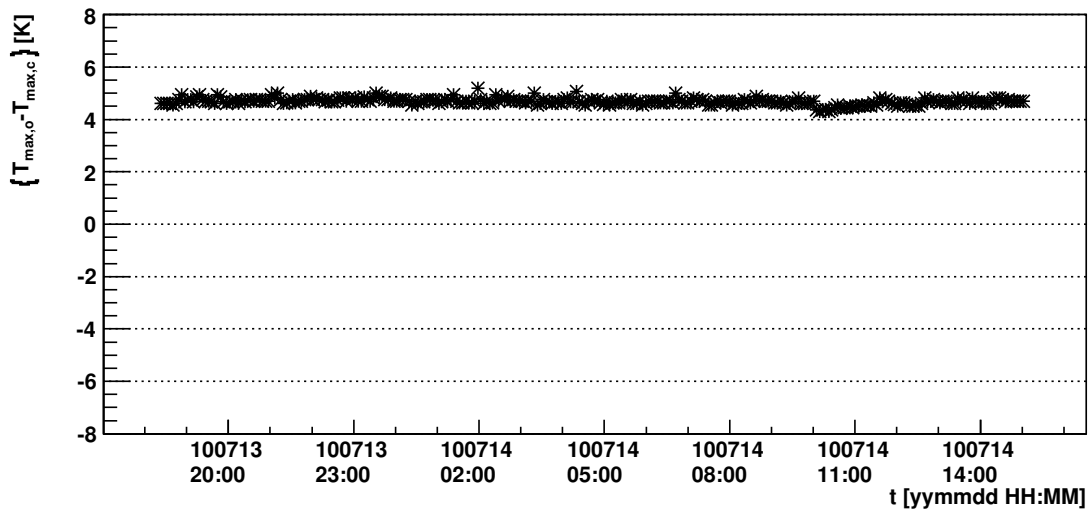


hMaxDiff	
Entries	289
Mean	-4.024
RMS	0.1122

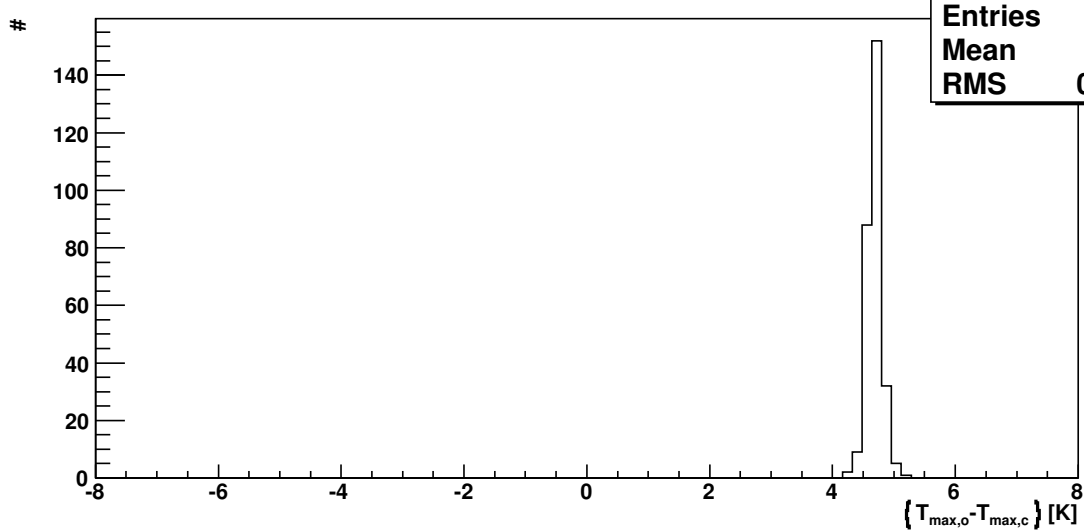
Valve 26: Opentemp - Closetemp



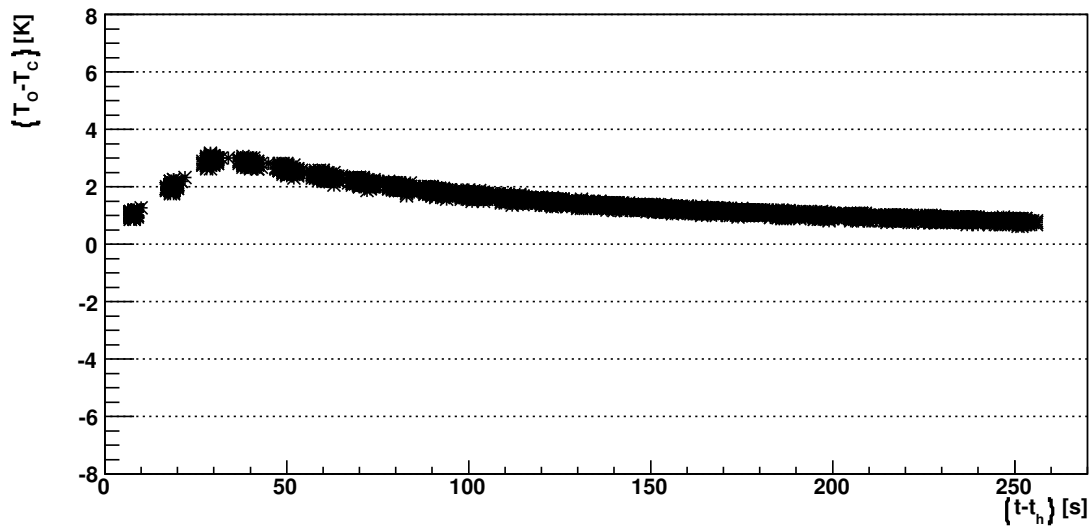
Valve 26: OpenMaxtemp - CloseMaxtemp



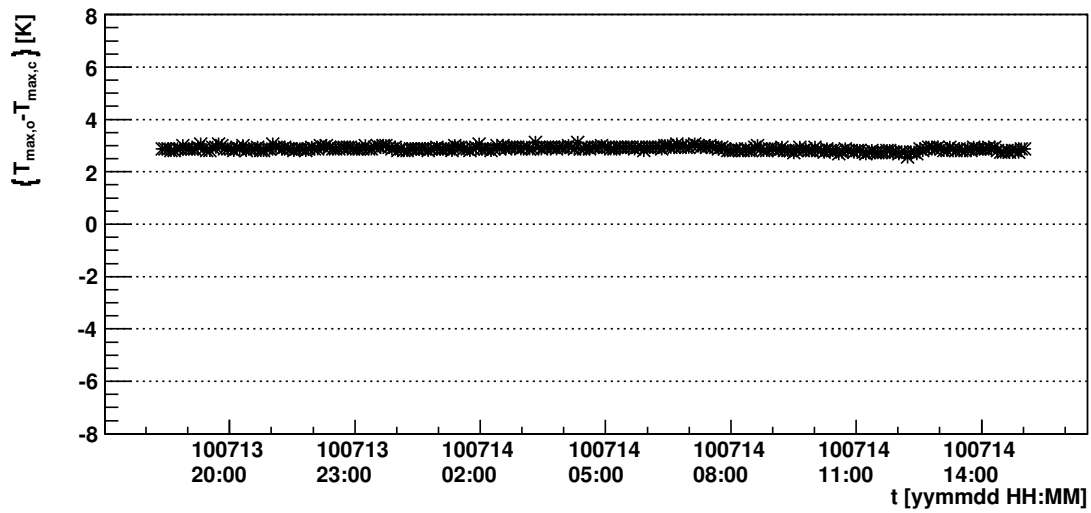
Valve 26: OpenMaxtemp - CloseMaxtemp



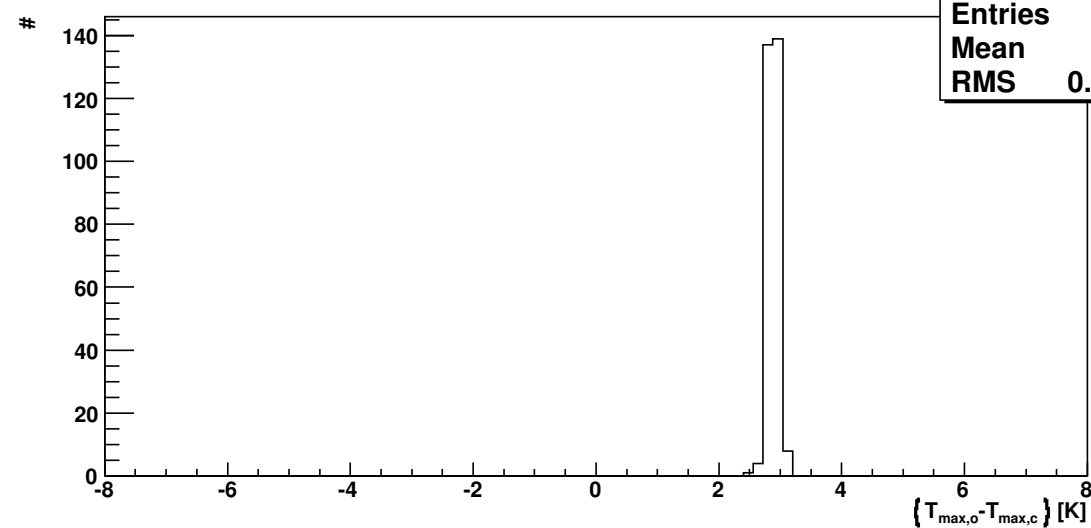
Valve 27: Opentemp - Closetemp



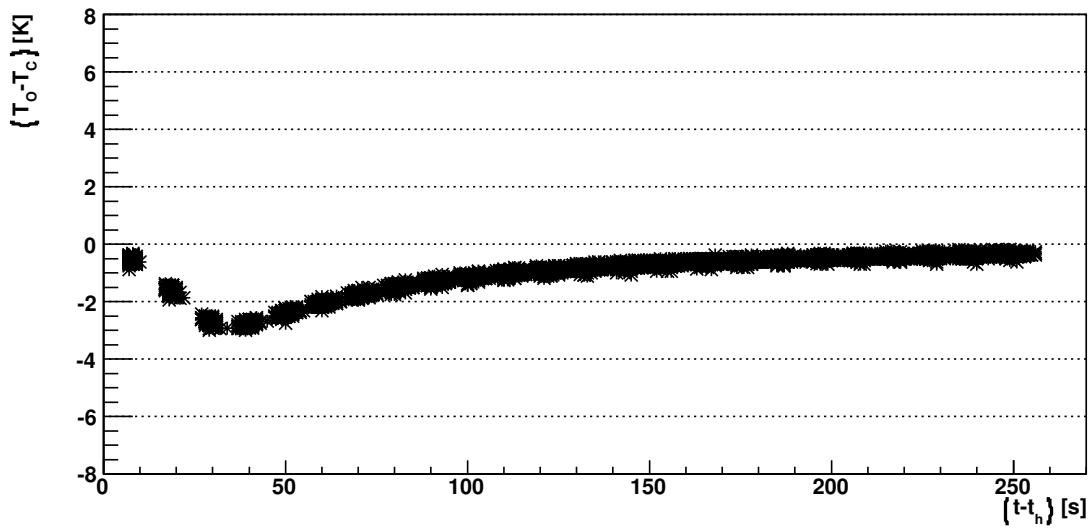
Valve 27: OpenMaxtemp - CloseMaxtemp



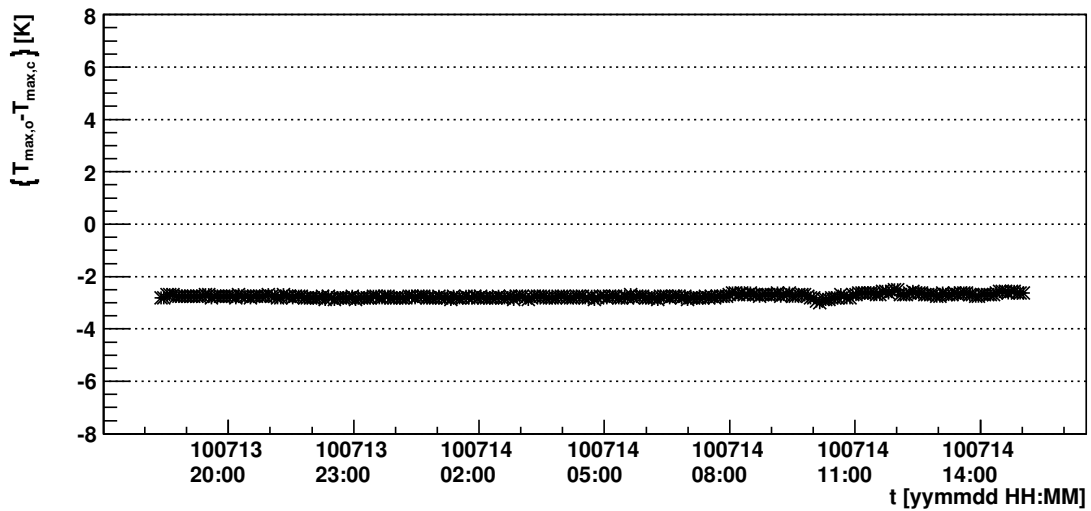
Valve 27: OpenMaxtemp - CloseMaxtemp



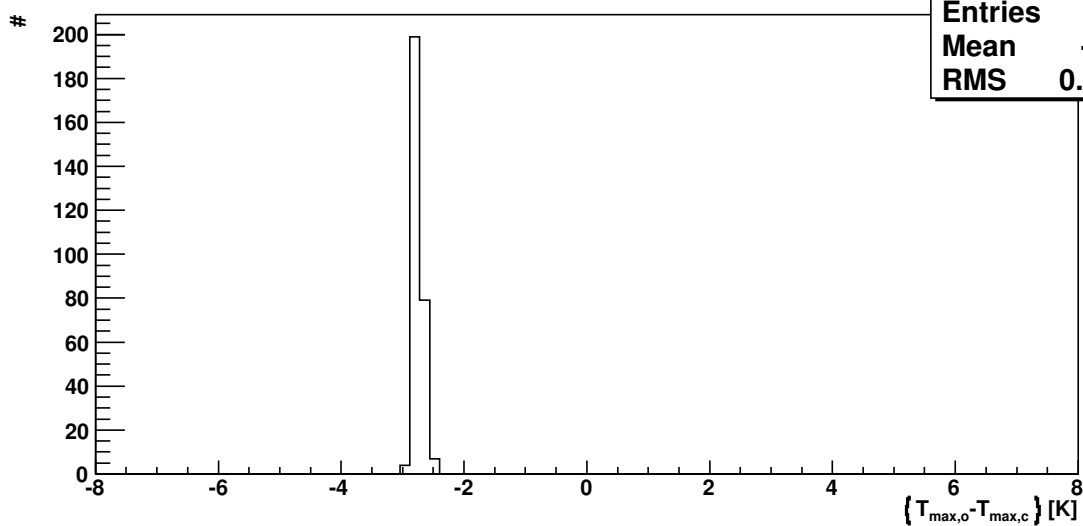
Valve 31: Opentemp - Closetemp



Valve 31: OpenMaxtemp - CloseMaxtemp

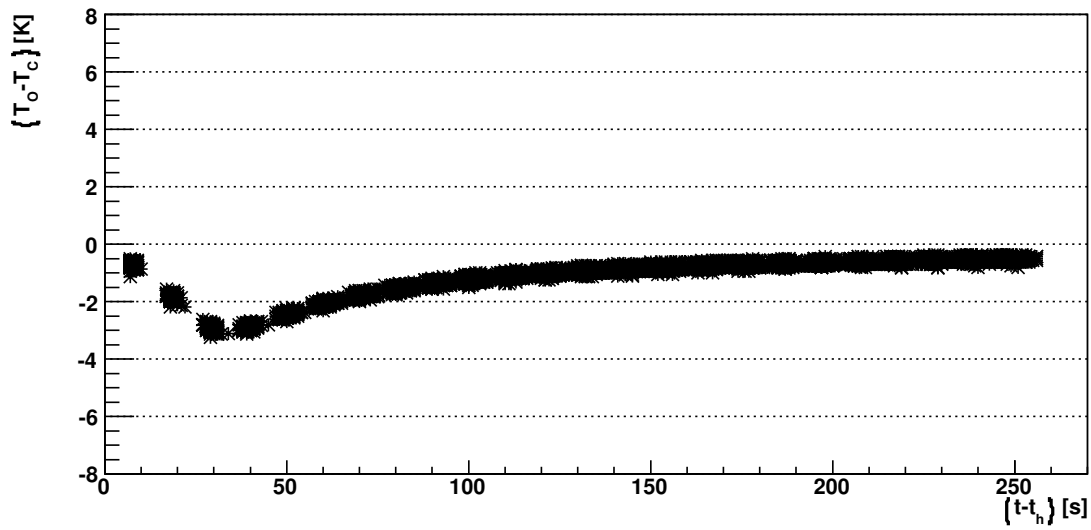


Valve 31: OpenMaxtemp - CloseMaxtemp

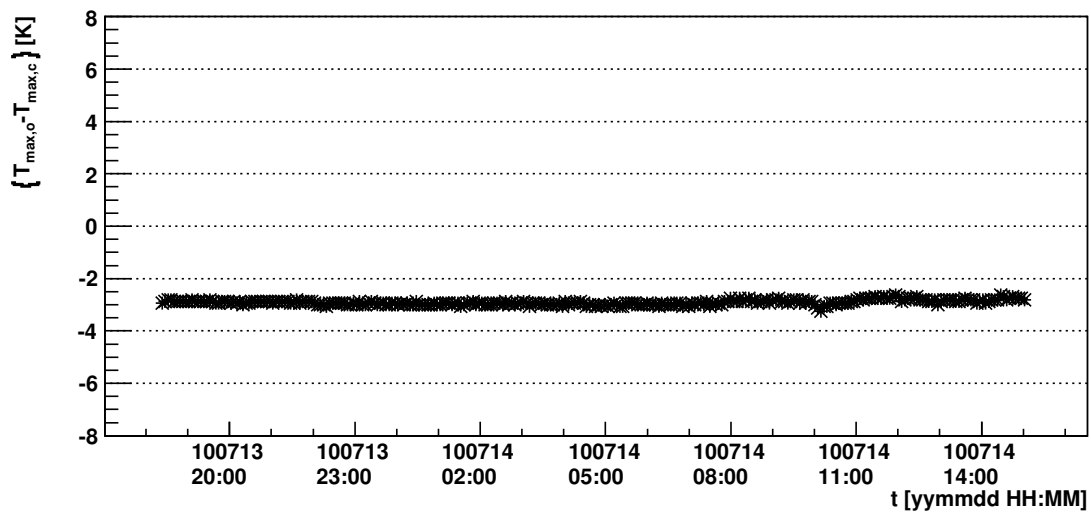


hMaxDiff	
Entries	289
Mean	-2.748
RMS	0.07652

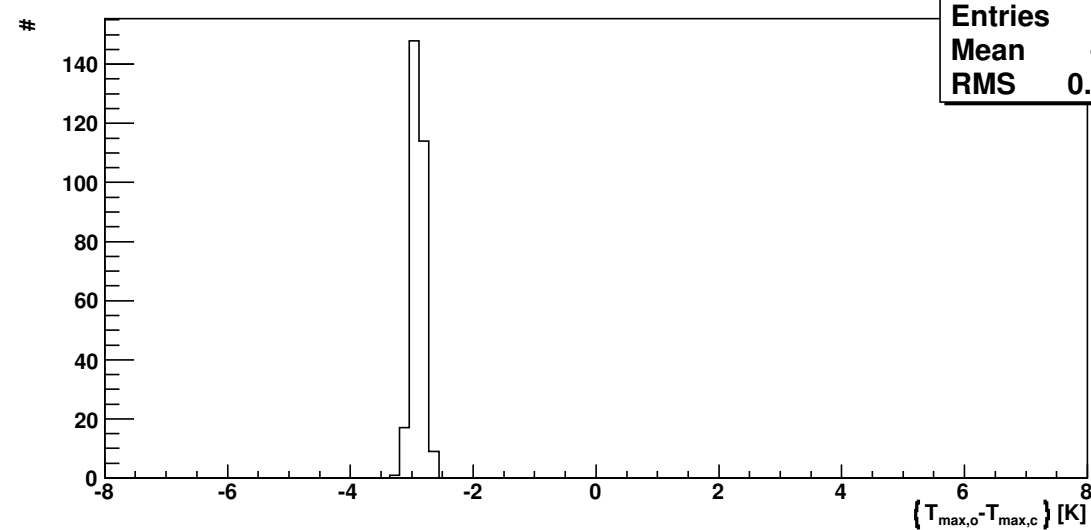
Valve 32: Opentemp - Closetemp



Valve 32: OpenMaxtemp - CloseMaxtemp

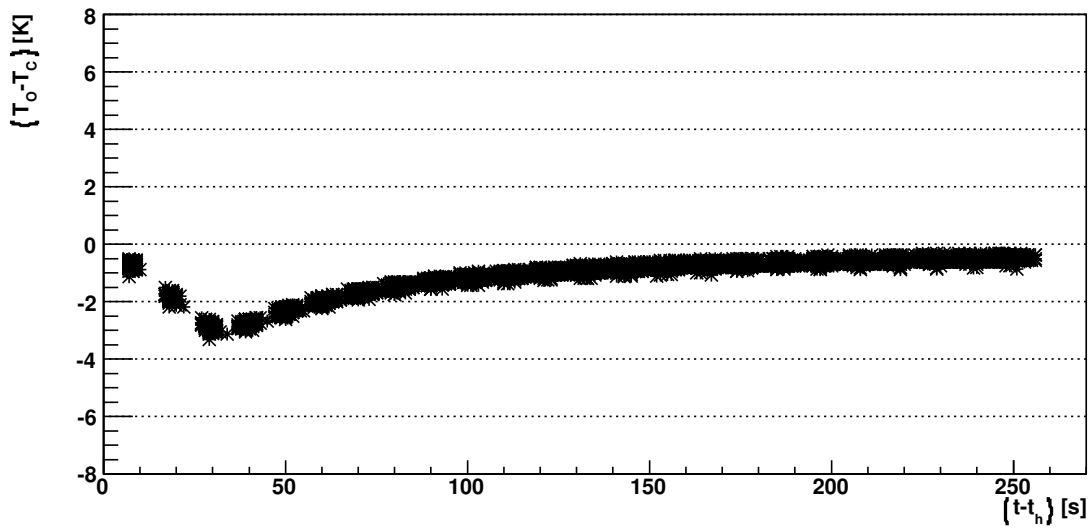


Valve 32: OpenMaxtemp - CloseMaxtemp

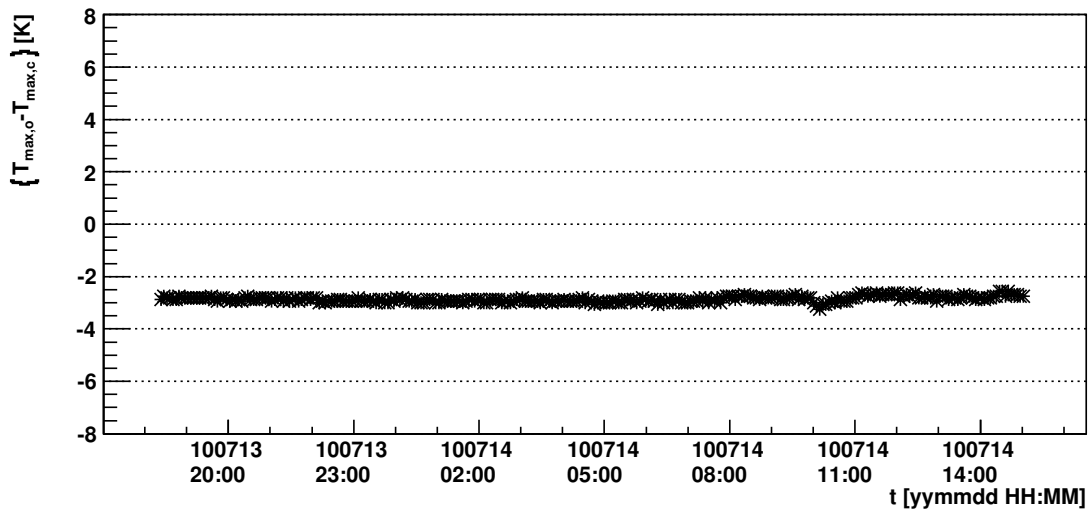


hMaxDiff	
Entries	289
Mean	-2.909
RMS	0.09373

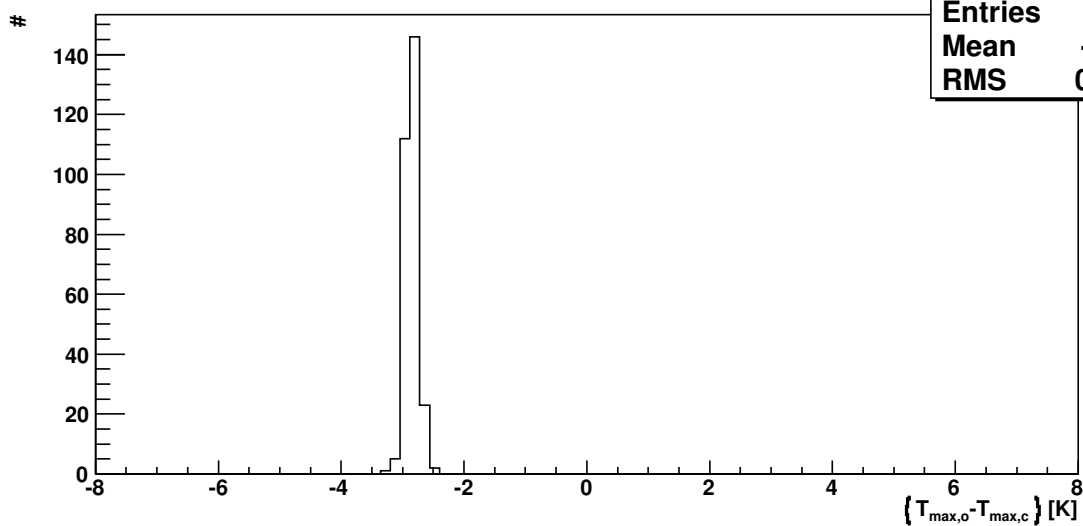
Valve 33: Opentemp - Closetemp



Valve 33: OpenMaxtemp - CloseMaxtemp

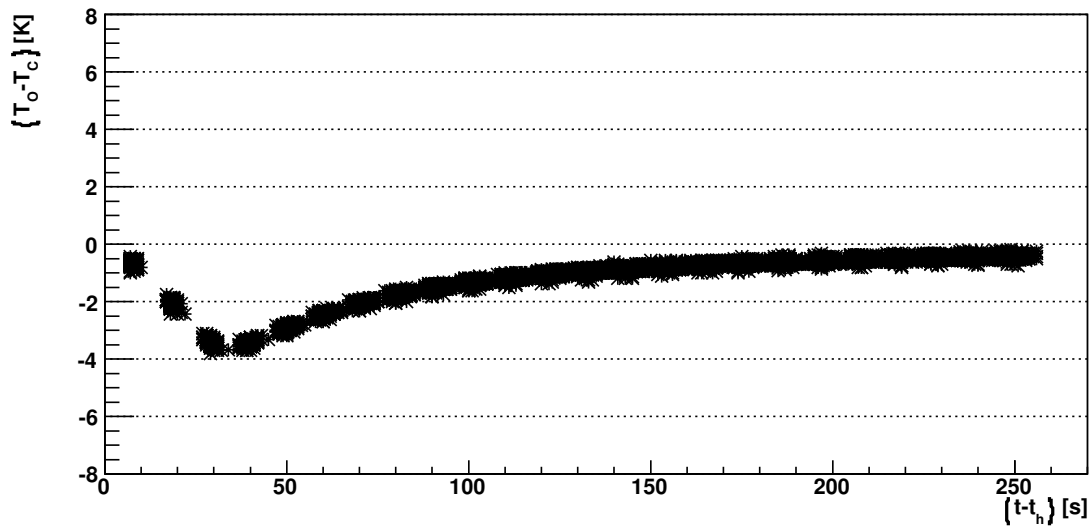


Valve 33: OpenMaxtemp - CloseMaxtemp

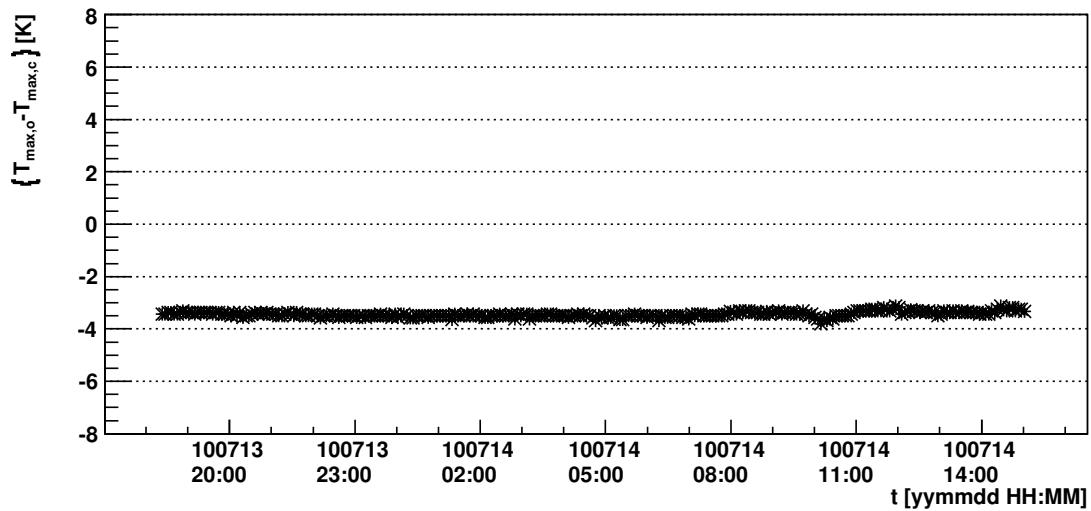


hMaxDiff	
Entries	289
Mean	-2.864
RMS	0.1026

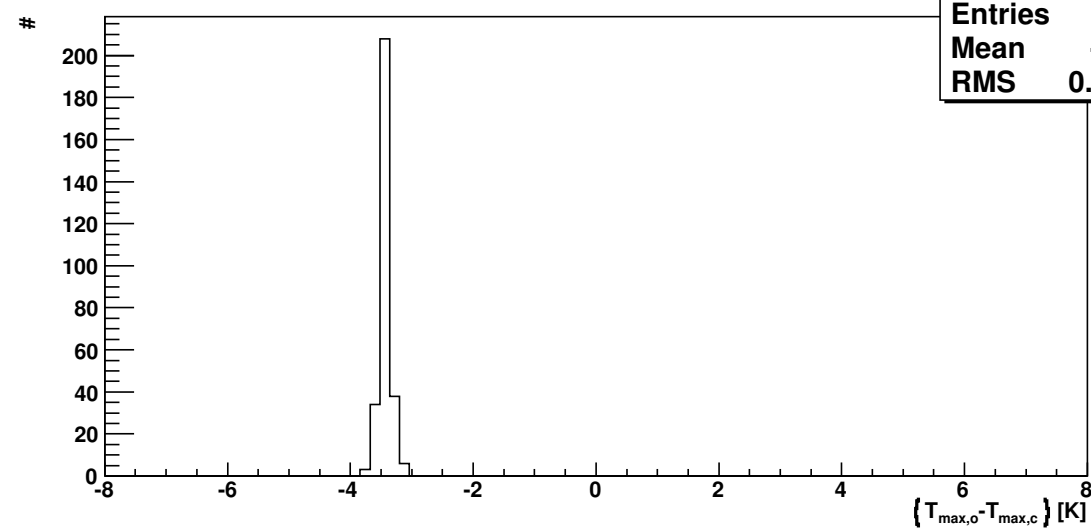
Valve 34: Opentemp - Closetemp



Valve 34: OpenMaxtemp - CloseMaxtemp

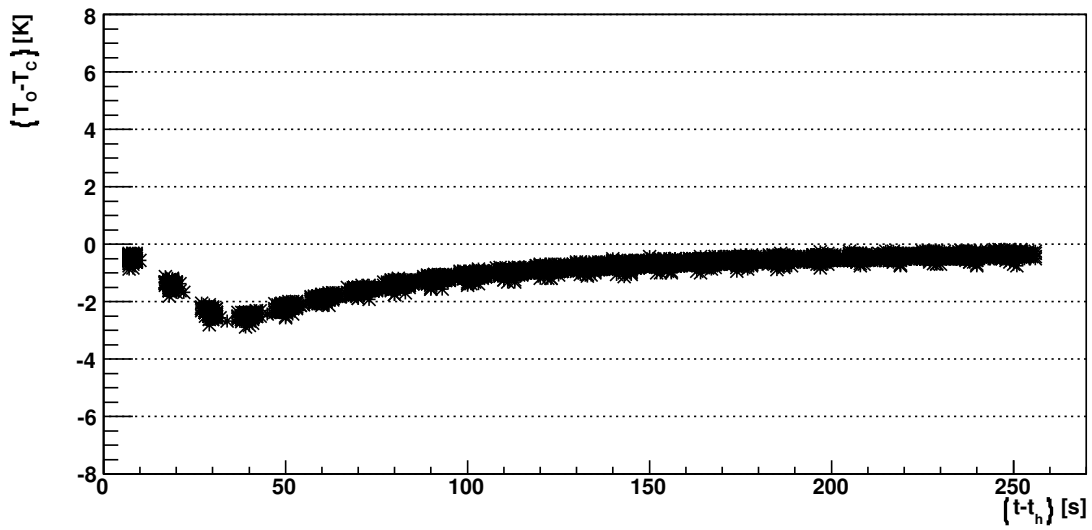


Valve 34: OpenMaxtemp - CloseMaxtemp

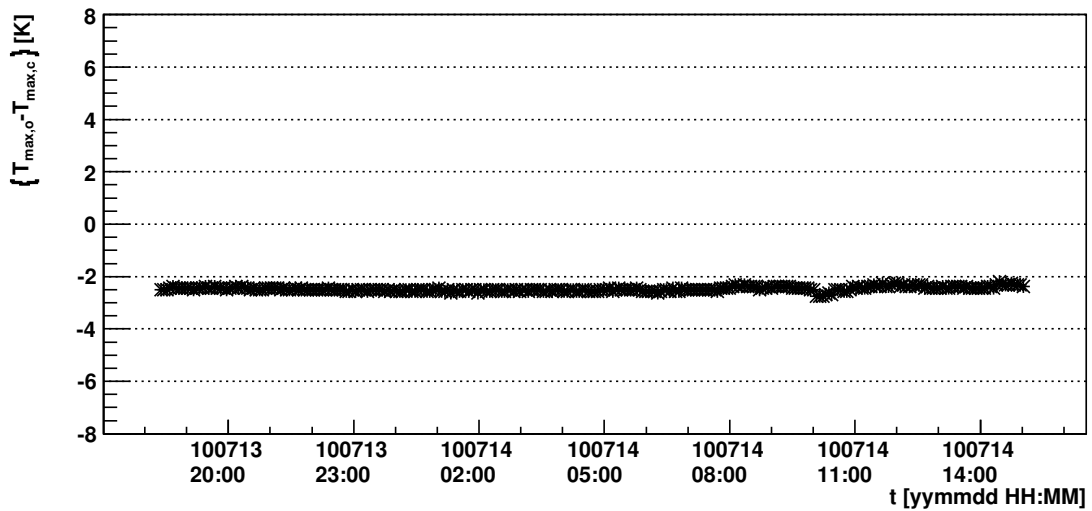


hMaxDiff	
Entries	289
Mean	-3.446
RMS	0.09842

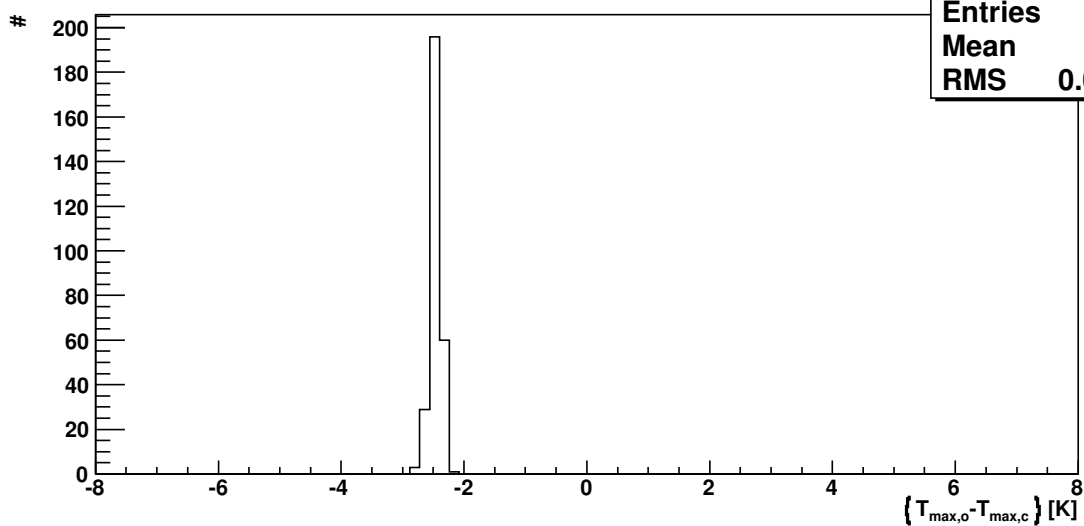
Valve 35: Opentemp - Closetemp



Valve 35: OpenMaxtemp - CloseMaxtemp

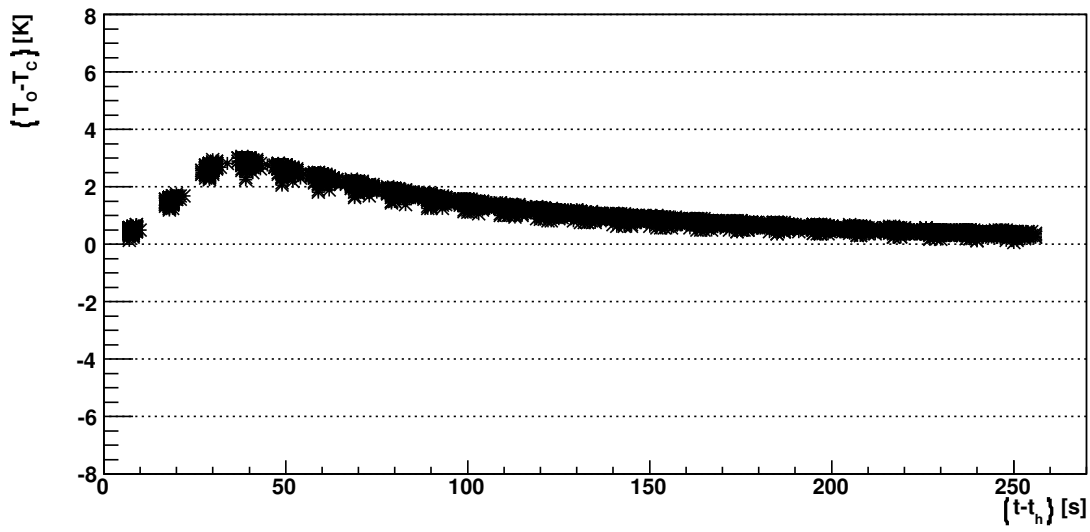


Valve 35: OpenMaxtemp - CloseMaxtemp

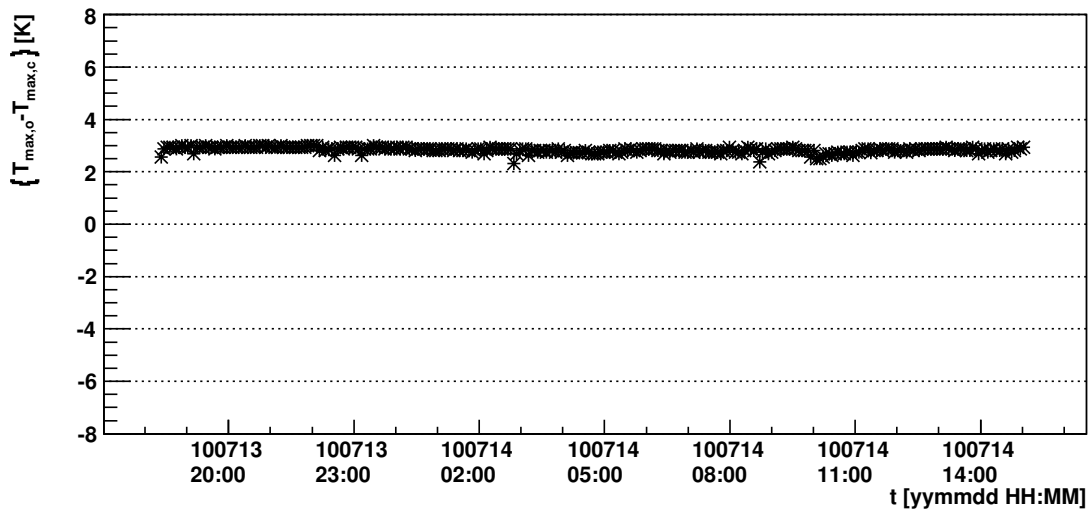


hMaxDiff	
Entries	289
Mean	-2.47
RMS	0.08365

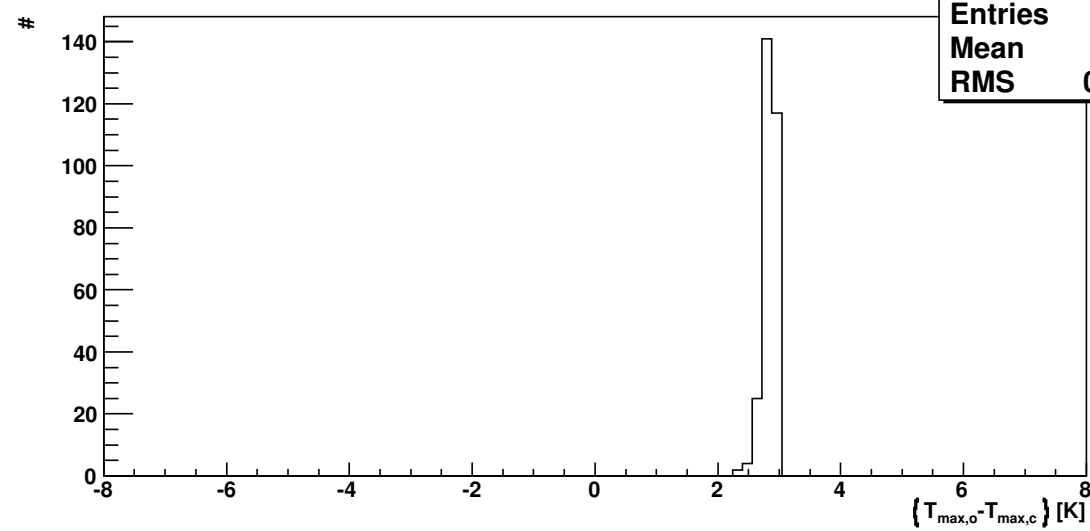
Valve 36: Opentemp - Closetemp



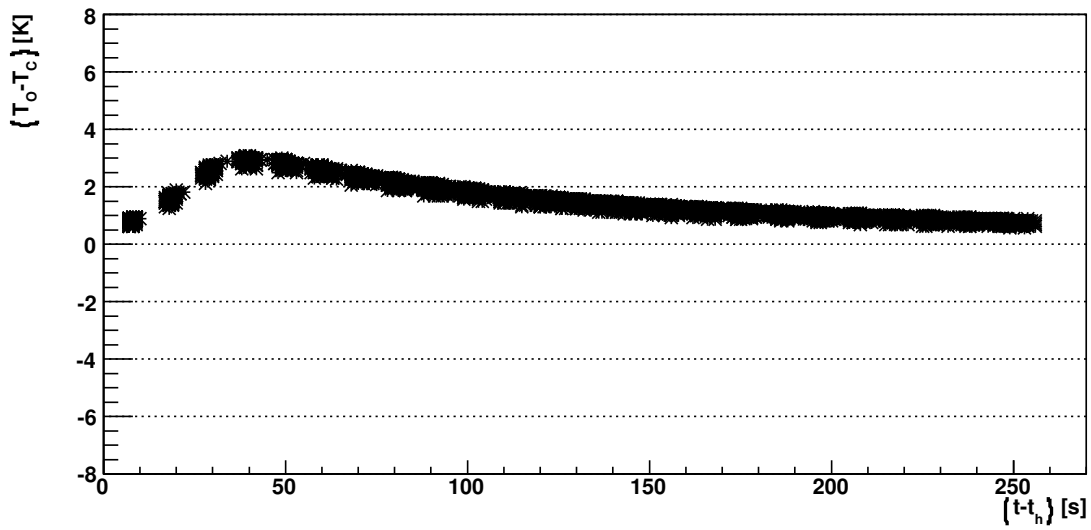
Valve 36: OpenMaxtemp - CloseMaxtemp



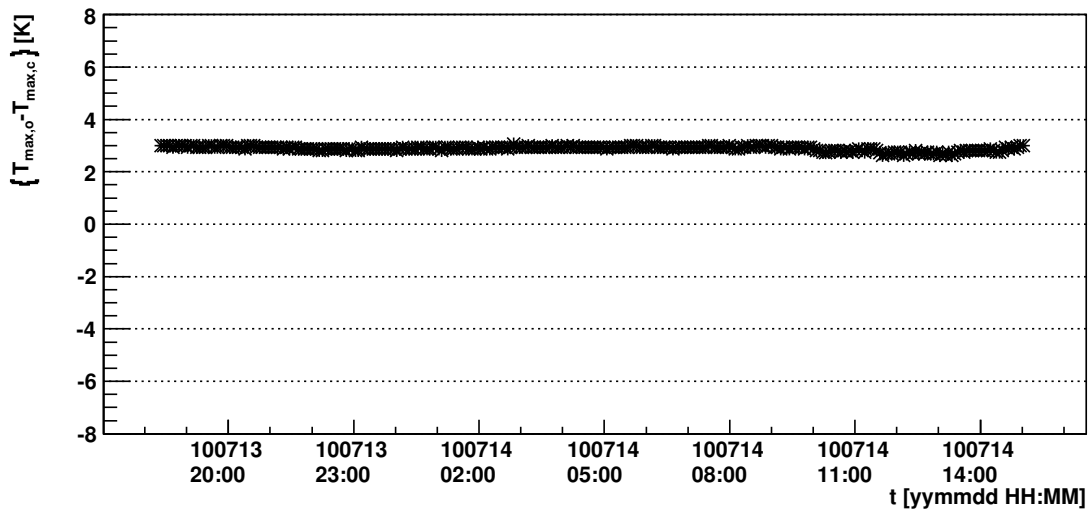
Valve 36: OpenMaxtemp - CloseMaxtemp



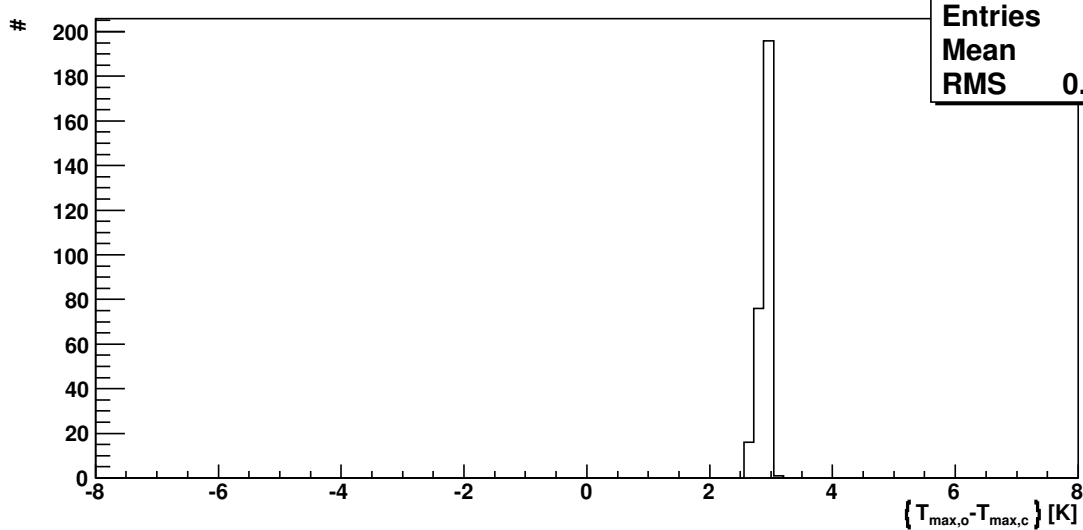
Valve 37: Opentemp - Closetemp



Valve 37: OpenMaxtemp - CloseMaxtemp

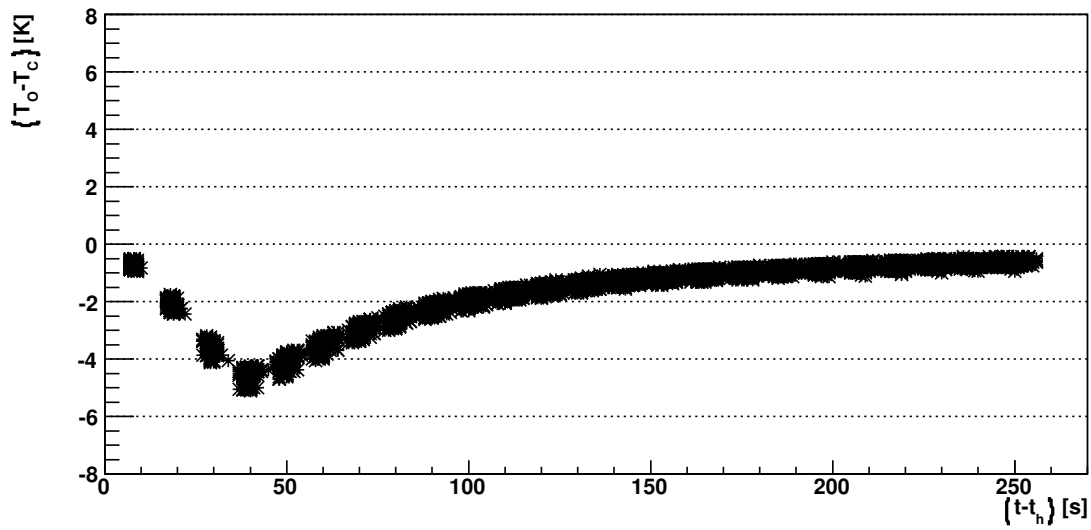


Valve 37: OpenMaxtemp - CloseMaxtemp

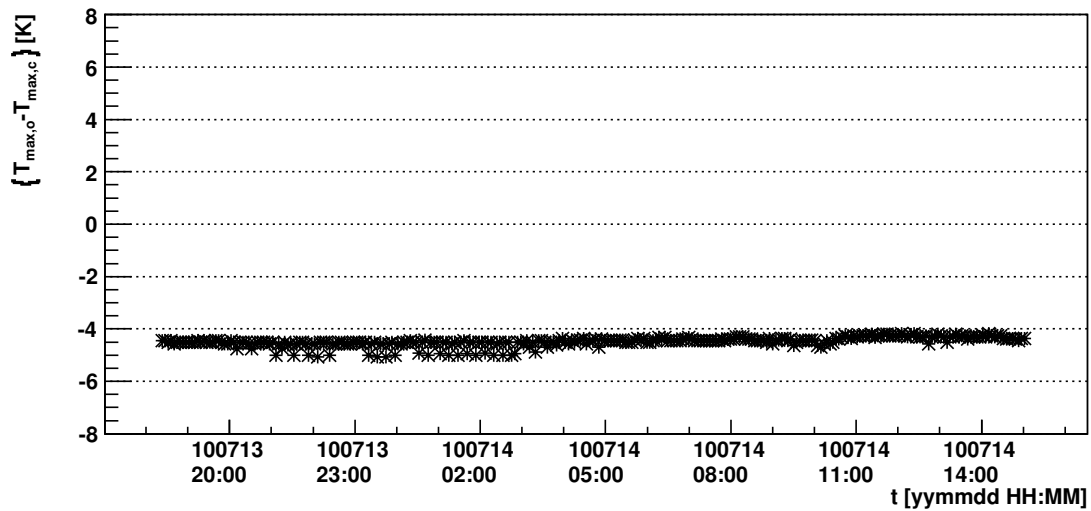


hMaxDiff	
Entries	289
Mean	2.892
RMS	0.08591

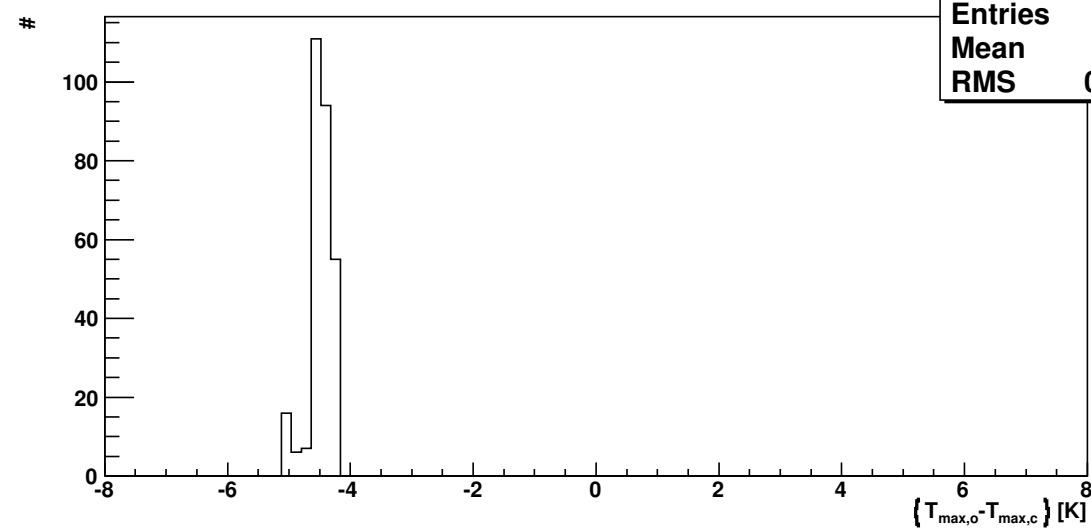
Valve 41: Opentemp - Closetemp



Valve 41: OpenMaxtemp - CloseMaxtemp

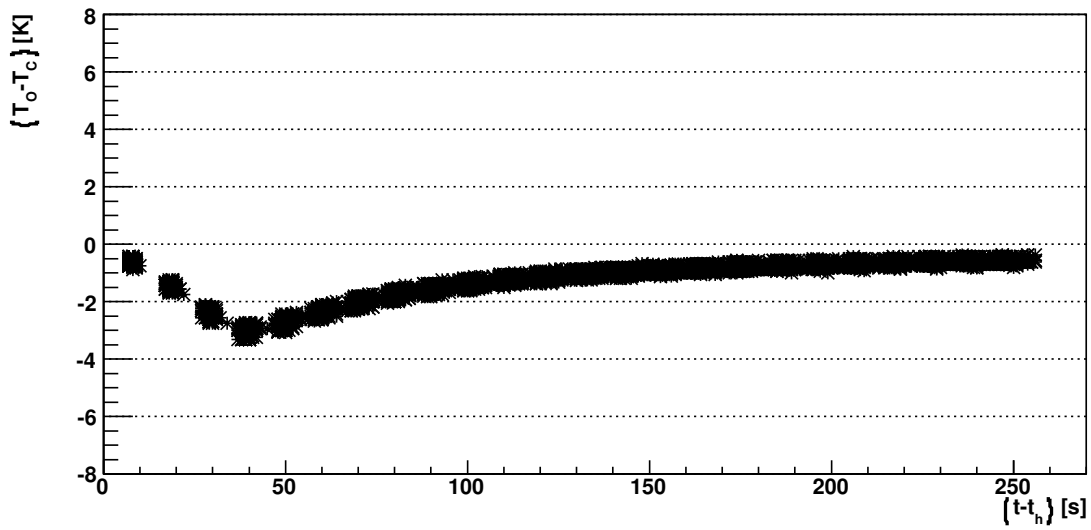


Valve 41: OpenMaxtemp - CloseMaxtemp

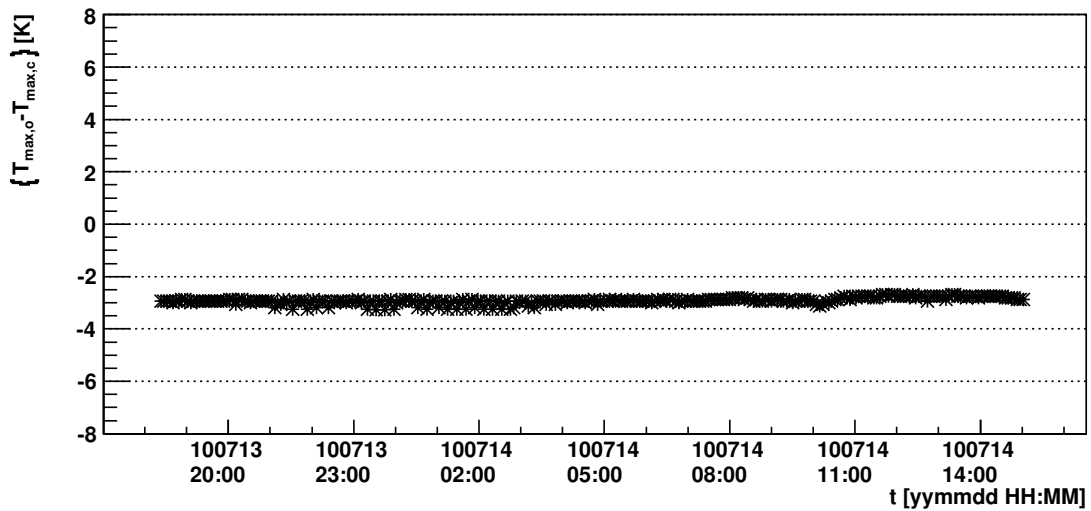


hMaxDiff	
Entries	289
Mean	-4.48
RMS	0.1813

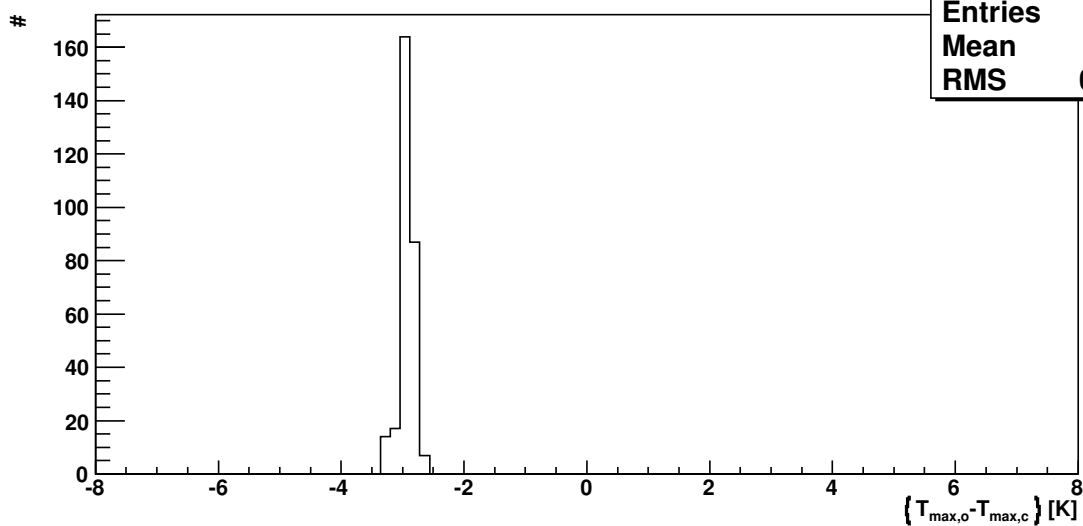
Valve 42: Opentemp - Closetemp



Valve 42: OpenMaxtemp - CloseMaxtemp

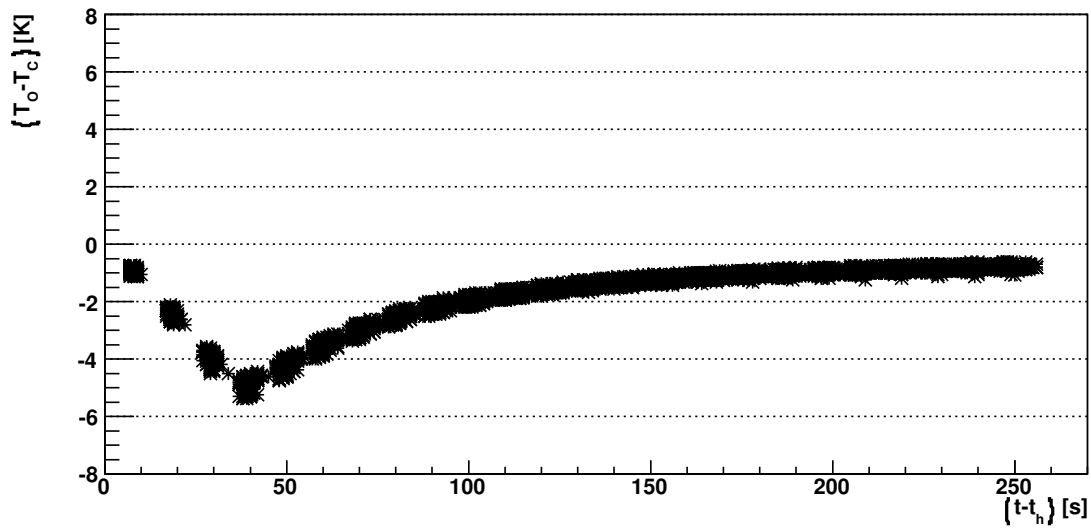


Valve 42: OpenMaxtemp - CloseMaxtemp

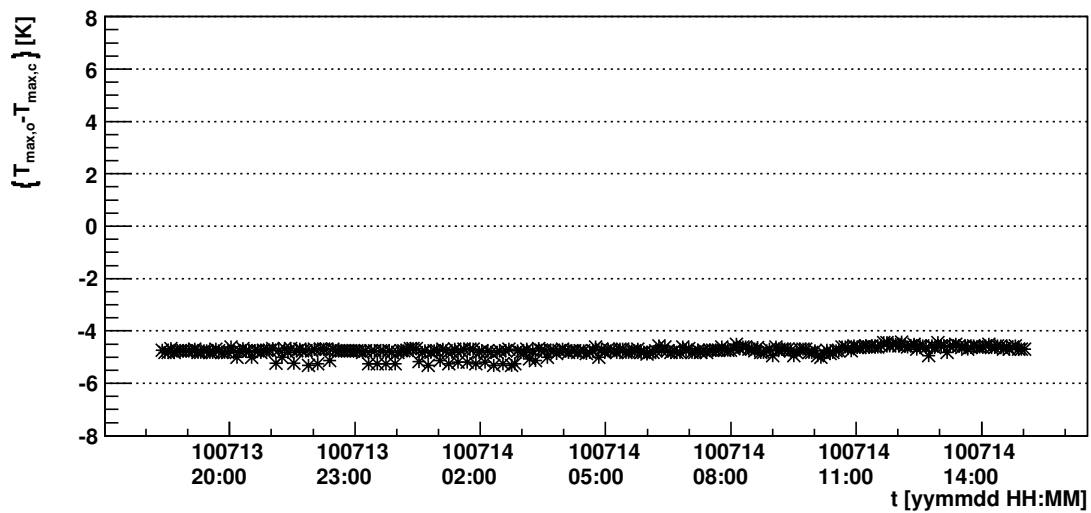


hMaxDiff	
Entries	289
Mean	-2.921
RMS	0.1211

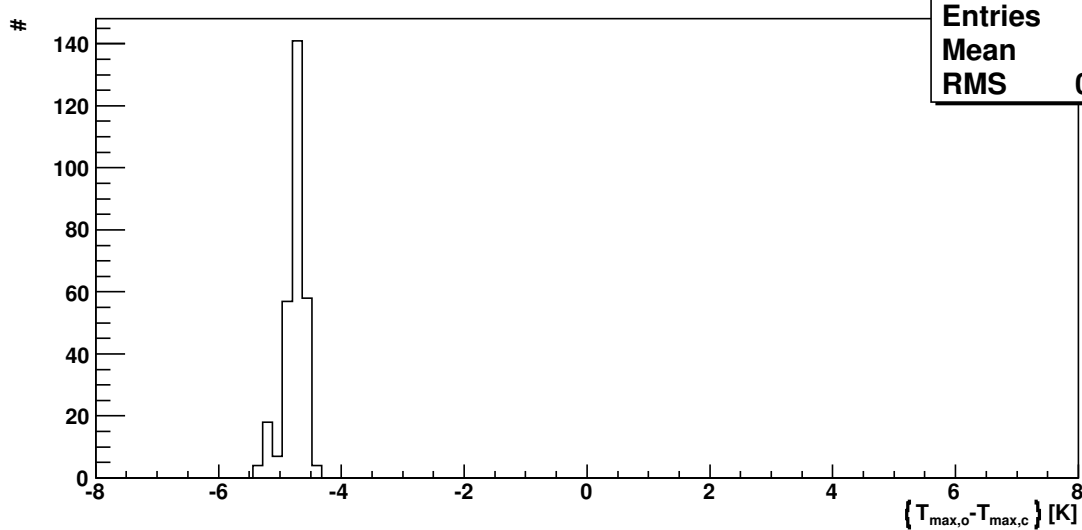
Valve 43: Opentemp - Closetemp



Valve 43: OpenMaxtemp - CloseMaxtemp

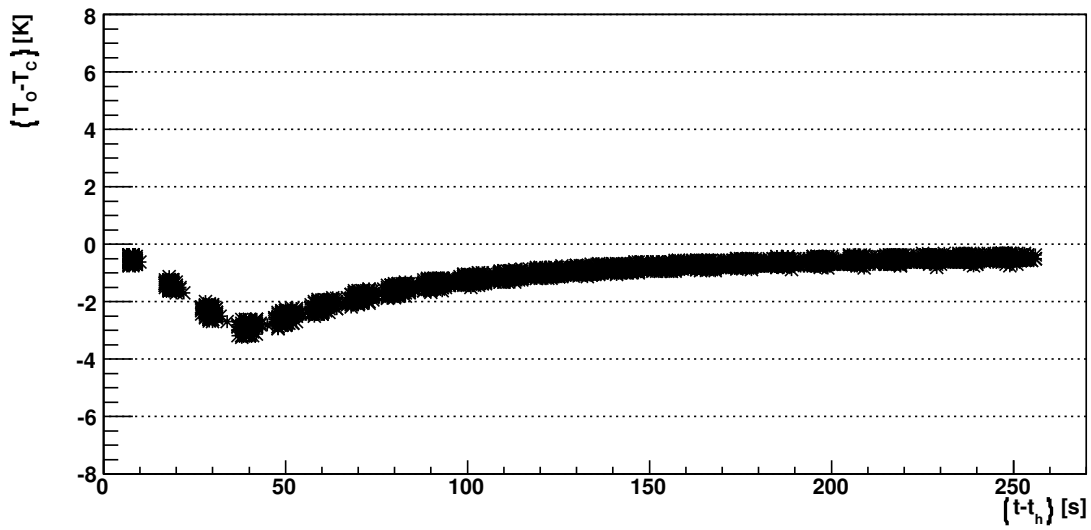


Valve 43: OpenMaxtemp - CloseMaxtemp

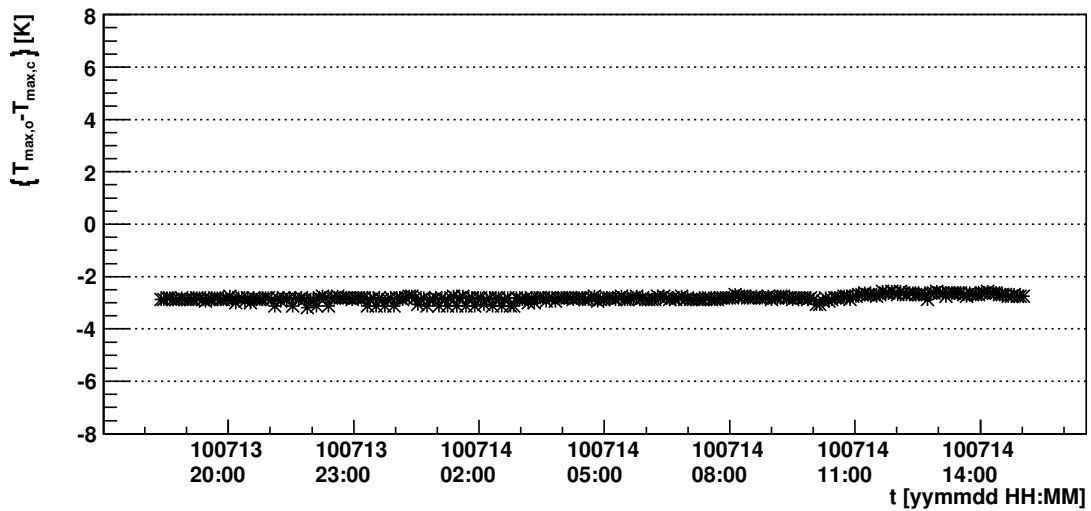


hMaxDiff	
Entries	289
Mean	-4.76
RMS	0.1694

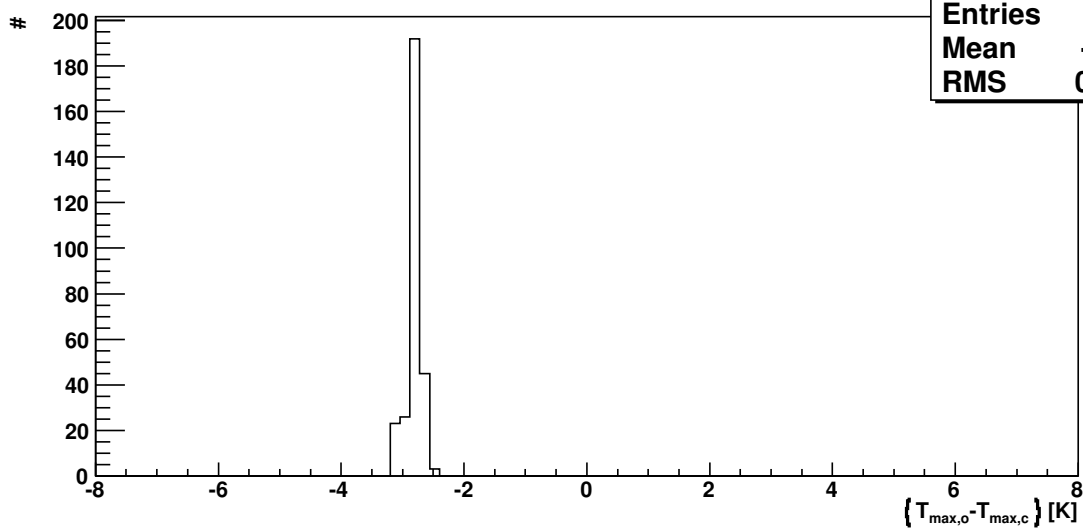
Valve 44: Opentemp - Closetemp



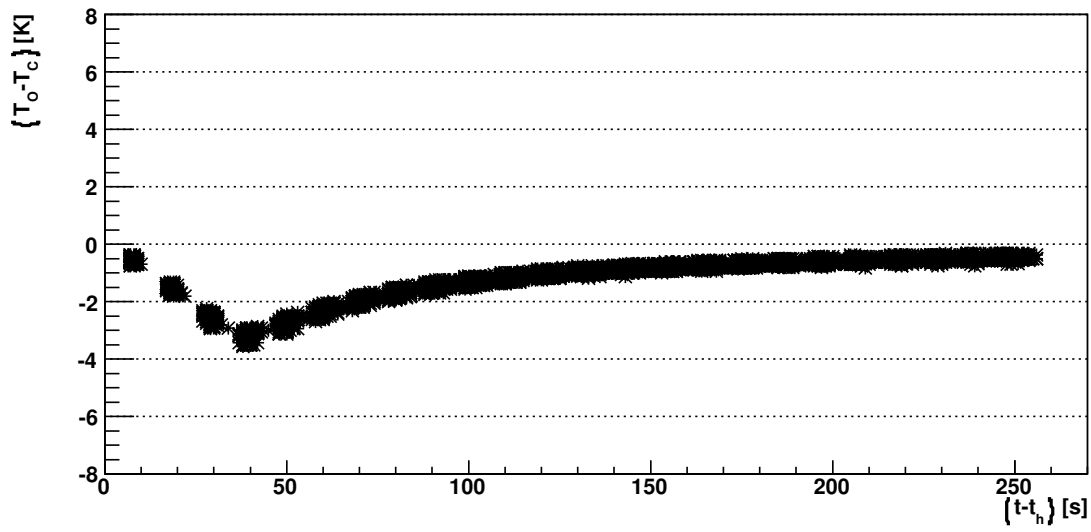
Valve 44: OpenMaxtemp - CloseMaxtemp



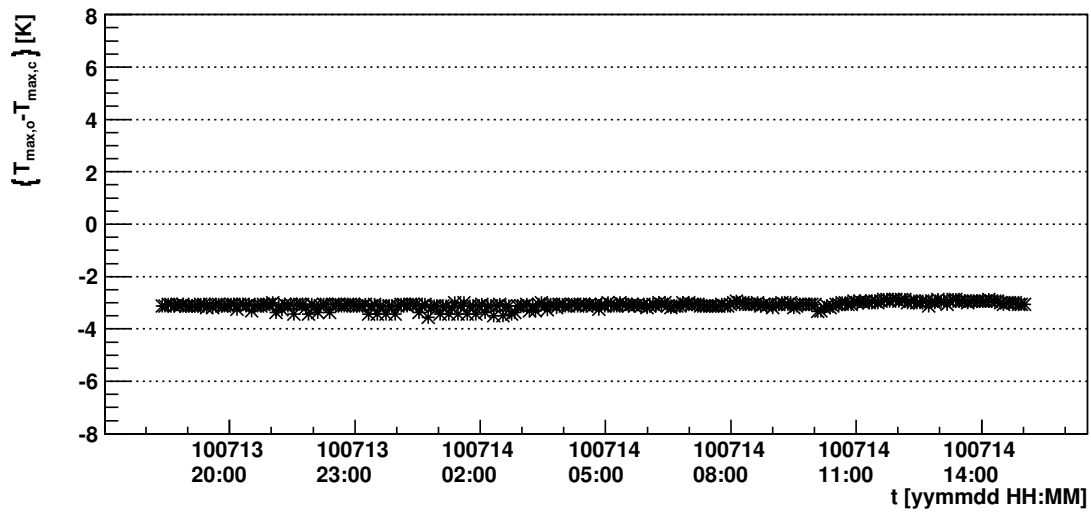
Valve 44: OpenMaxtemp - CloseMaxtemp



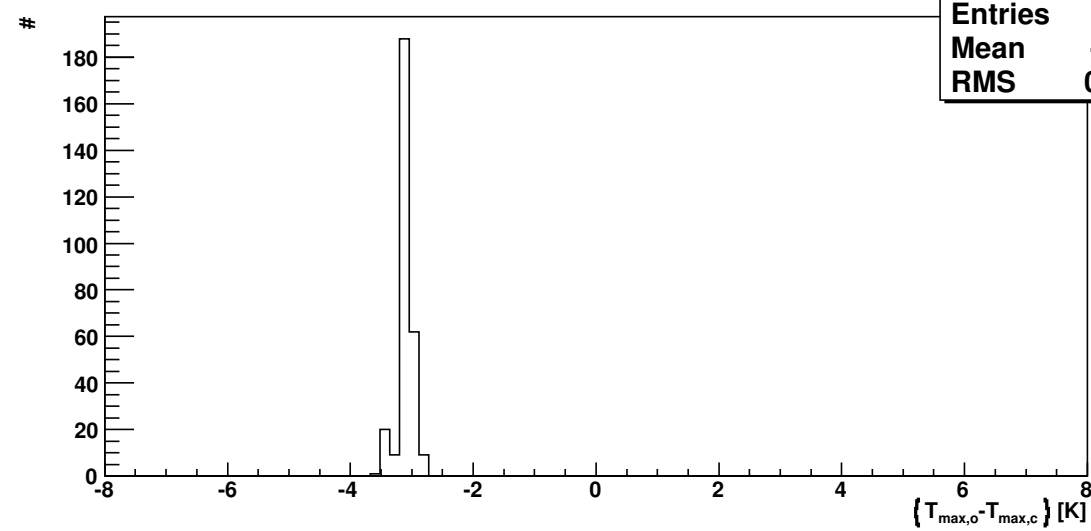
Valve 45: Opentemp - Closetemp



Valve 45: OpenMaxtemp - CloseMaxtemp

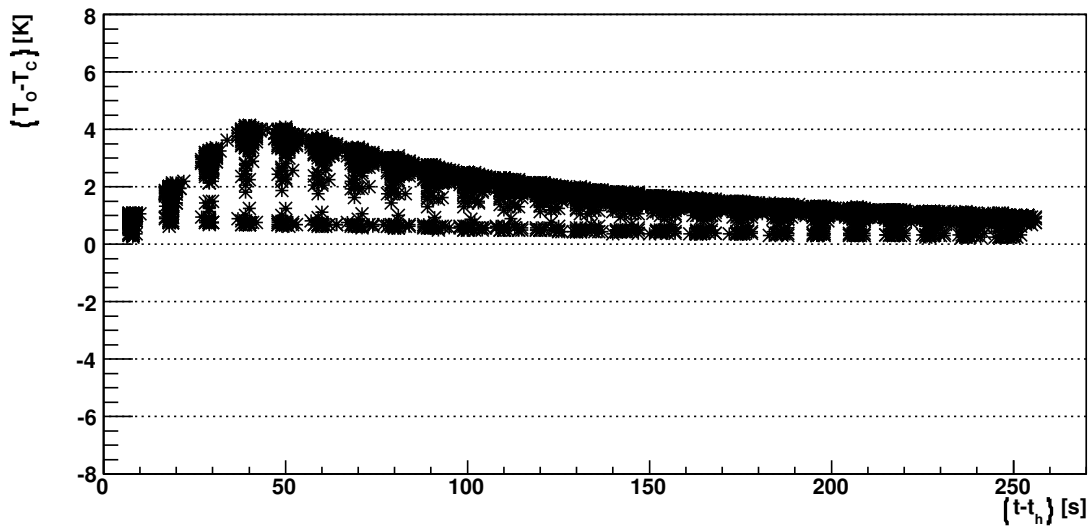


Valve 45: OpenMaxtemp - CloseMaxtemp

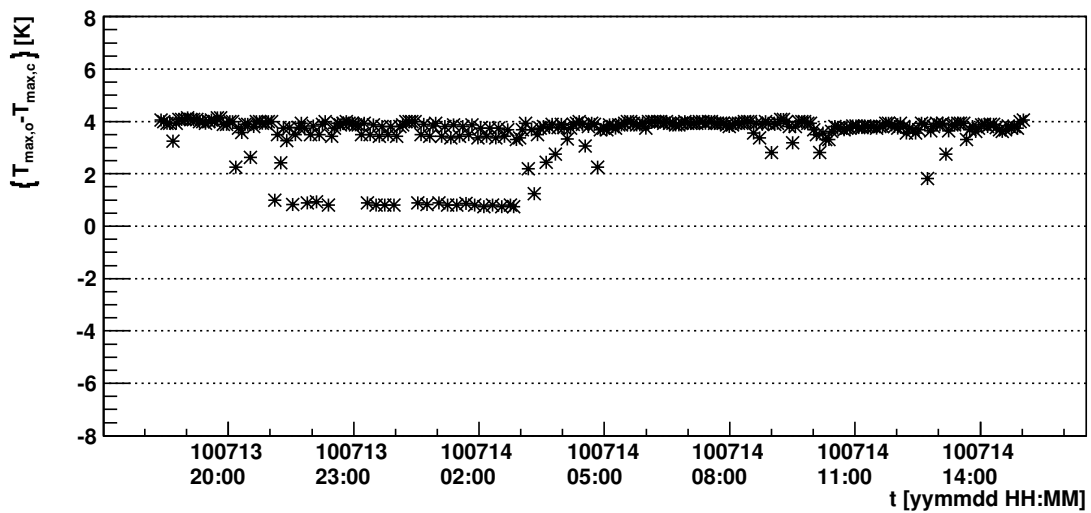


hMaxDiff	
Entries	289
Mean	-3.094
RMS	0.1255

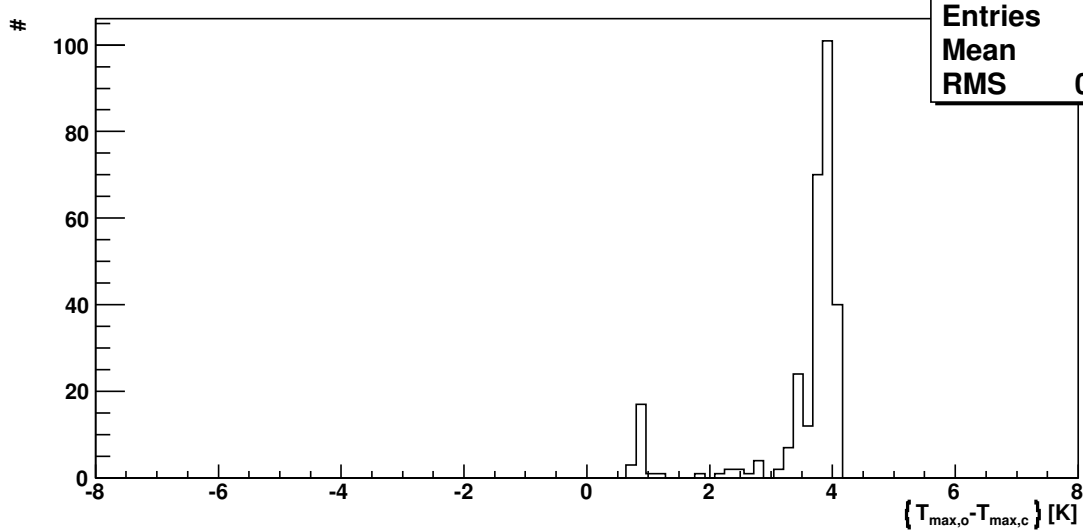
Valve 46: Opentemp - Closetemp



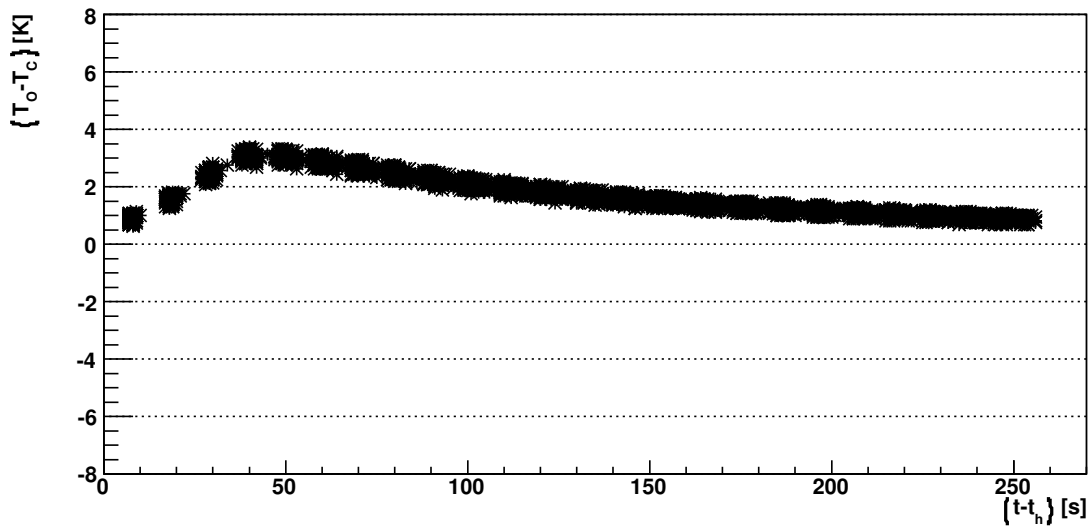
Valve 46: OpenMaxtemp - CloseMaxtemp



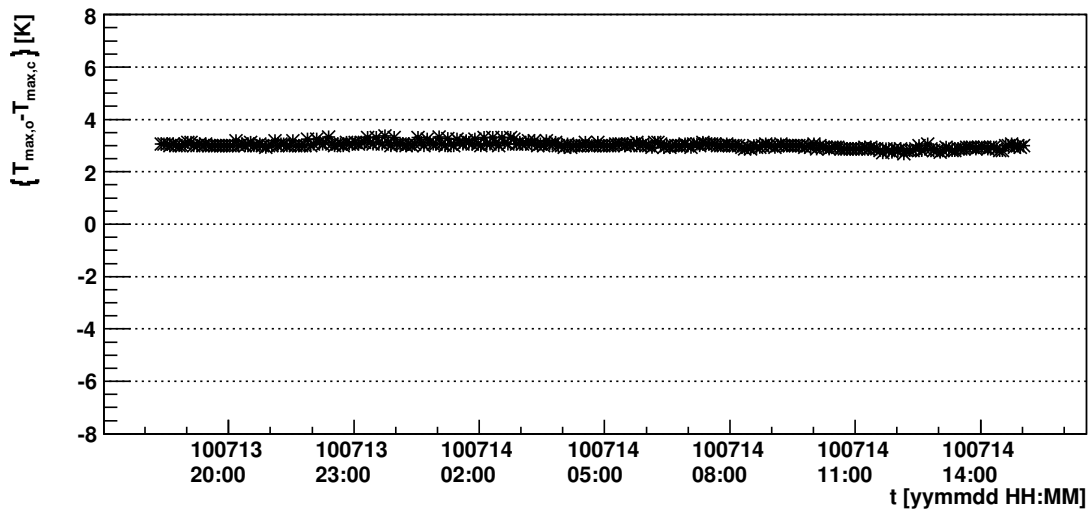
Valve 46: OpenMaxtemp - CloseMaxtemp



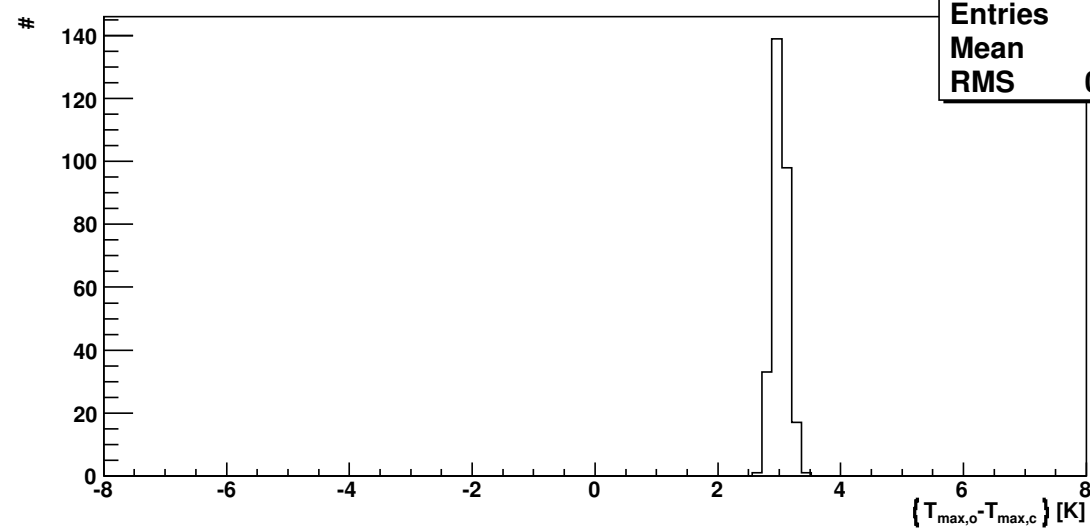
Valve 47: Opentemp - Closetemp



Valve 47: OpenMaxtemp - CloseMaxtemp

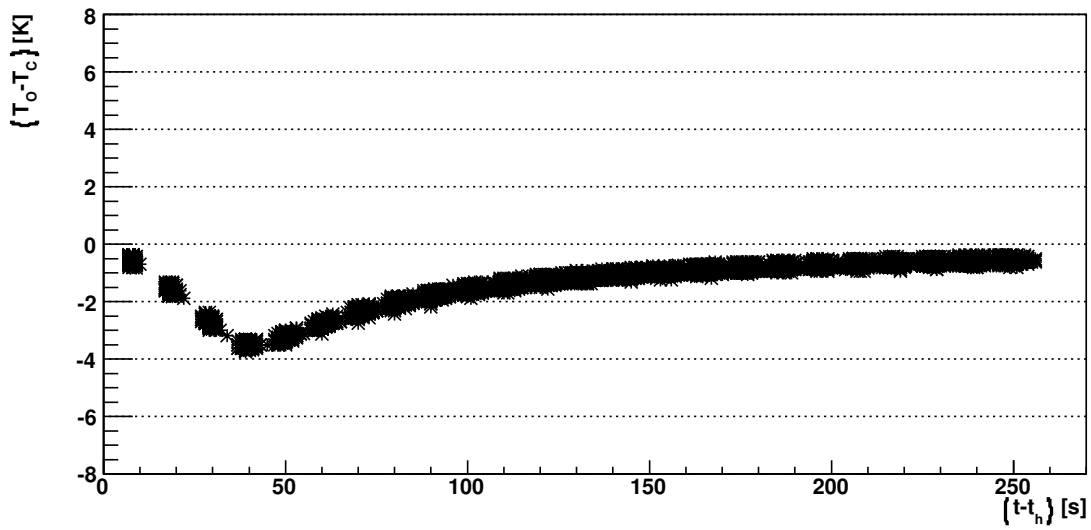


Valve 47: OpenMaxtemp - CloseMaxtemp

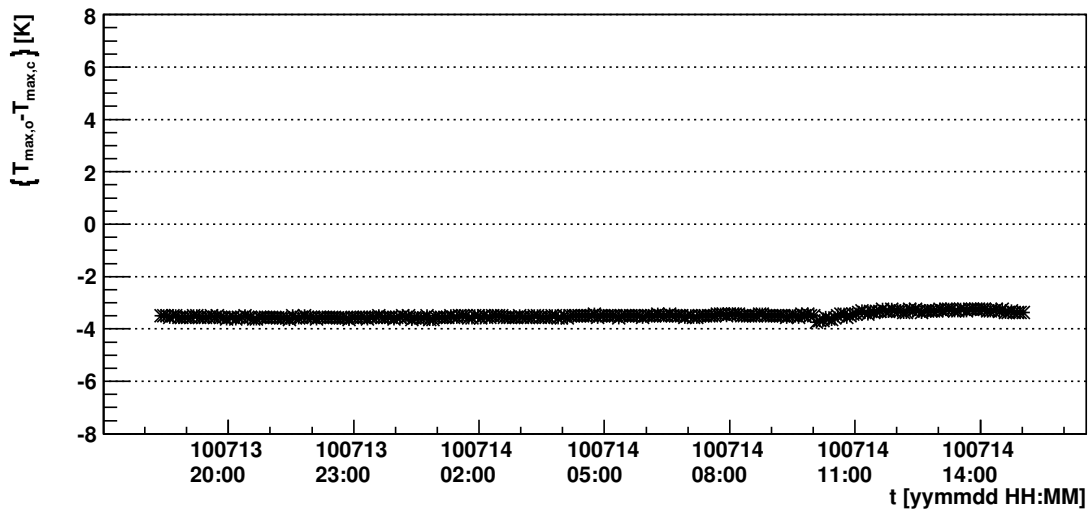


hMaxDiff	
Entries	289
Mean	3.016
RMS	0.1134

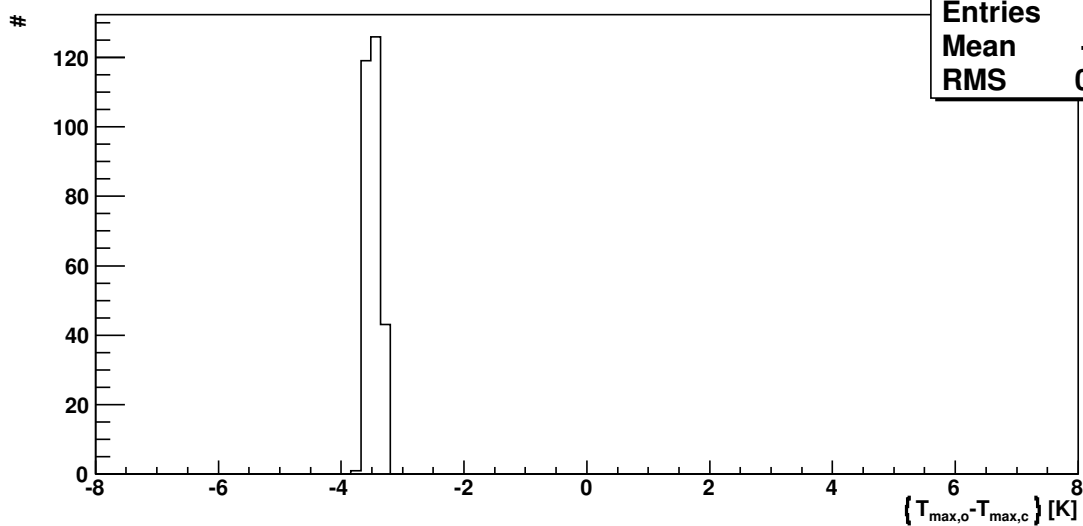
Valve 51: Opentemp - Closetemp



Valve 51: OpenMaxtemp - CloseMaxtemp

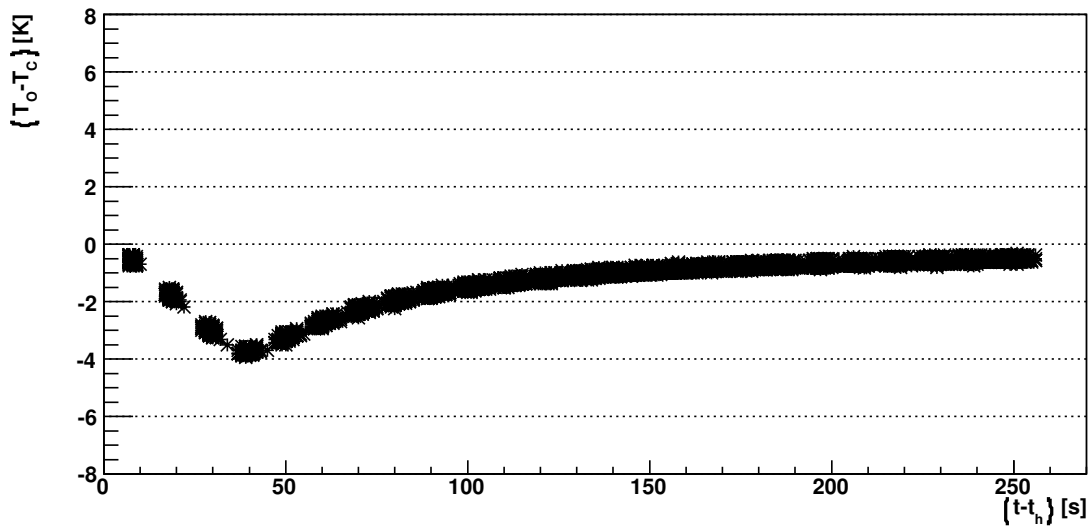


Valve 51: OpenMaxtemp - CloseMaxtemp

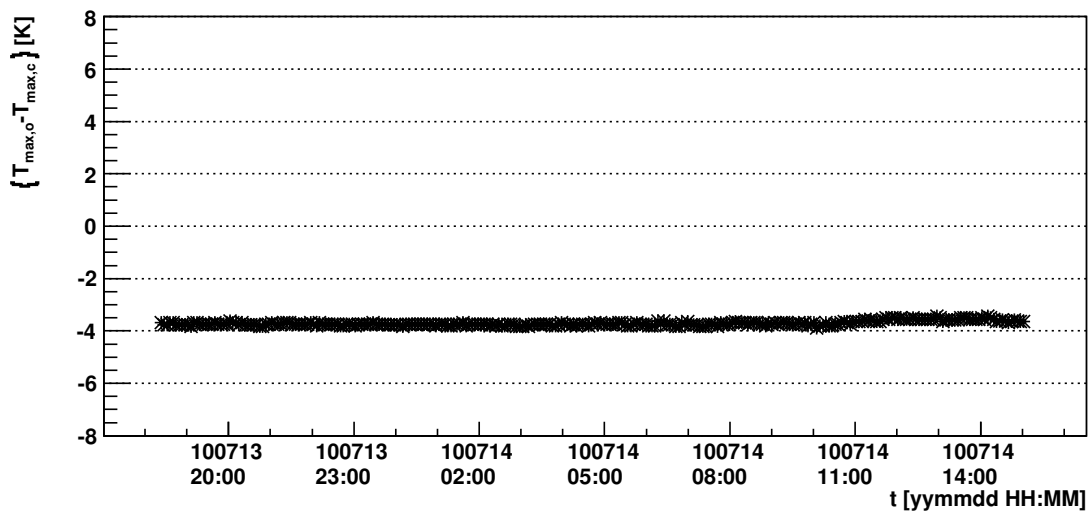


hMaxDiff	
Entries	289
Mean	-3.489
RMS	0.1017

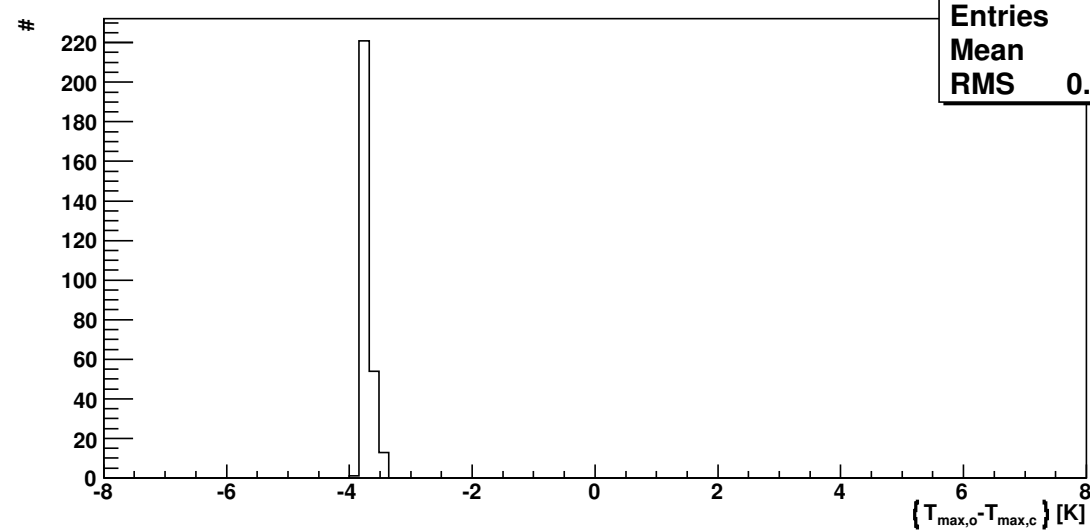
Valve 52: Opentemp - Closetemp



Valve 52: OpenMaxtemp - CloseMaxtemp

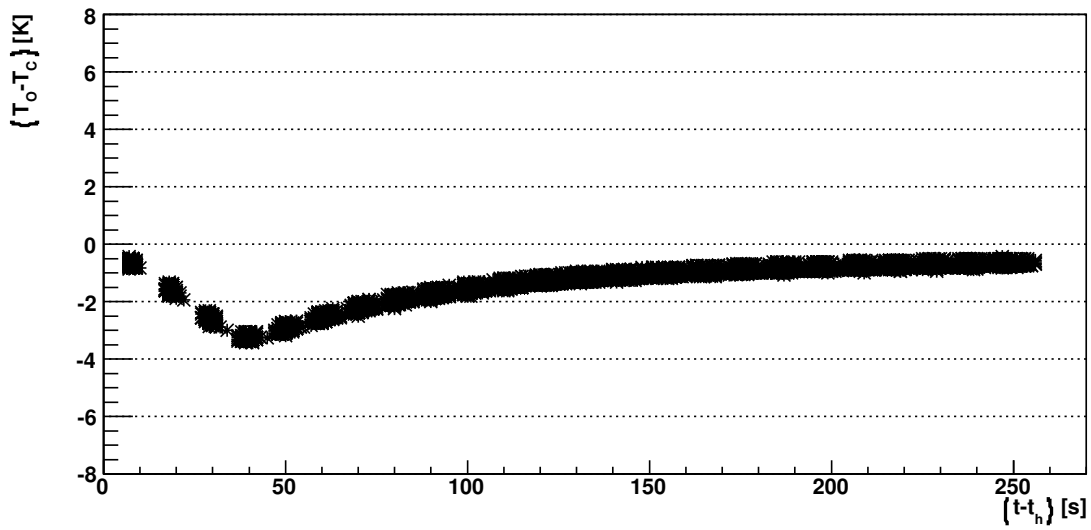


Valve 52: OpenMaxtemp - CloseMaxtemp

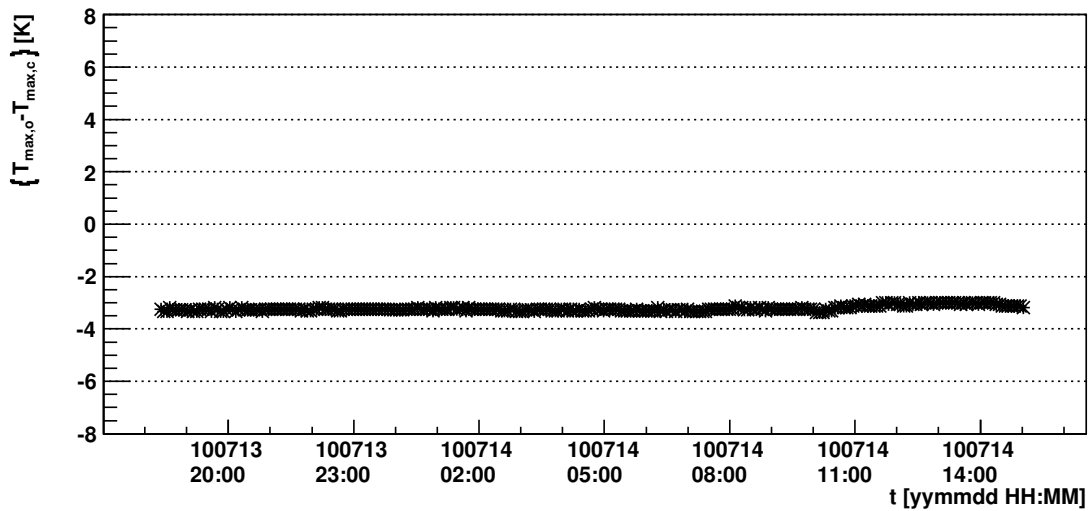


hMaxDiff	
Entries	289
Mean	-3.711
RMS	0.08603

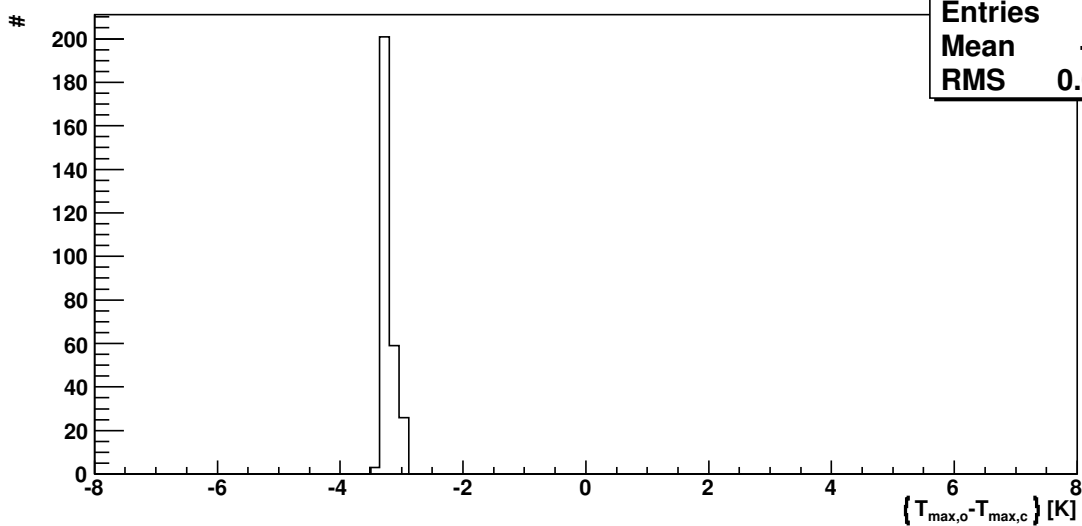
Valve 53: Opentemp - Closetemp



Valve 53: OpenMaxtemp - CloseMaxtemp

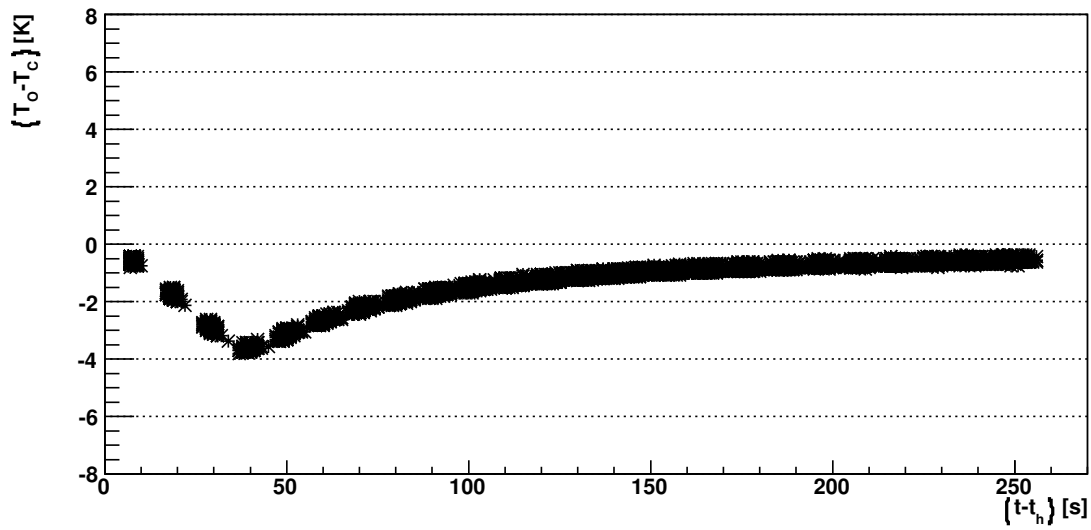


Valve 53: OpenMaxtemp - CloseMaxtemp

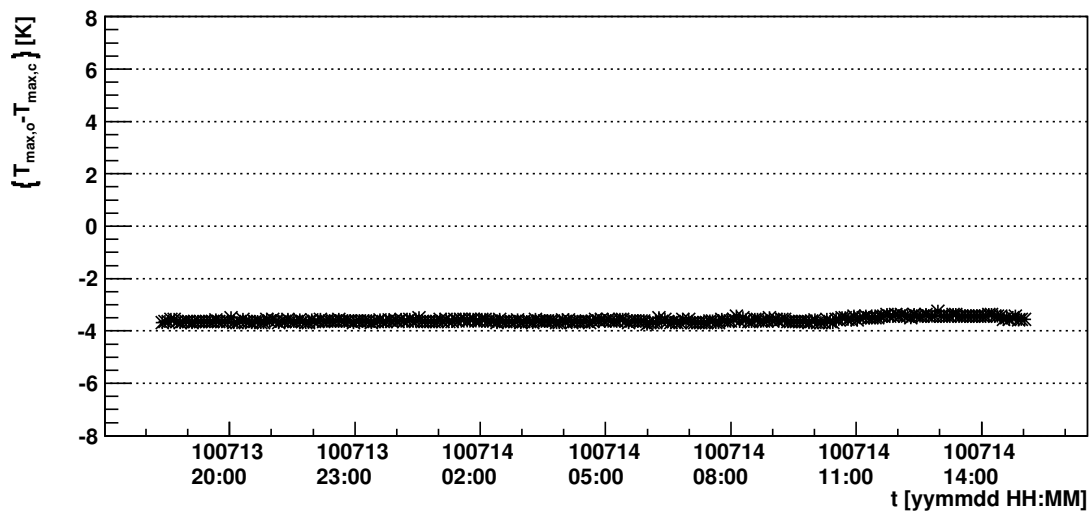


hMaxDiff	
Entries	289
Mean	-3.219
RMS	0.09365

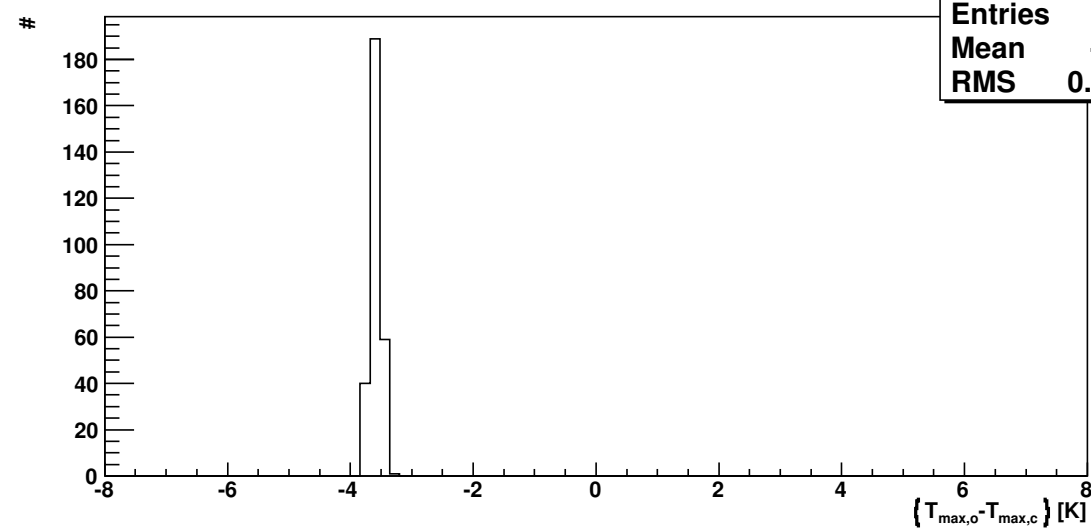
Valve 54: Opentemp - Closetemp



Valve 54: OpenMaxtemp - CloseMaxtemp

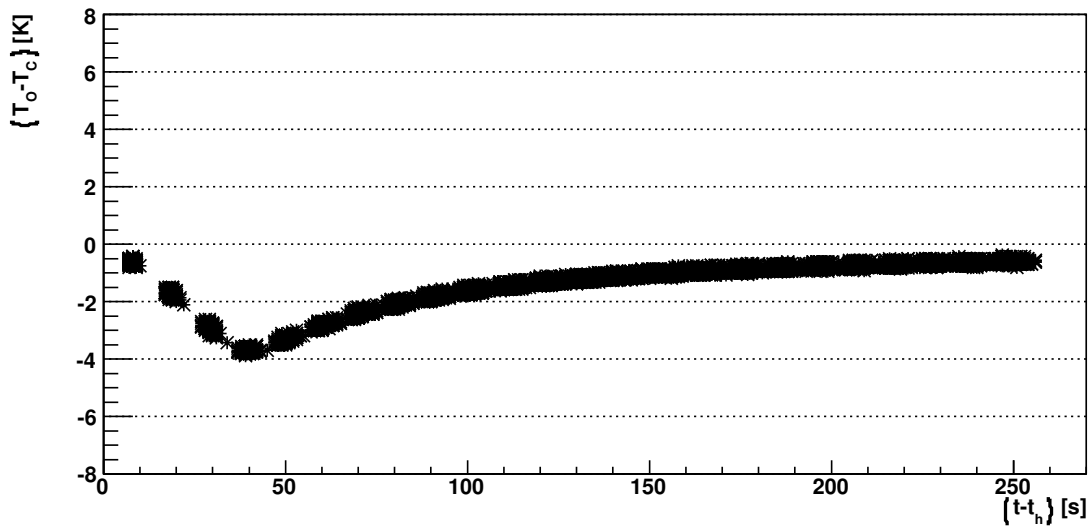


Valve 54: OpenMaxtemp - CloseMaxtemp

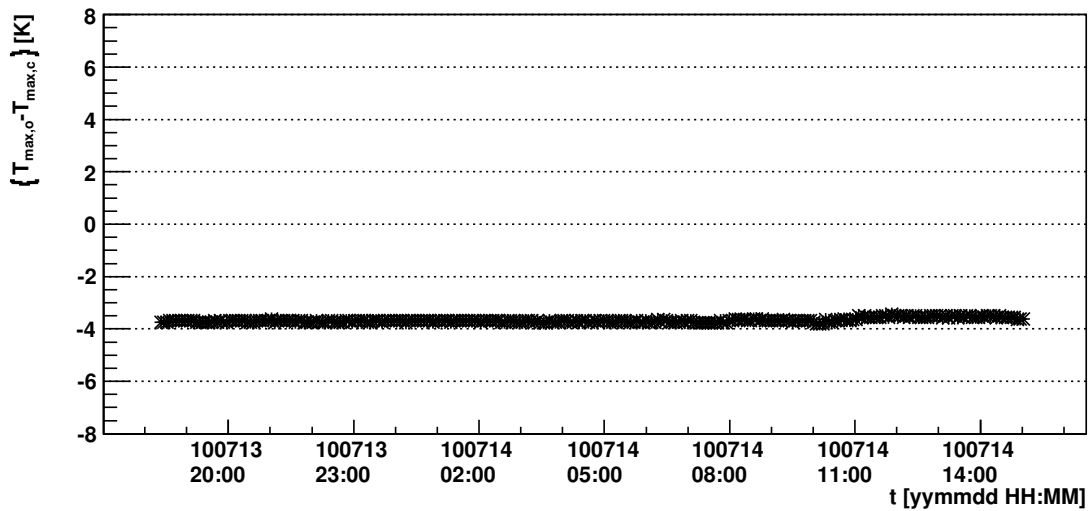


hMaxDiff	
Entries	289
Mean	-3.584
RMS	0.08448

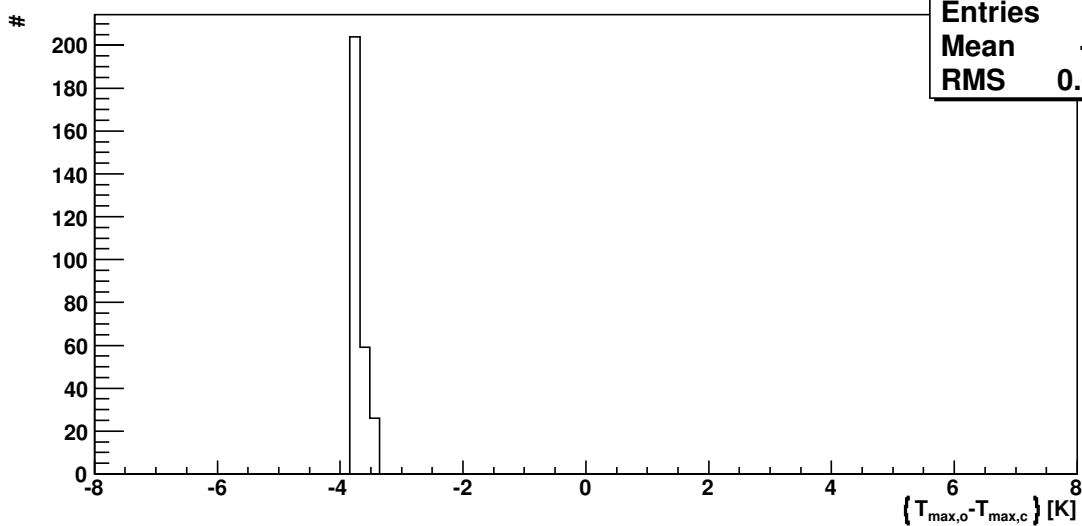
Valve 55: Opentemp - Closetemp



Valve 55: OpenMaxtemp - CloseMaxtemp

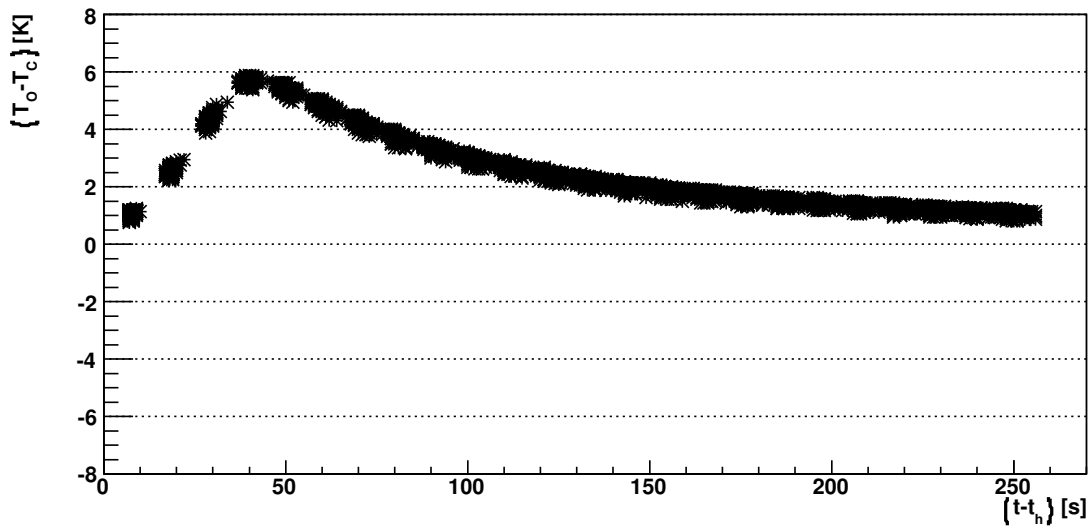


Valve 55: OpenMaxtemp - CloseMaxtemp

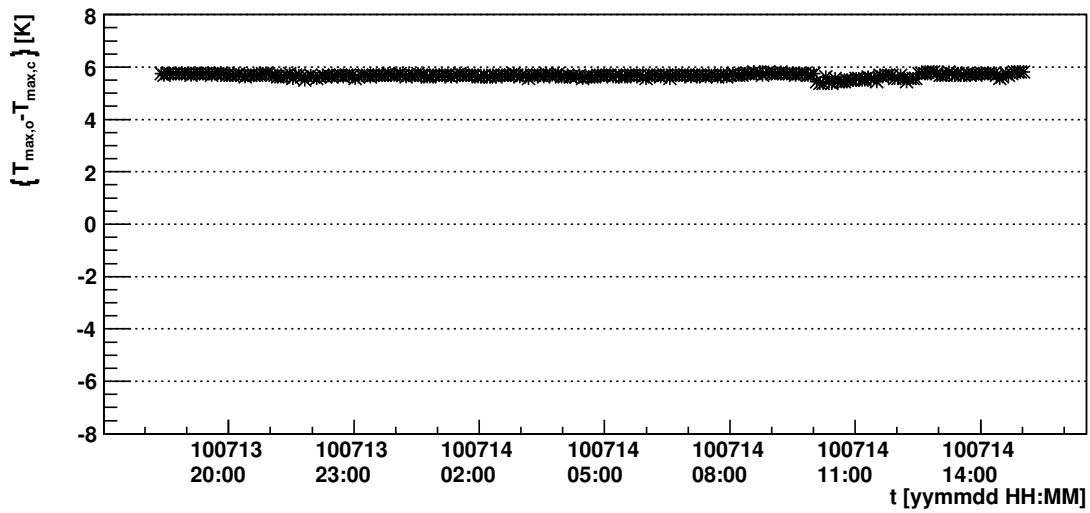


hMaxDiff	
Entries	289
Mean	-3.675
RMS	0.07874

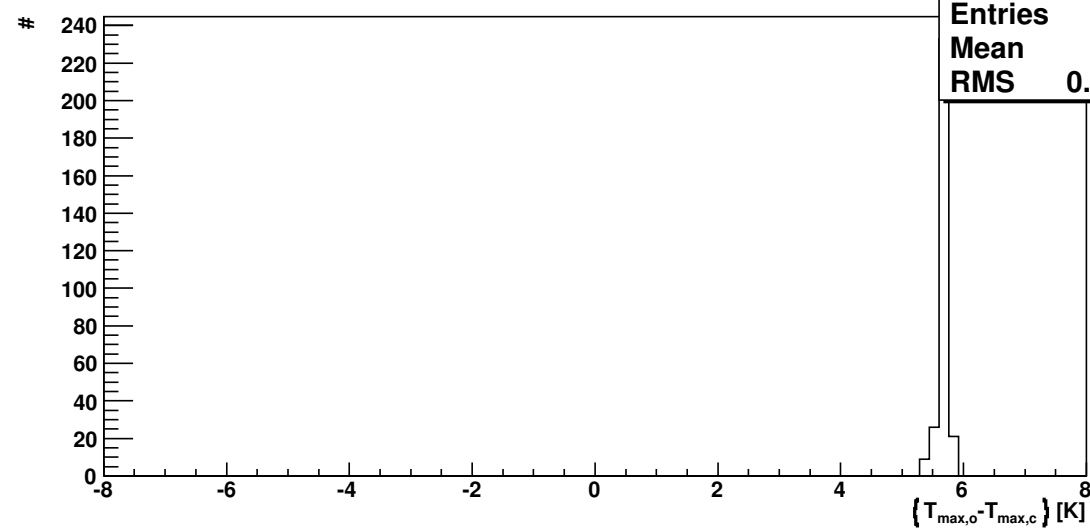
Valve 56: Opentemp - Closetemp



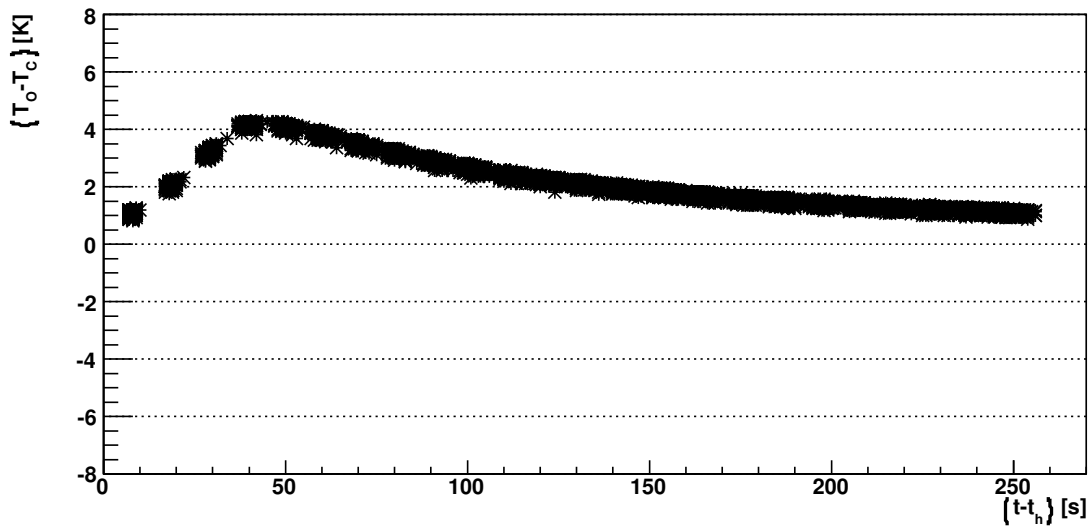
Valve 56: OpenMaxtemp - CloseMaxtemp



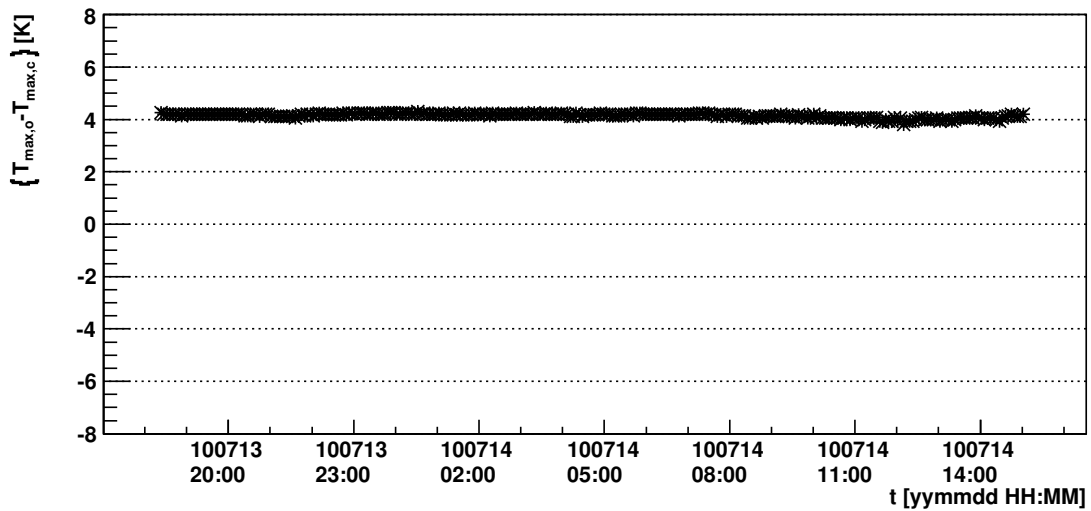
Valve 56: OpenMaxtemp - CloseMaxtemp



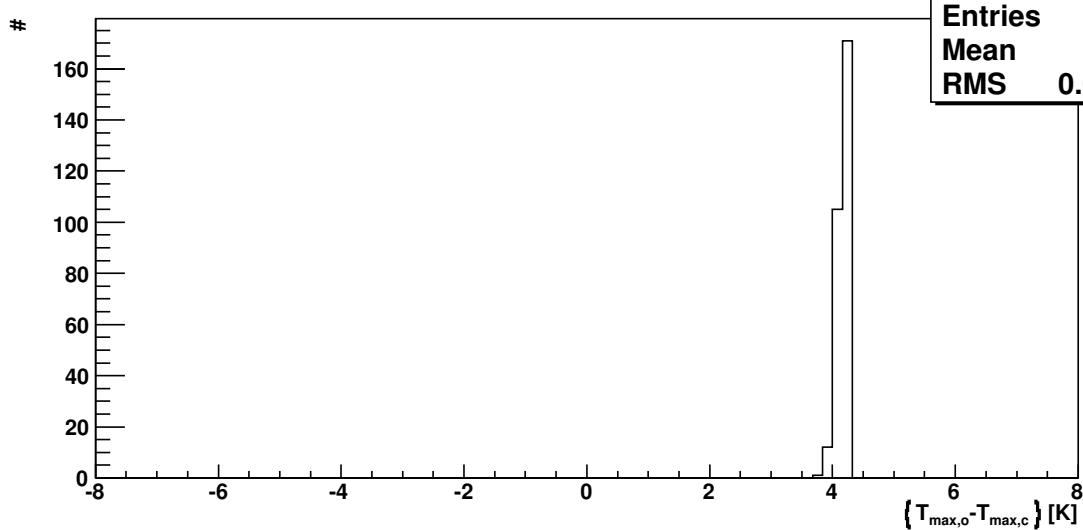
Valve 57: Opentemp - Closetemp



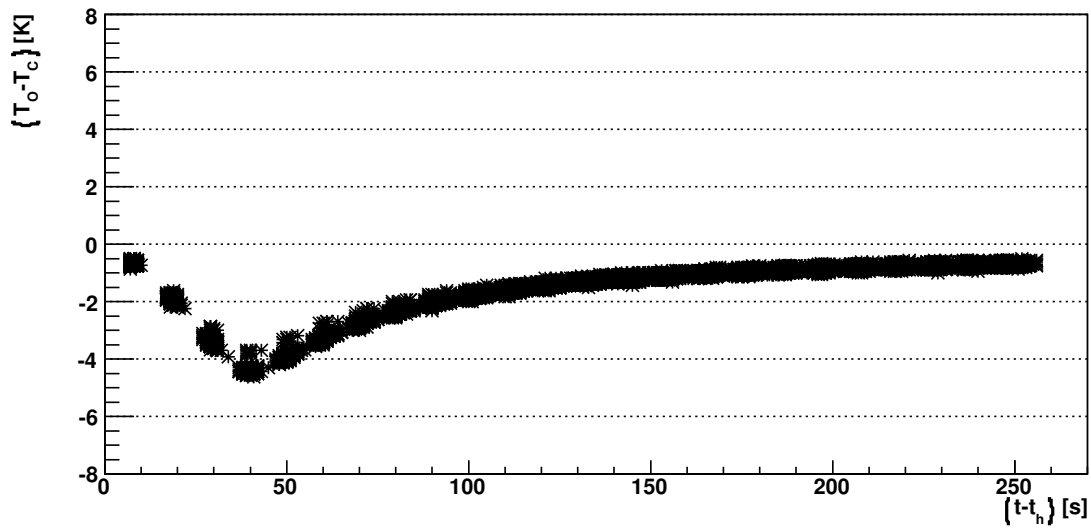
Valve 57: OpenMaxtemp - CloseMaxtemp



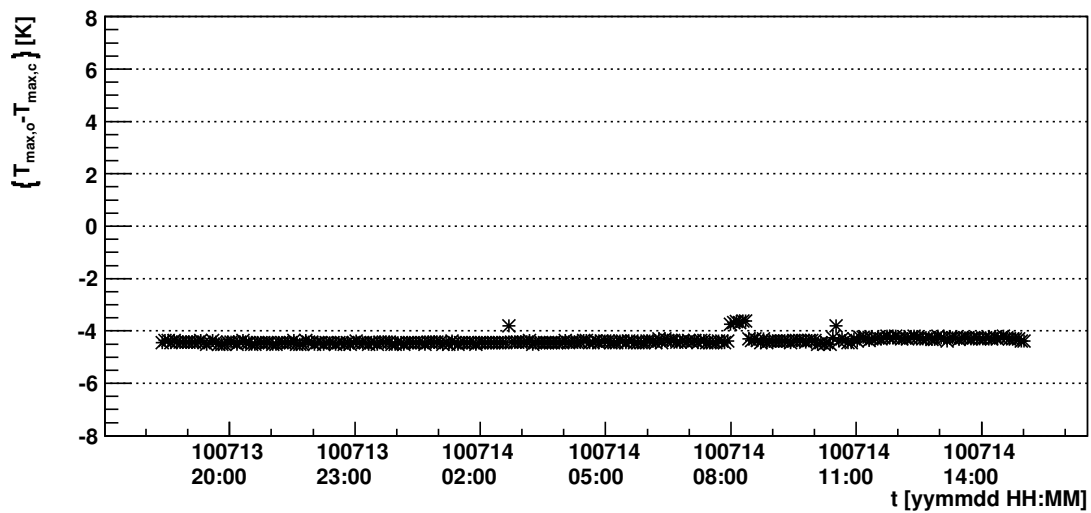
Valve 57: OpenMaxtemp - CloseMaxtemp



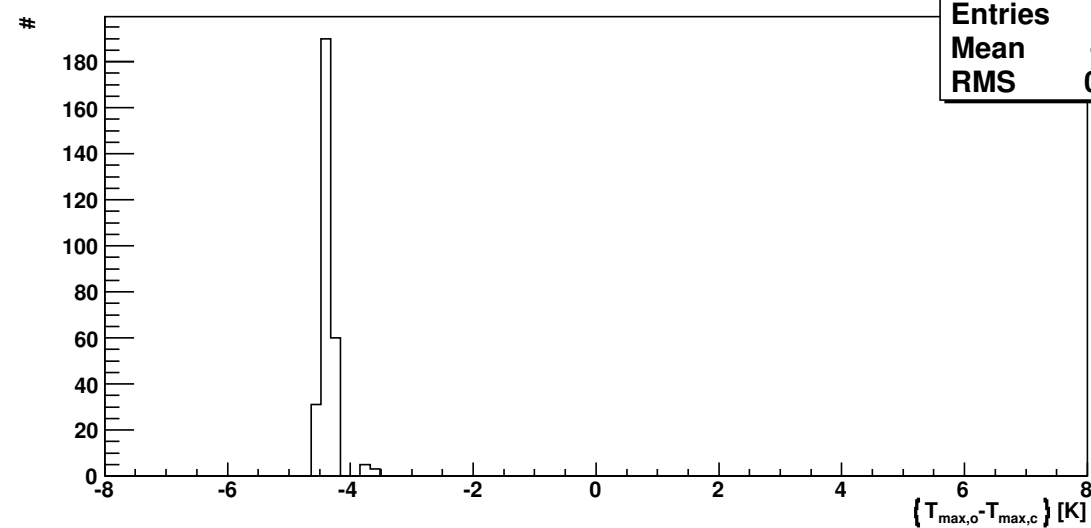
Valve 61: Opentemp - Closetemp



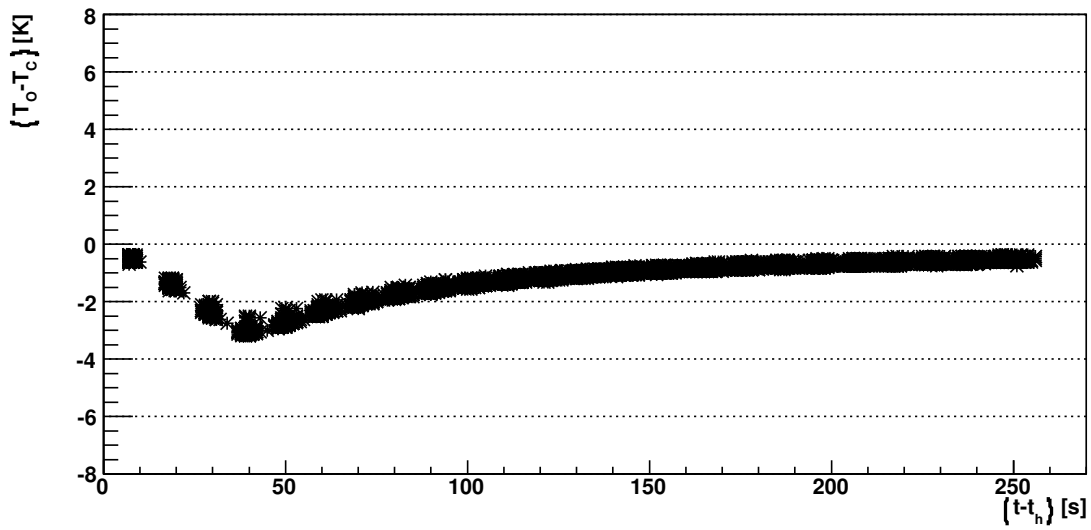
Valve 61: OpenMaxtemp - CloseMaxtemp



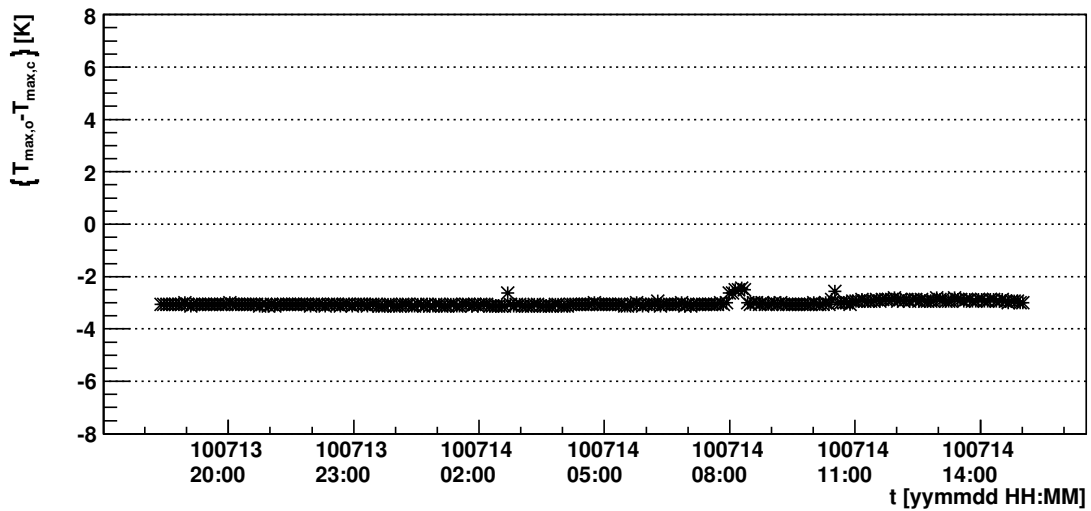
Valve 61: OpenMaxtemp - CloseMaxtemp



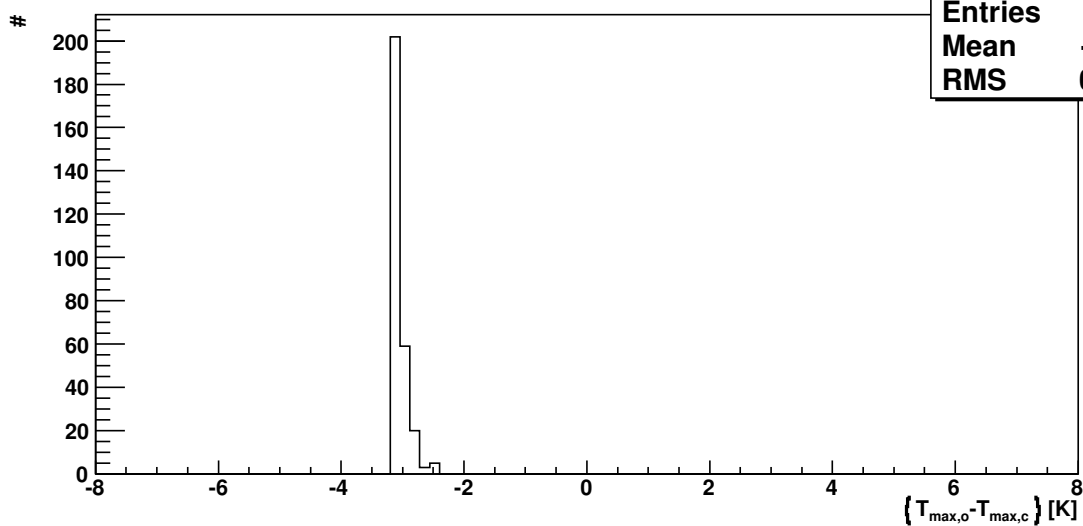
Valve 62: Opentemp - Closetemp



Valve 62: OpenMaxtemp - CloseMaxtemp

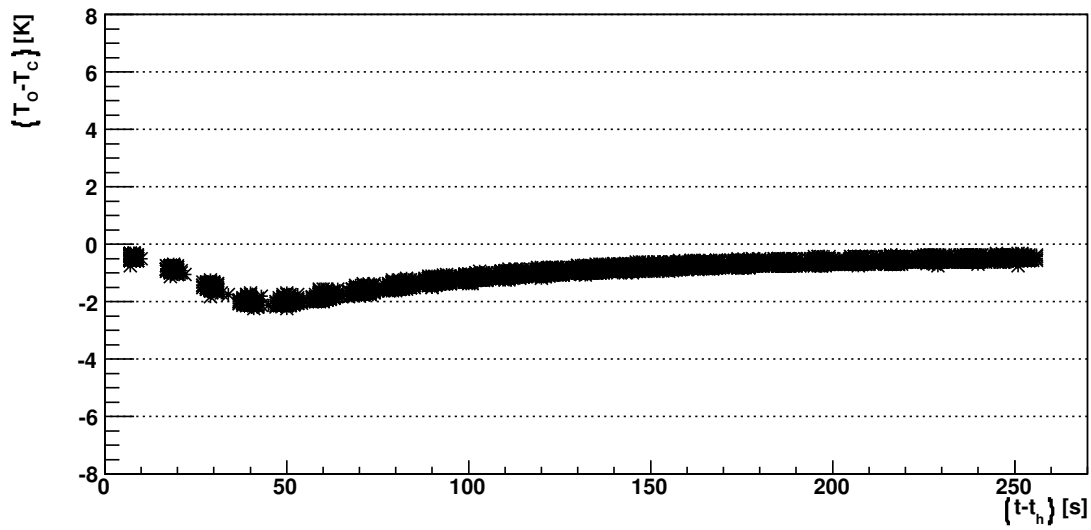


Valve 62: OpenMaxtemp - CloseMaxtemp

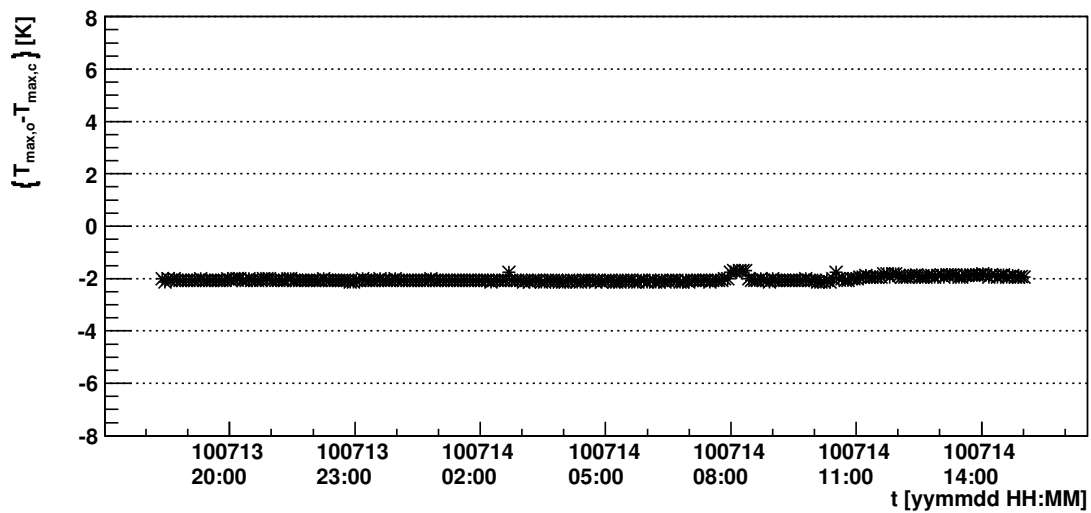


hMaxDiff	
Entries	289
Mean	-3.024
RMS	0.1101

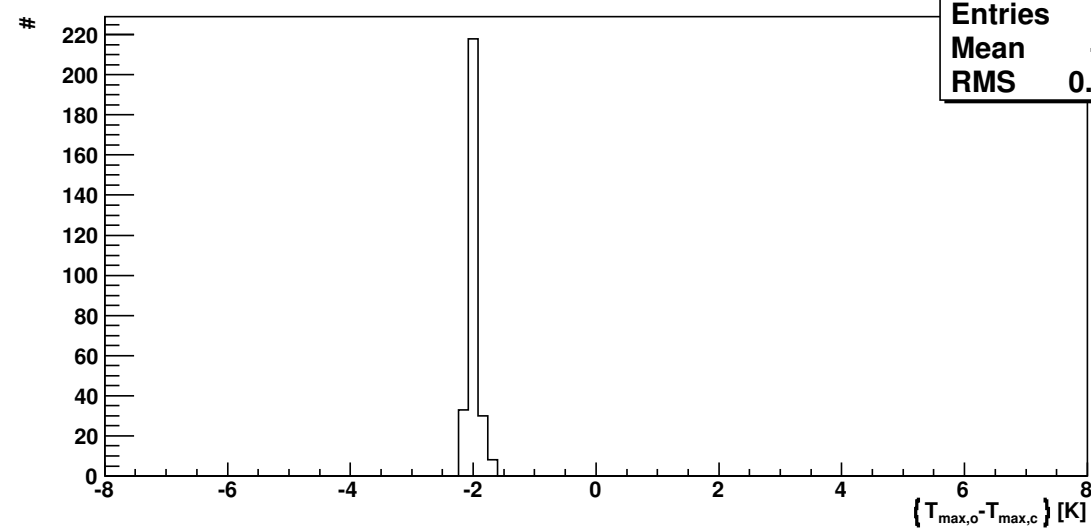
Valve 63: Opentemp - Closetemp



Valve 63: OpenMaxtemp - CloseMaxtemp

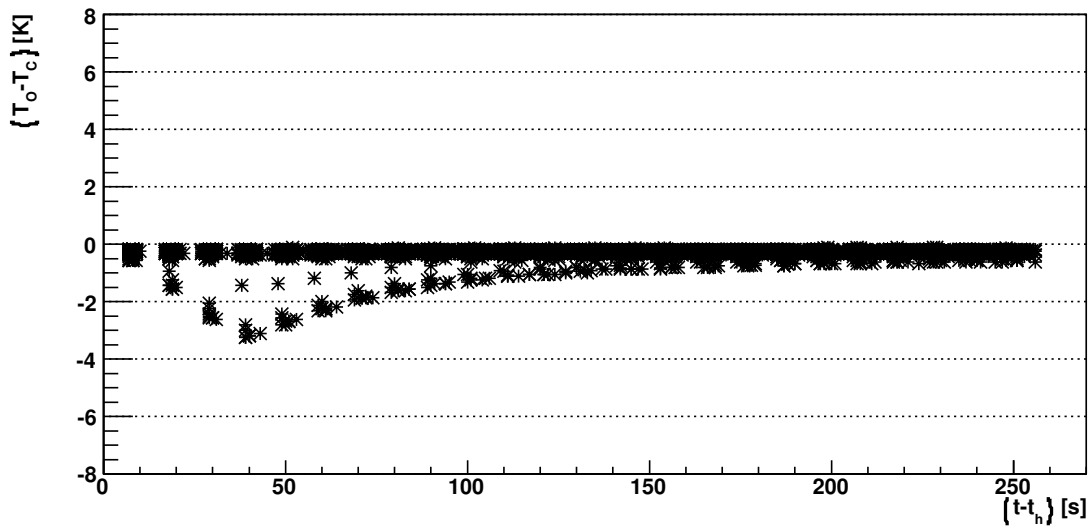


Valve 63: OpenMaxtemp - CloseMaxtemp

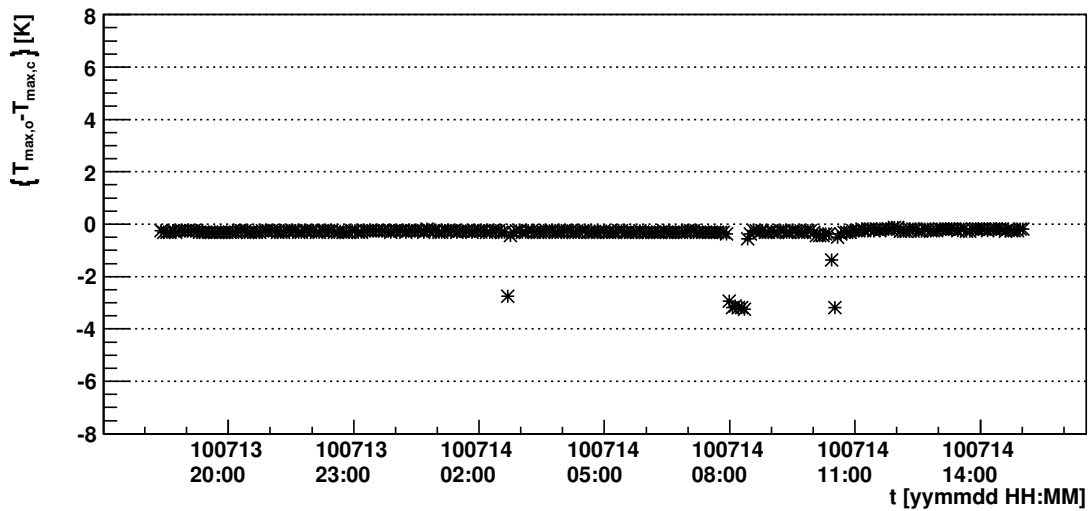


hMaxDiff	
Entries	289
Mean	-2.022
RMS	0.08932

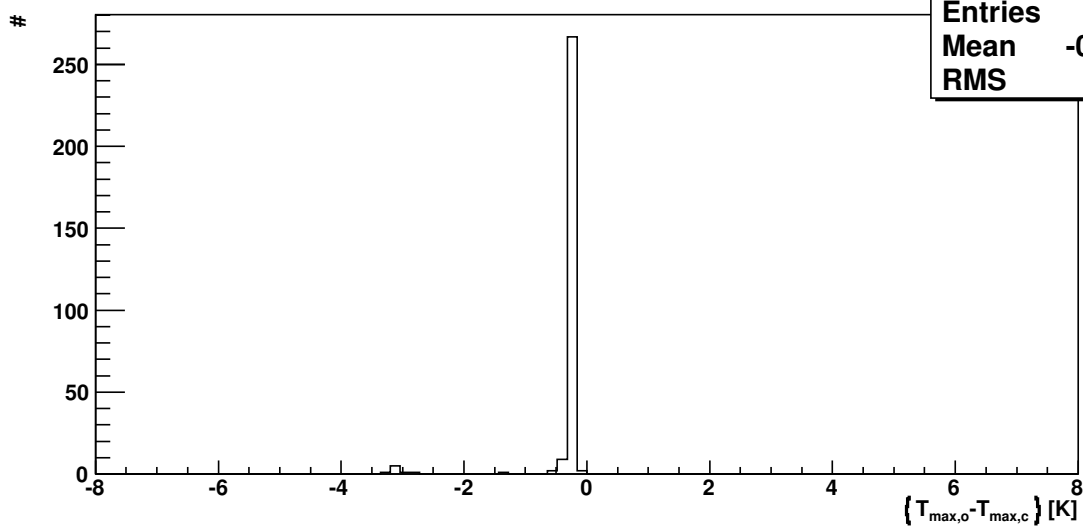
Valve 64: Opentemp - Closetemp



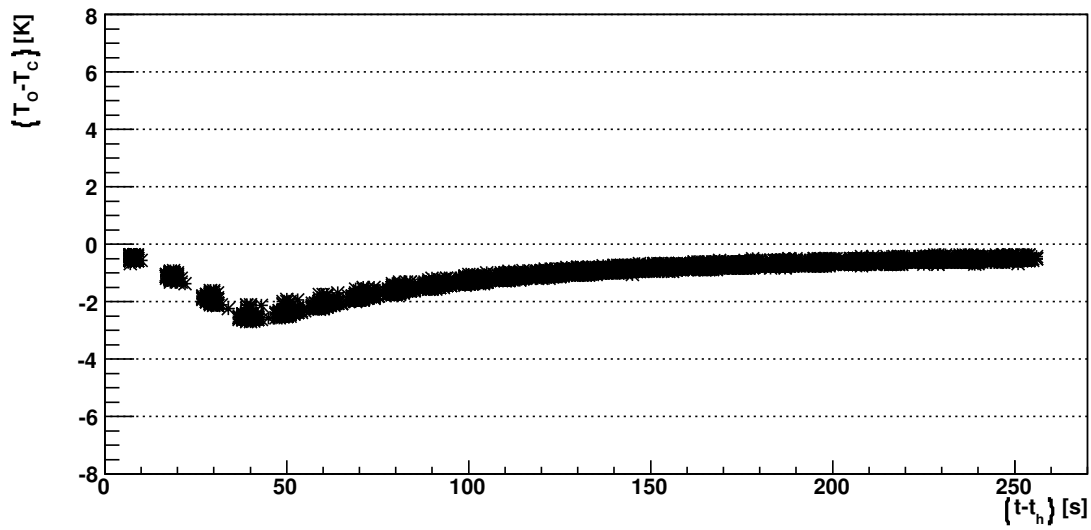
Valve 64: OpenMaxtemp - CloseMaxtemp



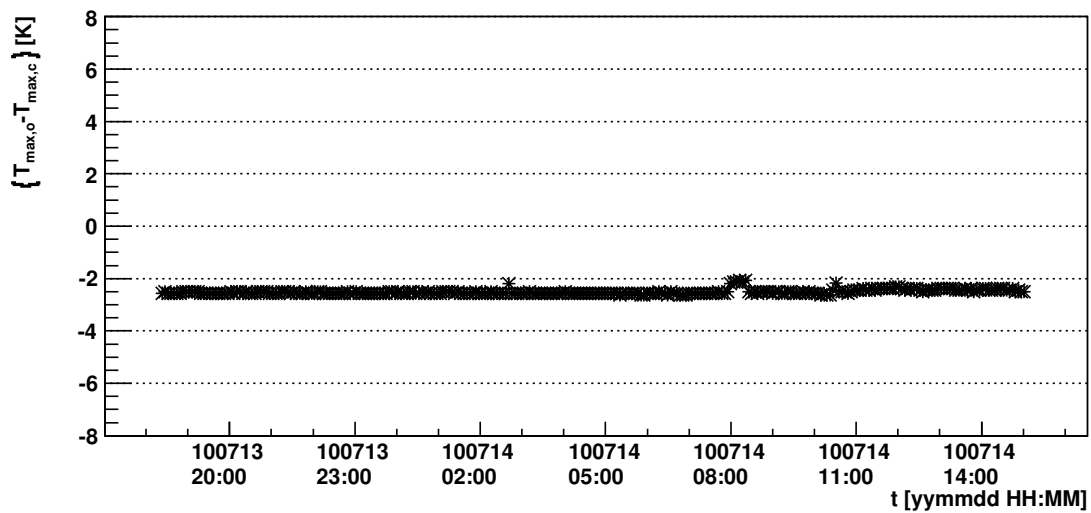
Valve 64: OpenMaxtemp - CloseMaxtemp



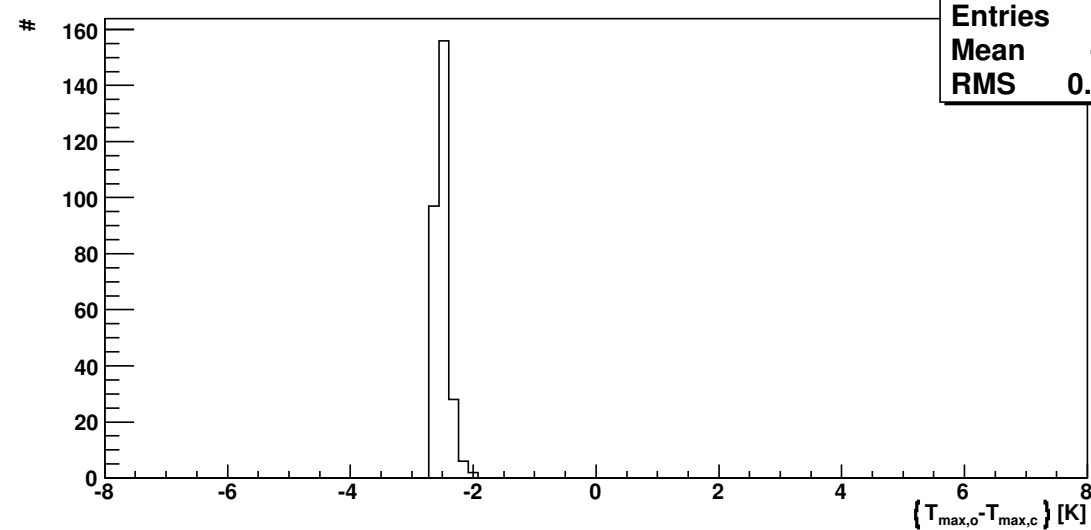
Valve 65: Opentemp - Closetemp



Valve 65: OpenMaxtemp - CloseMaxtemp

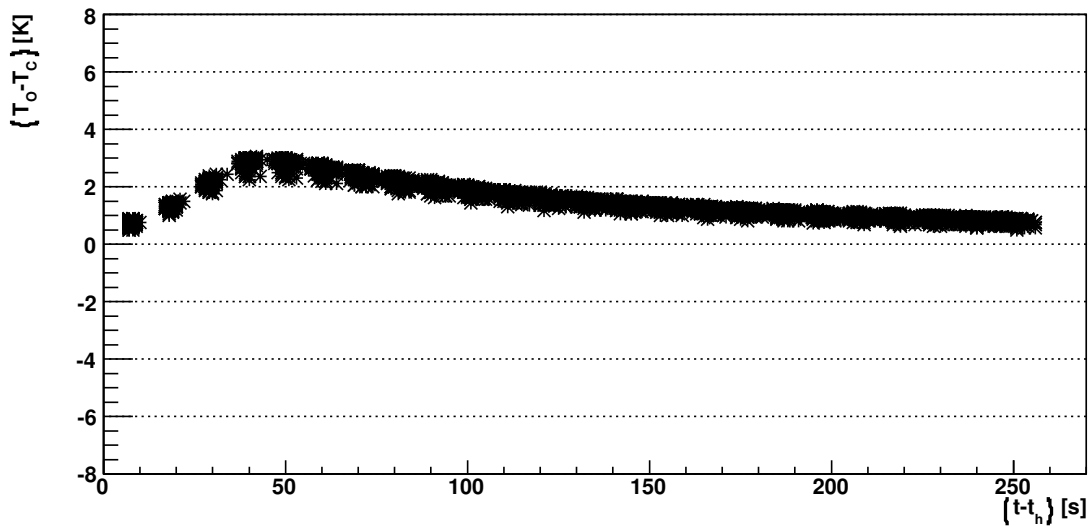


Valve 65: OpenMaxtemp - CloseMaxtemp

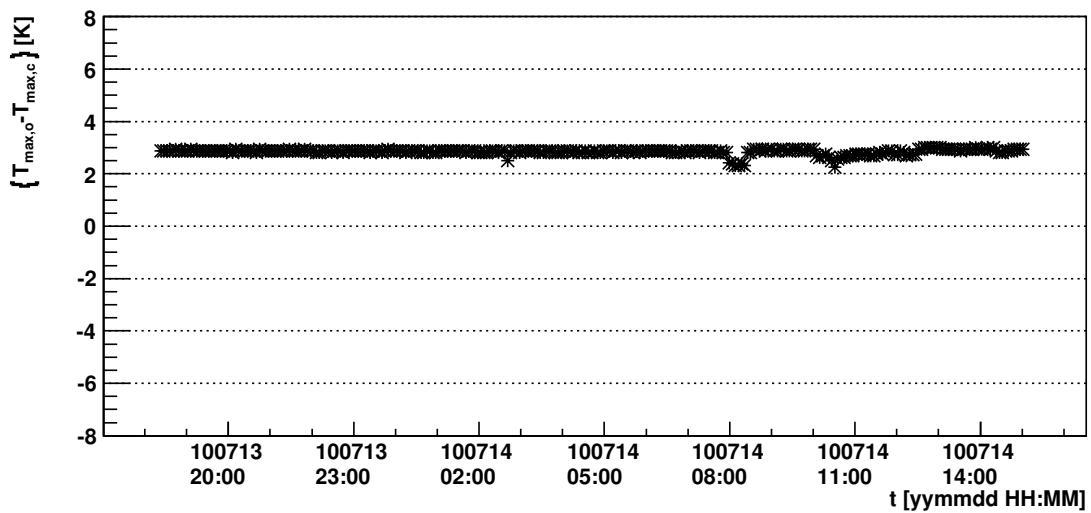


hMaxDiff	
Entries	289
Mean	-2.509
RMS	0.09205

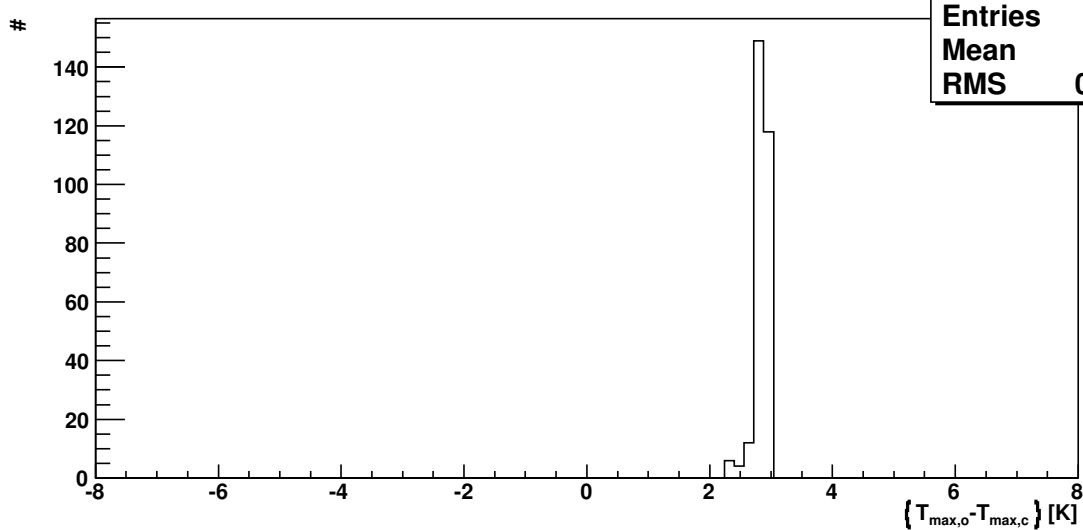
Valve 66: Opentemp - Closetemp



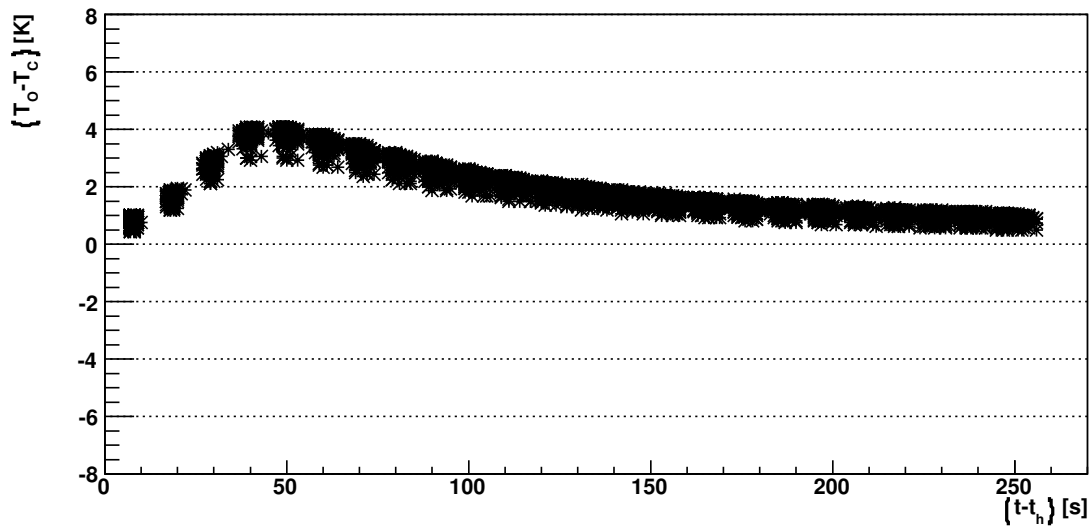
Valve 66: OpenMaxtemp - CloseMaxtemp



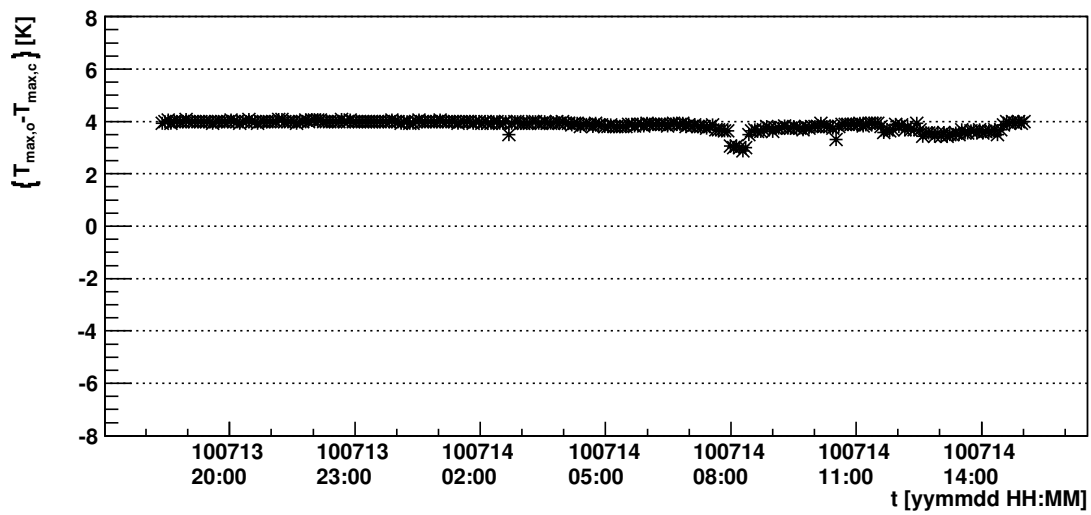
Valve 66: OpenMaxtemp - CloseMaxtemp



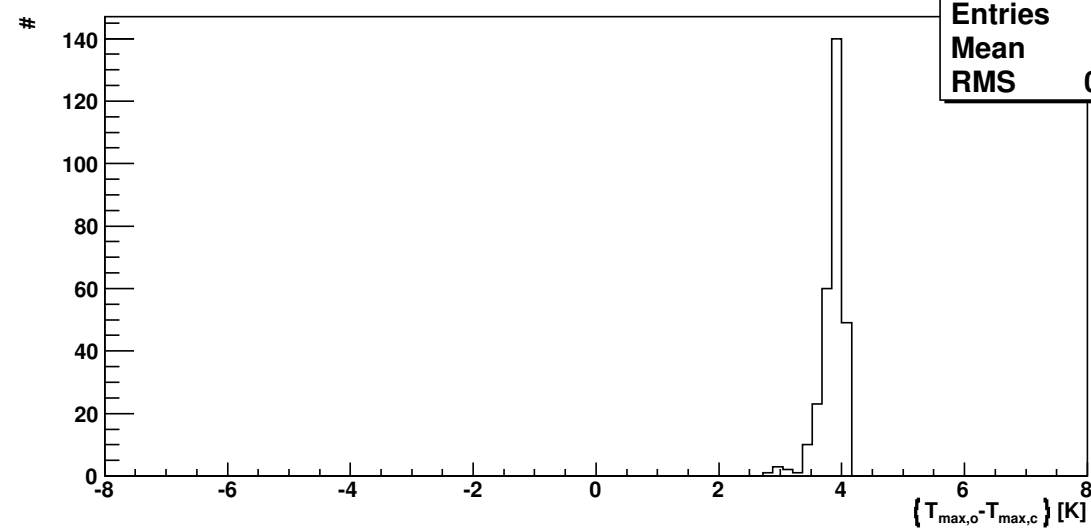
Valve 67: Opentemp - Closetemp



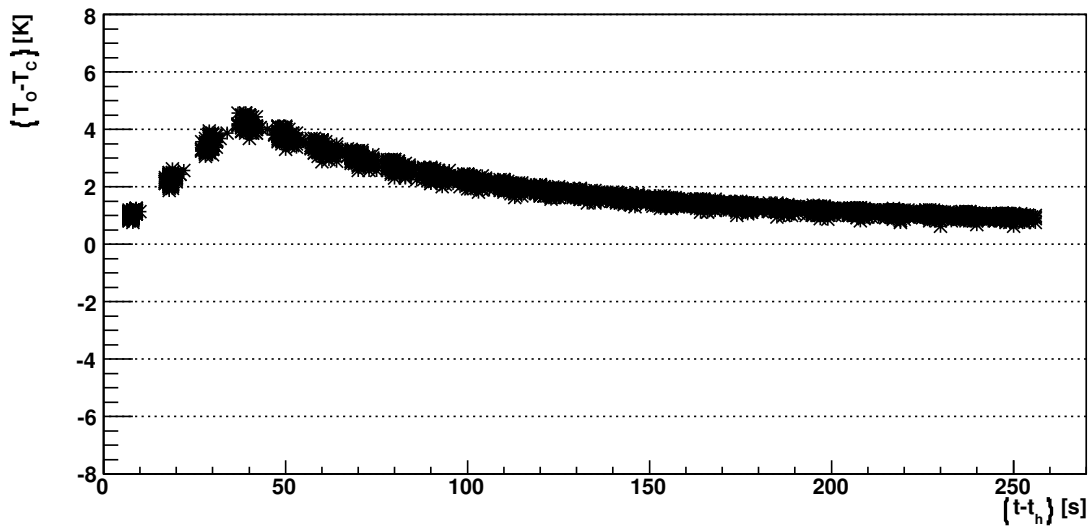
Valve 67: OpenMaxtemp - CloseMaxtemp



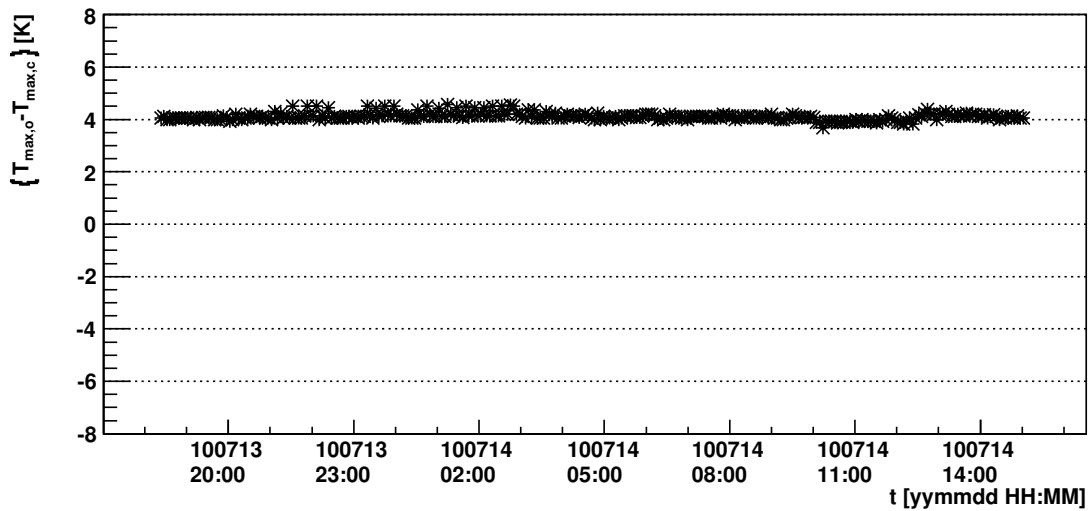
Valve 67: OpenMaxtemp - CloseMaxtemp



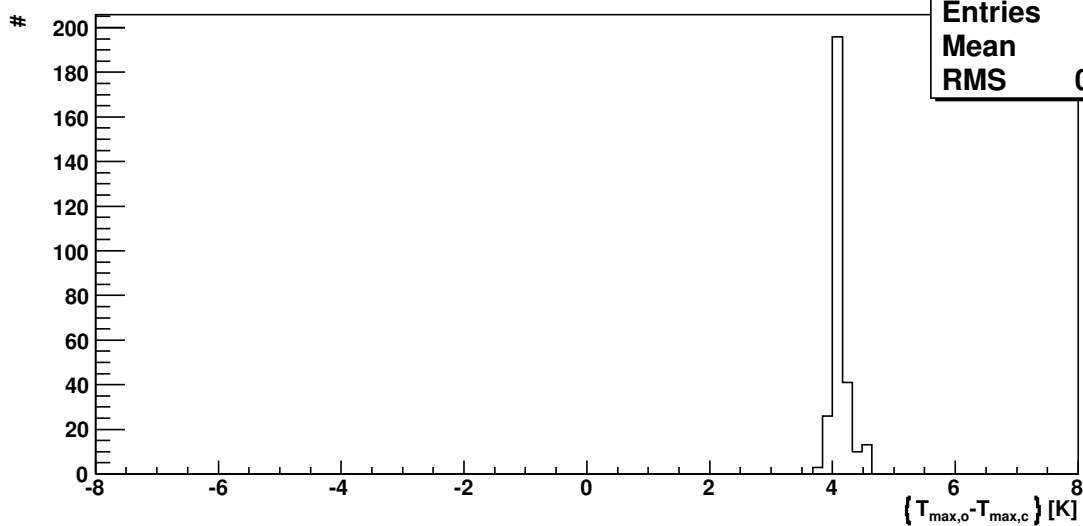
Valve 101: Opentemp - Closetemp



Valve 101: OpenMaxtemp - CloseMaxtemp

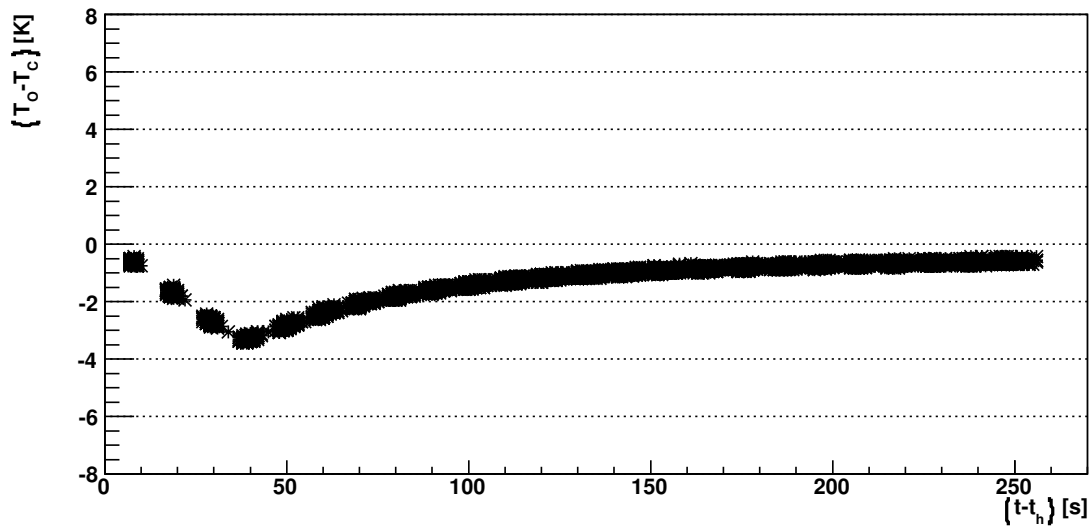


Valve 101: OpenMaxtemp - CloseMaxtemp

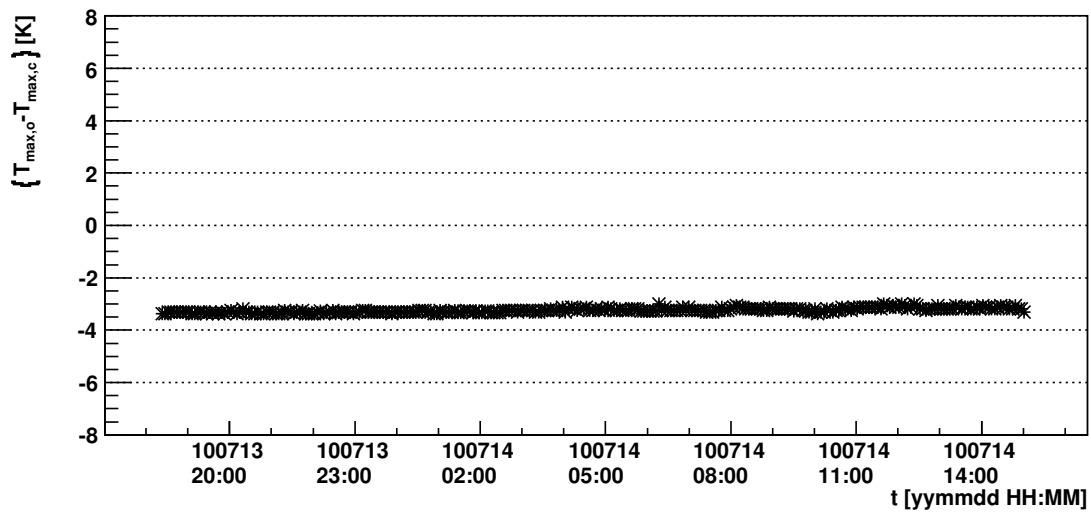


hMaxDiff	
Entries	289
Mean	4.113
RMS	0.1344

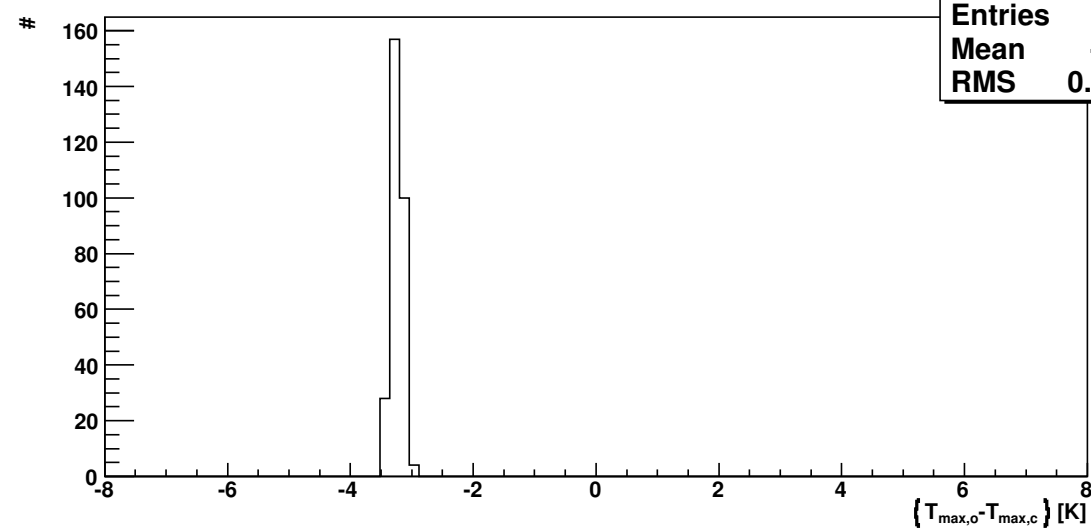
Valve 102: Opentemp - Closetemp



Valve 102: OpenMaxtemp - CloseMaxtemp



Valve 102: OpenMaxtemp - CloseMaxtemp



hMaxDiff	
Entries	289
Mean	-3.243
RMS	0.08478

B Quellcodes

B.1 MASTERD & MINID

Da bei MINID lediglich die Pfade zu den Dateien verschieden sind, wird hier nur der Quellcode von MASTERD angeführt.

```
masterd.h
1 #ifndef _masterd
2 #define _masterd
3
4 #define mdConfigFile "/home/messung/masterdaemon/masterdConfig.txt"
5 #define mdLogFile "/home/messung/masterdaemon/log/masterdLog.txt"
6 #define mdCheckCommand "/home/messung/masterdaemon/checkprocess"
7 #define mdScanForStopCommand "/home/messung/masterdaemon/scanforstop"
8
9 typedef struct{
10     char name[375];
11     char command[375];
12     char config_file[375];
13 } process_t;
14
15 typedef struct process_list{
16     process_t process;
17     struct process_list *next;
18 } process_list_t;
19
20 #endif
```

```
masterd.c
1 #include <stdio.h>
2 #include <unistd.h>
3 #include "masterd.h"
4 #include "../..../parser/source/parser.h"
5
6 int loop = 1; //main loop flag
7 int debug = 0; //debug level
8 #define DBG if(debug > 0)
9
10 process_list_t *plist = NULL;
11
12 void addp(char *name, char *cmd, char *cfg){
13     process_list_t *newp;
14
15     newp = malloc(sizeof(process_list_t));
16     strncpy((char*)&(newp->process.name), name, 375);
17     strncpy((char*)&(newp->process.command), cmd, 375);
18     strncpy((char*)&(newp->process.config_file), cfg, 375);
19     newp->next = plist;
20     plist = newp;
21 }
22
23 void clearp(void){
24     process_list_t *temp;
25
26     while(plist != NULL){
27         temp = plist->next;
```

```

28     free(plist);
29     plist = temp;
30 }
31 }
32
33 int read_cfg()
34 {
35     // Commands:
36     // $WATCHPROCESS, 3, processname, command, config file
37
38     int anz=0;
39     command_t* liste;
40
41     anz = anzahl_commands_in_file(mdConfigFile);
42     DBG printf("Commands_in_config_file:_%d\n", anz);
43     liste = (command_t*)malloc(sizeof(command_t) * anz);
44     read_cfg_file(mdConfigFile, liste);
45
46     int i;
47     clearp();
48     for(i = 0 ; i < anz ; i++){
49         switch (liste[i].cmd_nr){
50             case 1:
51                 loop = 0;
52                 break;
53             case 1001:
54                 DBG printf("Watching:_%s_#_%s_#_%s\n", liste[i].
55                     parameter[0].value, liste[i].parameter[1].value,
56                     liste[i].parameter[2].value);
57                 addp(liste[i].parameter[0].value, liste[i].parameter[1].
58                     value, liste[i].parameter[2].value);
59                 break;
60         }
61     }
62     free(liste);
63     return 1;
64 }
65
66 char lastline[1024] = "";
67
68 int checkprocess(process_t *pro){
69     char temp[1024];
70     FILE* check;
71
72     sprintf(temp, "%s_\"%s\"_\"%s\"_>&1", mdCheckCommand, pro->name,
73         pro->command);
74     DBG printf("Executing:_%s\n", temp);
75
76     check = popen(temp, "r");
77     while(fgets(lastline, 1024, check)){
78         DBG printf(lastline);
79     };
80     return pclose(check) / 256;
81 // return system(temp) / 256;
82 }
83
84 int scanforstop(char *fname){

```

```

82     char temp[1024];
83     sprintf(temp, "%s\ \"%s\"", mdScanForStopCommand, fname);
84     DBG printf("Executing: %s\n", temp);
85     return system(temp) / 256;
86 }
87
88 void watchprocesses(void){
89     char temp[1024];
90     process_list_t *current;
91
92     int ret;
93
94     current = plist;
95     while(current != NULL){
96         if(scanforstop((char*)&(current->process.config_file))){
97             DBG printf("Skipping process %s.\n", current->process.
98                 name);
99         }else{
100             ret = checkprocess(&(current->process));
101             switch(ret){
102                 case 0:
103                     DBG printf("Process %s not running. Executed
104                         command %s.\n", current->process.name,
105                         current->process.command);
106                     sprintf(temp, "Process %s not running. Executed
107                         command %s.", current->process.name, current
108                         ->process.command);
109                     write_log(mdLogFile, temp, 1);
110                     if(lastline[0]){
111                         int i;
112                         for(i=0; i<1024; i++){
113                             if(lastline[i] == '\n') break;
114                             lastline[i] = 0;
115                             sprintf(temp, "Last returned line: %s", lastline
116                                 );
117                             write_log(mdLogFile, temp, 1);
118                             lastline[0] = 0;
119                         }
120                     }
121                     break;
122                 case 1:
123                     DBG printf("Process %s still running.\n",
124                         current->process.name);
125                     break;
126                 case 255:
127                     sprintf(temp, "Error checking process %s<!",
128                         current->process.name);
129                     write_log(mdLogFile, temp, 1);
130                     DBG fprintf(stderr, "Error checking process %s<!\n
131                         n", current->process.name);
132                     break;
133                 default:
134                     DBG printf("Defaulted: %d\n", ret);
135             }
136         }
137         current = current->next;
138     }
139 }

```

```

131 int main (int argc, char *argv [])
132 {
133     int c;
134     while((c = getopt(argc, argv, "d:")) != -1){
135         switch(c){
136             case 'd':
137                 sscanf(optarg, "%d", &debug);
138                 break;
139             case '?':
140                 printf("Unknown_argument_or_missing_parameter.\n");
141                 return -1;
142         }
143     }
144
145     if(debug==0) //daemonize when not debugging
146         daemon(0,0);
147
148     write_log(mdLogFile, "Masterd_started.", 1);
149     while(loop){ //main loop
150         read_cfg();
151         watchprocesses();
152         sleep(1);
153     }
154
155     //clean up
156     clearp();
157
158     write_log(mdLogFile, "Stopped.", 1);
159     return 0;
160 }

```

B.2 GASMATRIX

Da Teile von GASMATRIX von [5] übernommen wurden und der Quellcode insgesamt sehr lang ist, wird hier nur eine verkürzte Version mit den Routinen gezeigt, die modifiziert oder neu geschrieben wurden.

gasmatrix.c

```

1 #include <stdio.h>
2 #include <stdlib.h>
3 #include <ctype.h>
4 #include <unistd.h>
5 #if !defined(AIX) && !defined(SOLARIS) && !defined(FREEBSD) && !defined(
    DARWIN)
6 #include <getopt.h>
7 #endif /* !AIX and !SOLARIS and !FREEBSD and !DARWIN */
8 #include <sys/types.h>
9 #include <sys/stat.h>
10 #include <sys/time.h>
11 #include <time.h>
12 #include <math.h>
13 #include <string.h>
14 #include <fcntl.h>
15 #include <strings.h>
16 #include <stdint.h>
17 #include "ad26.h"
18

```



```

19 // Include endian.h
20 #if DARWIN
21 #include <machine/endian.h>
22 #endif
23 #if FREEBSD
24 #include <sys/endian.h>
25 #endif
26 #if !defined(DARWIN) && !defined(FREEBSD)
27 #include <endian.h>
28 #endif
29
30 #ifdef LINUX
31 #ifndef OWUSB
32 #ifdef LOCKDEV
33 #include <lockdev.h>
34 #endif
35 #endif
36 #endif
37
38 #include "gasmatrix.h"
39 #include "device_name.h"
40 #include "ownet.h"
41 #include "owproto.h"
42 #include "../parser/source/parser.h"
43
44 //Define Paths:
45 #define _GASMATRIXCONFIGFILE "/home/messung/gasmatrix/gasmatrixconfig.
    txt"
46 #define _GASCONFIGLOG "/home/vdc/data/gasmatrix/log/ConfigLog.txt"
47 #define _VALVELOG "/home/vdc/data/gasmatrix/log/ValveLog.txt"
48 #define _CURRENTSTATEVALVES "/home/messung/currentstateValves.txt"
49 #define _CURRENTSTATETEMP_tmp "/home/messung/gasmatrix/
    currentstateTemperatures.txt.tmp"
50 #define _CURRENTSTATETEMP "/home/messung/currentstateTemperatures.txt"
51 #define _TEMPWARNLOG "/home/vdc/data/temperatures/log/TempWarning.txt"
52 #define _TEMPLOG "/home/vdc/data/temperatures/log/TempLog.txt"
53 #define _TEMPTIMEDATALOG "/home/vdc/data/temperatures/log/Temp_Time_Data
    .txt"
54 #define _USBLOG "/home/vdc/data/gasmatrix/log/USBLog.txt"
55
56 /* Setup the correct getopt starting point */
57 #ifdef LINUX
58 #define GETOPTEOF -1
59 #define OPTINDSTART 0
60 #endif
61
62 #define uchar unsigned char
63
64 extern char *optarg;
65 extern int optind, opterr, optopt;
66
67 #if defined(FREEBSD) || defined(DARWIN)
68 extern int optreset;
69 #endif /* FREEBSD or DARWIN */
70 int opts = 0; // usbses wegen quiet mode
71
72 //— Defines for our hardware config —
73 #define ANZAHL_DS9490 2

```

```

74 #define MAXTEMP 120
75 #define MAXSINGLE 100
76 #define MAXSWITCH 10
77 #define INSTALLEDTEMP 96
78 #define INSTALLEDSWITCH 6 /* Hardware 4 , with 8 Channels , 6 Channels
   used*/
79 #define INSTALLEDSINGLE 100
80
81 /*— Globale Variablen —*/
82 int switchkanal_fuer_spalte[7]; // Kanal für jede Spalte(1-6)
83 char singleSensorPos[MAXSINGLE][20];
84 int high_limit[MAXSINGLE];
85 int low_limit [MAXSINGLE];
86 int anz_single_temp =0;
87 int cfg_position[48]; // config Ventilposition (0 zu , 1 auf)
88 int cur_position[48]; // current Ventilposition (0 zu , 1 auf)
89 float cur_opentemp[48];
90 float cur_closetemp[48];
91 float max_opentemp[48];
92 float max_closetemp[48];
93 float min_opentemp[48];
94 float min_closetemp[48];
95 float mean_opentemp[48];
96 float mean_closetemp[48];
97 float mean_opennum[48];
98 float mean_closennum[48];
99 int loop = 1; // used for STOP Command in CFG file
100 int debug = 0;
101 int verbose = 0;
102 int sleeptime = 6;
103 int runs = 240 / 10;
104 char logstring[1000];
105
106 int mindiff = 1; // 1°C Temp Diff subject to change ...
107 int heatingtime = 60; // Zeit in Sekunden die maximal geheizt wird
108
109 unsigned char sensor_list_roms[MAXIEMP*8];
110 unsigned char sensorsingle_list_roms[MAXSINGLE*8];
111 float mean_singletemp[MAXSINGLE];
112 float mean_singlenum[MAXSINGLE];
113 unsigned char switch_list_roms[MAXSWITCH*8];
114 int sw_port[6] = {0,0,0,0,0,0};
115 int temp_port[MAXIEMP] ;
116 int tempsingle_port[MAXSINGLE];
117 struct _roms sensor_list;
118 struct _roms sensorsingle_list;
119 struct _roms switch_list;
120
121 int valvenum[48] = { 11, 12, 13, 14, 15, 16, 17, 0,
122 21, 22, 23, 24, 25, 26, 27, 0,
123 31, 32, 33, 34, 35, 36, 37, 0,
124 41, 42, 43, 44, 45, 46, 47, 101,
125 51, 52, 53, 54, 55, 56, 57, 102,
126 61, 62, 63, 64, 65, 66, 67, 0 };
127 float meantemp;
128 float tempRMS;
129 float tempnum;
130 float meantoptemp;

```

```

131     float temptopRMS;
132     float temptopnum;
133     float meanbottomtemp;
134     float tempbottomRMS;
135     float tempbottomnum;
136     float mean_meantemp;
137
138
139     /*—— Ende Globale Variablen ——*/
140
141     int heizung(int spalte ){
142     //int heizung(int spalte , struct _roms *switch_list){
143     // ausschalten / anschalten / ausschalten , so dass steigene und fallende
144     // Flanke vorhanden
145     int htc= 0 ;
146     if (debug > 0){printf("Start_heizung_:_%d_\n",spalte);}
147     for (htc = 0 ; htc < 10 ; htc++){
148         if(htc >= 1) msDelay(500);
149         if (write_switch( &switch_list , spalte -1, sw_port[spalte -1], 0
150             xFF) == TRUE){break;}
151         if (htc == 9) { return FALSE;}
152     }
153
154     if (switchkanal_fuer_spalte[spalte -1] == 0){
155         for (htc = 0 ; htc < 10 ; htc++){
156             msDelay(500);
157             if (write_switch( &switch_list , spalte -1, sw_port[spalte -1],
158                 0xFC + 0x02)== TRUE) {break;} // 10 , to turn channel A
159                 on
160             if (htc == 9) { return FALSE;}
161         }
162     } else {
163         for (htc = 0 ; htc < 10 ; htc++){
164             msDelay(500);
165             if (write_switch( &switch_list , spalte -1, sw_port[spalte -1],
166                 0xFC + 0x01)== TRUE) {break;} // 01 , to turn channel B
167                 on
168             if (htc == 9) { return FALSE;}
169         }
170     }
171     for (htc = 0 ; htc < 10 ; htc++){
172         msDelay(500);
173         if (write_switch( &switch_list , spalte -1, sw_port[spalte -1], 0
174             xFF)== TRUE ) { break;} // turn all off
175         if (htc == 9) { return FALSE;}
176     }
177     return TRUE;
178 }
179
180 int read_spalte (struct _roms *sensor_list , int spalte , int portnum){
181     float opentemp;
182     float closetemp;
183     int i,j,s,r ;
184     char help[512];
185     int max;
186     max = spalte*8 - 1;
187     if((spalte == 4) || (spalte == 5))

```

```

182         max++;
183
184     /* for(i=0; i<3; i++){
185         if(start_convert_all_temp(0))
186             break;
187     }*/
188
189     for ( i = (spalte-1)*8 ; i < max ; i++){
190         s = (i/8)+1;
191         r = (i%8)+1;
192         //read_temp(sensor_list, (2*i) ,portnum, &closetemp);
193         for(j=0; j<10; j++){
194             closetemp = -1;
195             read_temp_no_convert(sensor_list, (2*i) ,portnum, &
196                 closetemp);
197             if(closetemp > 0)
198                 break;
199         }
200         sprintf(help, "Sensorposition > Valve_%2d_(col_%d,row_%d)_
201             closetemp < Temperature_is_%3.2f_[Celsius]", valvenum[i], s, r,
202             closetemp);
203         if(verbose)
204             write_log(_TEMPLOG, help, 1);
205         //read_temp(sensor_list, (2*i)+1,portnum, &opentemp);
206         for(j=0; j<10; j++){
207             opentemp = -1;
208             read_temp_no_convert(sensor_list, (2*i)+1,portnum, &opentemp
209                 );
210             if(opentemp > 0)
211                 break;
212         }
213         sprintf(help, "Sensorposition > Valve_%2d_(col_%d,row_%d)_
214             opentemp < Temperature_is_%3.2f_[Celsius]", valvenum[i], s, r,
215             opentemp);
216         if(verbose)
217             write_log(_TEMPLOG, help, 1);
218
219         if(debug >= 1)
220             printf("TempSensorNr(auf): %d_TEMP: %2.3f_C_TempSensorNr(zu)
221                 : %d_TEMP: %2.3f_C\n", 2*i, opentemp, 2*i+1, closetemp);
222         if(opentemp > 0){
223             if(opentemp < min_opentemp[i])
224                 min_opentemp[i] = opentemp;
225             if(opentemp > max_opentemp[i])
226                 max_opentemp[i] = opentemp;
227             mean_opentemp[i] += opentemp;
228             mean_opennum[i]++;
229         }
230         if(closetemp > 0){
231             if(closetemp < min_closetemp[i])
232                 min_closetemp[i] = closetemp;
233             if(closetemp > max_closetemp[i])
234                 max_closetemp[i] = closetemp;
235             mean_closetemp[i] += closetemp;
236             mean_closetemp[i]++;
237         }
238         cur_opentemp[i] = opentemp;
239         cur_closetemp[i] = closetemp;

```

```

233     }
234     return 1;
235 }
236
237 void reset_min_max(void)
238 {
239     int i;
240     for(i=0; i<48; i++){
241         min_opentemp[i] = 200;
242         min_closetemp[i] = 200;
243         max_opentemp[i] = 0;
244         max_closetemp[i] = 0;
245         mean_opentemp[i] = 0;
246         mean_closetemp[i] = 0;
247         mean_opennum[i] = 0;
248         mean_closenumber[i] = 0;    }
249     for(i=0; i<MAXSINGLE; i++){
250         mean_singletemp[i] = 0;
251         mean_singlenumber[i] = 0;
252     }
253     mean_meantemp = 0;
254 }
255
256 int check_spalte (struct _roms *sensor_list , int spalte , int portnum){
257     int i,s,r ;
258     int max;
259     max = spalte*8 - 1;
260     if((spalte == 4) || (spalte == 5))
261         max++;
262
263     for ( i = (spalte-1)*8 ; i < max ; i++){
264         s = (i/8)+1;
265         r = (i%8)+1;
266
267         if ((max_closetemp[i] - max_opentemp[i]) > mindiff) {
268             cur_position[i] = 0;
269         }else if ((max_closetemp[i] - max_opentemp[i]) < (-mindiff)){
270             cur_position[i] = 1;
271         }else {
272             cur_position[i] = -1;
273         }
274         if((max_closetemp[i] < 0) || (max_opentemp[i] <0)) //Sensors
                disfunctional?
                cur_position[i] = -1;
275     }
276     return 1;
277 }
278 }
279
280 int check_cfg_cur(){
281     char help[500];
282     int i;
283
284     char valvepositions_log[] = _VALVELOG;
285     for ( i = 0 ; i < 48 ; i++){
286         int s,r ;
287         s = (i/8)+1;
288         r = (i%8)+1;
289         if (cfg_position[i] == cur_position[i]){

```

```

290     // Nope, alles okay
291     /*
292     sprintf(help, "Valve %d (col %d ,row %d) is okay",i,s,r);
293     if (debug >= 1){ printf("%s\n",help) };
294     write_log(valvepositions_log,help,1);*/
295 } else if ((cfg_position[i] == 1) && (cur_position[i] == 0)){
296     sprintf(help, "Valve_%d_(col_%d,row_%d)_is_closed,_but_
        configured_to_be_opened",valvenum[i],s,r);
297     if (debug >= 1)
298         printf("%s\n",help);
299     write_log(valvepositions_log,help,1);
300 } else if ((cfg_position[i] == 0) && (cur_position[i] == 1)){
301     sprintf(help, "Valve_%d_(col_%d,row_%d)_is_opened,_but_
        configured_to_be_closed",valvenum[i],s,r);
302     if (debug >= 1)
303         printf("%s\n",help);
304     write_log(valvepositions_log,help,1);
305 } else if ((cfg_position[i] == 1) && (cur_position[i] == -1)){
306     sprintf(help, "Valve_%d_(col_%d,row_%d)_is_indifferent_(o:
        %2.3f°C ,_c:_%2.3f_C)_and_configured_to_be_open",valvenum[
        i],s,r,max_opentemp[i],max_closetemp[i]);
307     if (debug >= 1)
308         printf("%s\n",help);
309     write_log(valvepositions_log,help,1);
310 }else if ((cfg_position[i] == 0) && (cur_position[i] == -1)){
311     sprintf(help, "Valve_%d_(col_%d,row_%d)_is_indifferent_(o:
        %2.3f°C ,_c:_%2.3f_C)_and_configured_to_be_closed",
        valvenum[i],s,r,max_opentemp[i],max_closetemp[i]);
312     if (debug >= 1)
313         printf("%s\n",help);
314     write_log(valvepositions_log,help,1);
315 }
316 }
317
318 char valvepositions_current[] = _CURRENTSTATEVALVES;
319 remove(valvepositions_current);
320 sprintf(help, "Current_valve_positions_(Calculated_from_temperature_
        difference(max_opentemp_-_max_closetemp);_1_open;_0_closed;_-1_
        undefined;_must_value_in_brackets):");
321 write_log(valvepositions_current,help,1);
322
323 tempnum = 0;
324 int s,r;
325 for ( i = 0 ; i < 48 ; i++){
326     s = (i/8)+1;
327     r = (i%8)+1;
328     if(r != 8){
329         sprintf(help, "Valve_%3d_(col_%d,row_%d,opentemp_%2.3f,
        closetemp_%2.3f):_%2d_(%d)_%s",
330             valvenum[i],s,r,max_opentemp[i],max_closetemp[i],
        cur_position[i],cfg_position[i],cfg_position[i]==
        cur_position[i] ? "OK" : "WARNING!");
331         if (debug >= 1)
332             printf("%s\n",help);
333         write_log(valvepositions_current,help,0);
334     }
335 }
336 }

```

```

337     for (s = 4; s <= 5; s++){
338         r = 8;
339         i = (s-1)*8+(r-1);
340
341         sprintf(help, "Valve_%3d_(col_%d,row_%d,opentemp_%.2f,
342             closetemp_%.2f):_%2d_(%d)%s",
343             valvenum[i], s, r, max_opentemp[i], max_closetemp[i],
344             cur_position[i], cfg_position[i], cfg_position[i]==
345             cur_position[i] ? "OK" : "WARNING!");
346     if (debug >= 1)
347         printf("%s\n", help);
348     write_log(valvepositions_current, help, 0);
349 }
350
351
352 void calc_mean_cabinet_temperature( void )
353 {
354     float tempsum = 0;
355     float temptopsum = 0;
356     float tempbottomsum = 0;
357     tempnum = 0;
358     temptopnum = 0;
359     tempbottomnum = 0;
360     char help[500];
361     int i, s, r;
362     for ( i = 0 ; i < 48 ; i++){
363         s = (i/8)+1;
364         r = (i%8)+1;
365         if (r != 8){
366             //Calculate mean cabinet temperature from unheated sensors
367             switch (cur_position[i]){
368                 case 1:
369                     tempsum += cur_closetemp[i];
370                     tempnum++;
371                     if (s <= 3){
372                         temptopsum += cur_closetemp[i];
373                         temptopnum++;
374                     } else {
375                         tempbottomsum += cur_closetemp[i];
376                         tempbottomnum++;
377                     }
378                 break;
379                 case 0:
380                     tempsum += cur_opentemp[i];
381                     tempnum++;
382                     if (s <= 3){
383                         temptopsum += cur_opentemp[i];
384                         temptopnum++;
385                     } else {
386                         tempbottomsum += cur_opentemp[i];
387                         tempbottomnum++;
388                     }
389                 break;
390             }
391         }

```

```

392     }
393     for (s = 4; s<=5; s++){
394         r = 8;
395         i = (s-1)*8+(r-1);
396
397         //Calculate mean cabinet temperature from unheated sensors
398         switch (cur_position [ i ]) {
399             case 1:
400                 tempsum += cur_closetemp [ i ];
401                 tempnum++;
402                 if (s <= 3) {
403                     temptopsum += cur_closetemp [ i ];
404                     temptopnum++;
405                 } else {
406                     tempbottomsum += cur_closetemp [ i ];
407                     tempbottomnum++;
408                 }
409                 break;
410             case 0:
411                 tempsum += cur_opentemp [ i ];
412                 tempnum++;
413                 if (s <= 3) {
414                     temptopsum += cur_opentemp [ i ];
415                     temptopnum++;
416                 } else {
417                     tempbottomsum += cur_opentemp [ i ];
418                     tempbottomnum++;
419                 }
420                 break;
421         }
422     }
423     meantemp = tempsum / tempnum;
424     meantoptemp = temptopsum / temptopnum;
425     meanbottomtemp = tempbottomsum / tempbottomnum;
426
427     tempsum = 0;
428     tempnum = 0;
429     for ( i = 0 ; i < 48 ; i++){
430         s = (i/8)+1;
431         r = (i%8)+1;
432         if (r != 8) {
433             //Calculate mean cabinet temperature RMS from unheated
434                 sensors
435                 switch (cur_position [ i ]) {
436                     case 1:
437                         tempsum += pow((meantemp - cur_closetemp [ i ]), 2);
438                         tempnum++;
439                         break;
440                     case 0:
441                         tempsum += pow((meantemp - cur_opentemp [ i ]), 2);
442                         tempnum++;
443                         break;
444                 }
445         }
446     }
447     for (s = 4; s<=5; s++){
448         r = 8;

```



```

449     i = (s-1)*8+(r-1);
450     //Calculate mean cabinet temperature RMS from unheated sensors
451     switch(cur_position[i]){
452         case 1:
453             tempsum += pow((meantemp - cur_closetemp[i]), 2);
454             tempnum++;
455             break;
456         case 0:
457             tempsum += pow((meantemp - cur_opentemp[i]), 2);
458             tempnum++;
459             break;
460     }
461 }
462 }
463 tempRMS = tempsum / (tempnum - 1);
464 tempRMS = sqrt(tempRMS);
465
466 sprintf(help, "Sensorposition > Mean cabinet temperature from %2.0f
467 valve_matrix_sensors < Temperature is %3.2f [Celsius] RMS: %3.2f
468 [Celsius]",
469 tempnum, meantemp, tempRMS);
470 if (debug >= 1)
471     printf("%s\n", help);
472 if(verbose)
473     write_log(_TEMPLOG, help, 1);
474 sprintf(help, "Sensorposition > Mean top cabinet temperature from
475 %2.0f valve_matrix_sensors < Temperature is %3.2f [Celsius]",
476 temptopnum, meantoptemp);
477 if (debug >= 1)
478     printf("%s\n", help);
479 if(verbose)
480     write_log(_TEMPLOG, help, 1);
481 sprintf(help, "Sensorposition > Mean bottom cabinet temperature from
482 %2.0f valve_matrix_sensors < Temperature is %3.2f [Celsius]",
483 tempbottomnum, meanbottomtemp);
484 if (debug >= 1)
485     printf("%s\n", help);
486 if(verbose)
487     write_log(_TEMPLOG, help, 1);
488 mean_meantemp += meantemp;
489 }
490
491 int check_single(int portnum){
492     int i, j;
493     float ctemp;
494     char help[500];
495
496     char temperatures_current_temp[] = _CURRENTSTATETEMP_tmp;
497     char temperatures_current[] = _CURRENTSTATETEMP;
498     remove(temperatures_current_temp);
499     sprintf(help, "Current temperatures:");
500     write_log(temperatures_current_temp, help, 1);
501     /* for(i=0; i<3; i++){
502         if(start_convert_all_temp(0))
503             break;
504     }*/

```

```

503     for (i = 0 ; i < sensordata_list.max ; i++){
504         if (debug >= 1)
505             printf("Reading_Single_Sensor_%u\n", i);
506         //read_temp(& sensordata_list , i , portnum , &ctemp);
507         for (j=0;j<10;j++){
508             ctemp = -1;
509             read_temp_no_convert(&sensordata_list , i , portnum , &ctemp)
510                 ;
511             if(ctemp > 0)
512                 break;
513         }
514         if ((ctemp < low_limit[i]) || (ctemp > high_limit[i])){ //Out of
515             range
516             sprintf(help , "Temperature_Warning_for_Sensorposition >_%s<_
517                 Current_temperature_of_%3.2f_[ Celsius ]_is_out_range_(%d_
518                 to_%d_)" , singleSensorPos [ i ] , ctemp , low_limit [ i ] , high_limit
519                 [ i ] );
520             if (debug >= 1)
521                 printf ("%s\n" , help);
522             write_log (_TEMPWARNLOG, help , 1);
523             sprintf (help , "Sensorposition >_%s<_Temperature_is_%3.2f_[
524                 Celsius ]_WARNING!_Out_of_range_(%d_to_%d)!" ,
525                 singleSensorPos [ i ] , ctemp , low_limit [ i ] , high_limit [ i ] );
526         }else{//Normal Output
527             sprintf (help , "Sensorposition >_%s<_Temperature_is_%3.2f_[
528                 Celsius ]" , singleSensorPos [ i ] , ctemp);
529         }
530     }
531     if (debug >= 1)
532         printf ("%s\n" , help);
533     write_log (temperatures_current_temp , help , 0);
534     if(verbose)
535         write_log (_TEMPLOG, help , 1);
536     if(ctemp > 0){
537         mean_singletemp[i] += ctemp;
538         mean_singlenum[i]++;
539     }
540 }
541
542     sprintf(help , "Sensorposition >_Mean_cabinet_temperature_from_%2.0f_
543         valve_matrix_sensors<_Temperature_is_%3.2f_[ Celsius ]_RMS:_%3.2f_
544         [ Celsius ]" ,
545         tempnum , meantemp , tempRMS);
546     write_log(temperatures_current_temp , help , 0);
547
548     if (debug >= 1)
549         printf("Copying_temperature_status\n");
550
551     sprintf(help , "cp-f_%s\"_%s\" , temperatures_current_temp ,
552         temperatures_current);
553     system(help);
554
555     return 1;
556 }
557
558 void log_mean_temps(void)
559 {

```

```

550     int i;
551     char help[500];
552
553     for(i=0; i<48; i++){
554         mean_opentemp[i] /= mean_opennum[i];
555         mean_closetemp[i] /= mean_closetemp[i];
556     }
557     for(i=0; i<MAXSINGLE; i++){
558         mean_singletemp[i] /= mean_singlenum[i];
559     }
560     mean_meantemp /= runs;
561
562     sprintf(help, "Sensorposition > Mean_cabinet_temperature <
563         Temperature_is_%3.2f_[Celsius]", mean_meantemp);
564     write_log(_TEMPLOG, help, 1);
565
566     for (i = 0 ; i < sensorsingle_list.max ; i++){
567         if ((mean_singletemp[i] < low_limit[i]) || (mean_singletemp[i] >
568             high_limit[i])){ //Out of range
569             sprintf(help, "Sensorposition > %s < Temperature_is_%3.2f_[
570                 Celsius ]_WARNING!_Out_of_range_(%d_to%d)!",
571                 singleSensorPos[i], mean_singletemp[i], low_limit[i],
572                 high_limit[i]);
573             }else{//Normal Output
574                 sprintf(help, "Sensorposition > %s < Temperature_is_%3.2f_[
575                     Celsius ]", singleSensorPos[i], mean_singletemp[i]);
576             }
577         }
578         write_log(_TEMPLOG, help, 1);
579     }
580 }
581
582 int OpenUSBPort(char* serial_port, int portnum){
583     char temp[1024];
584
585     if(debug>0)
586         printf("Acquiring_USB_Port\n");
587     if( !lowAcquire( portnum, serial_port, temp ) ){
588         fprintf(stderr, "USB_ERROR: %s\n", temp );
589         OWERROR_DUMP(stderr);
590         return 0;
591     }
592     return 1;
593 }
594
595 int main (int argc, char **argv){
596     char serial_port[40];
597     char temp[1024];
598
599     //Argumente verarbeiten
600     char c;
601     while ((c = getopt (argc, argv, "d:DT:v")) != -1){
602         switch (c){
603             case 'd':
604                 sscanf(optarg, "%d", &debug);
605                 break;
606             case 'T':

```

```

602         sscanf(optarg, "%d", &sleeptime);
603         if((sleeptime < 4) || (sleeptime > 10))
604             sleeptime = 10;
605         runs = 240 / sleeptime;
606         sleeptime -= 4;
607         break;
608     case 'D':
609         daemon(0,0);
610         break;
611     case 'v':
612         verbose=1;
613         break;
614     case '?':
615         if (optopt == 'd')
616             fprintf (stderr, "Option_-%c_requires_an_argument.\n",
617                     optopt);
618         else if (isprint (optopt))
619             fprintf (stderr, "Unknown_option_\'-%c\'.\n", optopt);
620         else
621             fprintf (stderr, "Unknown_option_character_\'\\x%x\'.\n",
622                     optopt);
623         return 1;
624         break;
625     default:
626         break;
627 }
628
629 /* Formel für sensor in gasmatrix
630 sensor = (spalte-1)*14 + (Reihe-1)*2 + posaufzu
631 */
632
633 // clean up the struct variables
634 bzero( &sensor_list, sizeof( struct _roms ) );
635 bzero( &switch_list, sizeof( struct _roms ) );
636 bzero( &sensorsingle_list, sizeof( struct _roms ) );
637 // alloc mem for struct
638 if( ( sensor_list.roms = malloc( MAXIEMP * 8 ) ) == NULL ){
639     fprintf( stderr, "Error_reserving_memory_for_%d_sensors\n",
640             MAXIEMP );
641     return -1;
642 }
643 if( ( sensorsingle_list.roms = malloc( MAXSINGLE * 8 ) ) == NULL ){
644     fprintf( stderr, "Error_reserving_memory_for_%d_single_
645             sensors\n", MAXSINGLE );
646     return -1;
647 }
648
649 if( ( switch_list.roms = malloc( MAXSWITCH * 8 ) ) == NULL ){
650     fprintf( stderr, "Error_reserving_memory_for_%d_switches\n",
651             MAXSWITCH );
652     return -1;
653 }
654
655 read_cfg();
656 // Ausgabe der Adressen wenn debug

```

```

655     if (debug > 0){
656         int ss, rr, j ;
657         for (ss = 1; ss <= 6; ss++){
658             printf("Spalte:_%d\n",ss);
659             for ( rr = 1 ; rr <=7 ; rr++){
660
661                 for (j = 0 ; j <8 ; j++)
662                     printf("%02X",sensor_list.roms[8*((ss-1)*14 + (rr-1)
663                         *2 +0) + j]);
664             }
665             printf("\n");
666             for ( rr = 1 ; rr <=7 ; rr++){
667                 for (j = 0 ; j <8 ; j++)
668                     printf("%02X",sensor_list.roms[8*((ss-1)*14 + (rr-1)
669                         *2 +1) + j]);
670             }
671             printf("Spalte_%d_Ende\n\n", ss);
672
673         }
674         printf("Ausgabe_der_Adressen_fuer_Valves_komplett\n");
675         printf("Adressen_Einzelsensoren_,_Anzahl_%d\n",anz_single_temp )
676         ;
677         for(ss = 0 ; ss < anz_single_temp ; ss++){
678             printf("Sensorposition:_%20s_Adr:_",singleSensorPos[ss]);
679             for (j = 0 ; j <8 ; j++)
680                 printf("%02X",sensorsingle_list.roms[8*ss + j]);
681             printf("_Non-warning_range_:_%d_-_%d_",low_limit[ss],
682                 high_limit[ss]);
683             printf("\n");
684         }
685         for(ss = 0 ; ss < INSTALLEDSWITCH ; ss++){
686             printf("Switch_%d;_Spalte_%d;_Kanal_%d;_Adr_",ss, ss+1,
687                 switchkanal_fuer_spalte[ss] );
688             for (j = 0 ; j <8 ; j++)
689                 printf("%02X",switch_list.roms[8*ss + j]);
690             printf("\n");
691         }
692         }
693         // Initialisierung Adressen Ende
694         // Open USB Port
695
696         strcpy( serial_port , "USB" );
697         int portnum = 0;
698         OpenUSBPort(serial_port , portnum);
699
700         // ——— USB Port(s) opened
701
702         // Hauptschleife für normale Überwachung
703         int main_loop = 1;
704         int run = 0;
705         reset_min_max(); //reset min and max temperatures
706         if (main_loop == 1){
707             while (loop ==1){

```

```

708     int spalte , i ;
709
710     if(run == 0){ //first run in cycle => heat
711         write_log(_TEMPLOG,"Starting_heating_cycle.",1);
712         for ( spalte = 1; spalte <= 6 ;spalte++){
713             if(debug >= 1) printf("Heating_%u\n", spalte);
714             heizung(spalte);
715         }
716     }
717
718     //Convert all temperatures
719     if(debug >= 1) printf("Converting_temperatures.\n");
720     for(i=0; i<10; i++){
721         if(start_convert_all_temp(0)){
722             if(verbose)
723                 write_log(_TEMPLOG,"Converted_temperatures.",1);
724             break;
725         }
726     }
727     if(i==10) write_log(_TEMPLOG,"Failed_to_convert_temperatures
728     .",1);
729
730     //Read out matrix temperatures
731     for ( spalte = 1; spalte <= 6 ;spalte++){
732         read_spalte( &sensor_list , spalte , portnum );
733     }
734
735     calc_mean_cabinet_temperature();
736
737     //Check single sensors
738     check_single(0);
739
740     //Reset USB
741     owRelease(0, temp);
742     for(i=0; i<10; i++){
743         if(OpenUSBPort(serial_port , 0))
744             break;
745         sprintf(temp, "Could_not_acquire_USB_port.");
746         write_log(_USBLOG,temp,1);
747         sprintf(temp, "Could_not_acquire_USB_port.\n");
748         fprintf(stderr , temp);
749         if(i==9){
750             sprintf(temp, "Quitting.");
751             write_log(_USBLOG,temp,1);
752             sprintf(temp, "Quitting.\n");
753             fprintf(stderr , temp);
754             loop = 0;
755         }else{
756             msDelay(5*1000);
757         }
758     }
759
760     if(++run >= runs){
761         for ( spalte = 1; spalte <= 6 ;spalte++){
762             check_spalte( &sensor_list , spalte , portnum );
763         }
764

```

```

765         // Compare Read back to config values !
766         check_cfg_cur(); // Compare the 2 array with valve
                          // positions
767
768         //log mean temperatures if current temperatures are not
                          // being logged
769         if(verbose == 0)
770             log_mean_temps();
771
772         reset_min_max(); //reset min and max temperatures
773         run = 0;
774     }
775
776     if(debug >= 1) printf("Next_run_in_cycle: %u/%u\n", run+1,
                          runs);
777
778     if(debug >= 1) printf("Sleep %u\n", sleeptime);
779     sleep(sleeptime);
780
781     read_cfg();
782 } // while loop ==1
783 }
784
785 // CleanUp
786 printf("Clean_up_sensor_list\n");
787 if( sensor_list.roms != NULL )
788     free( sensor_list.roms );
789 printf("Clean_up_switch_list\n");
790 if( switch_list.roms != NULL )
791     free( switch_list.roms );
792 printf("Clean_up_sensorsingle_list\n");
793 if( sensorsingle_list.roms != NULL )
794     free( sensorsingle_list.roms );
795
796 owRelease(0, temp );
797 // owRelease(1, temp );
798 return 0;
799 }

```

B.3 FLOWBUS

```

flowbus.h
1 #ifndef _FLOWBUS
2 #define _FLOWBUS
3
4
5 #define fbConfigFile "/home/messung/flowbus/fbConfig.txt"
6 #define fbLogFile "/home/vdc/data/gas/log/flowbusLog.txt"
7 #define fbCurrentstate "/home/messung/currentstateFlowbus.txt"
8 #define fbTempstate "/home/messung/flowbus/currentstateFlowbus.txt"
9 #define SerialDevice "/dev/ttyS0"
10
11 typedef struct{
12     char pos[375];
13     int type;
14     int chan;
15     float min;

```

```

16     float max;
17 } entry_t;
18
19 typedef struct entry_list{
20     entry_t entry;
21     struct entry_list *next;
22 } entry_list_t;
23
24
25 #endif

```

flowbus.c

```

1 #include <stdio.h>
2 #include <fcntl.h>
3 #include <unistd.h>
4 #include <math.h>
5
6 #include "flowbus.h"
7 #include "../parser/source/parser.h"
8
9 int loop = 1; //main loop flag
10 int debug = 0; //debug level
11 int Dflag = 0; //daemon flag
12 #define DBG if(debug > 0)
13 #define LOG(text) write_log(fbLogFile, text, 1)
14
15 struct{
16     float nominalflow;
17     float readnominalflow;
18     float actualflow;
19     float nominalpressure;
20     float readnominalpressure;
21     float actualpressure;
22 } Chamber[6];
23
24 #define flow2int(f) floor(((f) * 1600) + 0.5)
25 #define int2flow(i) ((i) / 1600.0)
26 #define pres2int(p) floor(((p) * 29.0909091) + 0.5)
27 #define int2pres(i) ((i) / 29.0909091)
28 #define maxdev(v) ((v) * 0.01)
29
30 //int cham2flownodeA [] = { 3, 4, 5, 6, 7, 8 };
31 //int cham2presnodeA [] = { 9, 10, 11, 12, 13, 14 };
32 #define cham2flownode(c) (2+c)
33 #define cham2presnode(c) (8+c)
34 #define isflownode(n) ((n >= 3) && (n <= 8))
35 #define ispresnode(n) ((n >= 9) && (n <= 14))
36 #define node2cham(n) (isflownode(n)?(n-2):(n-8))
37
38 FILE *input;
39 FILE *output;
40
41 int read_cfg()
42 {
43     // Commands:
44     // $SETFLOW,3,Chamber number,flow[l/h],pressure[mBar]
45
46     int anz=0;

```



```

47     command_t* liste;
48
49     anz = anzahl_commands_in_file(fbConfigFile);
50     DBG printf("Commands_in_config_file:_%d\n", anz);
51     liste = (command_t*)malloc(sizeof(command_t) * anz);
52     read_cfg_file(fbConfigFile, liste);
53
54     int i;
55     for(i = 0 ; i < anz ; i++){
56         int cham;
57         float flow, pres;
58         switch (liste[i].cmd_nr){
59             case 1:
60                 loop = 0;
61                 break;
62             case 601:
63                 sscanf(liste[i].parameter[0].value, "%u", &cham);
64                 sscanf(liste[i].parameter[1].value, "%f", &flow);
65                 flow = floor(flow * 100.0) / 100.0;
66                 sscanf(liste[i].parameter[2].value, "%f", &pres);
67                 pres = floor(pres);
68
69                 if(cham > 0 && cham < 7){
70                     DBG printf("Settings_for_Chamber_%i:\tFlow=%1.2f\
71                             \tPressure=%4.2f\n", cham, flow, pres);
72                     Chamber[cham-1].nominalflow = flow;
73                     Chamber[cham-1].nominalpressure = pres;
74                 }else{
75                     fprintf(stderr, "Ignoring_wrong_chamber_number:_%i\n
76                             ", cham);
77                 }
78                 break;
79         }
80     }
81     free(liste);
82     return 1;
83 }
84 int OpenSerialBus(void)
85 {
86     char cmd[512];
87
88     sprintf(cmd, "stty -F%s raw 38400", SerialDevice);
89     DBG printf("%s\n", cmd);
90     system(cmd);
91
92     DBG printf("Opening_serial_bus.\n");
93     input = fopen(SerialDevice, "r");
94     output = fopen(SerialDevice, "w");
95
96     if(input != NULL && output != NULL){
97         int fd = fileno(input);
98
99         int flags = fcntl(fd, F_GETFL, 0);
100        flags |= O_NONBLOCK;
101        fcntl(fd, F_SETFL, flags);
102

```

```

103     DBG printf("Done.\n");
104     return 1;
105 }
106 return 0;
107 }
108
109 void CloseSerialBus(void)
110 {
111     DBG printf("Closing_serial_bus.\n");
112     if(input != NULL)
113         fclose(input);
114     if(output != NULL)
115         fclose(output);
116 }
117
118 void GetReturnValues(int c, int f, int n)
119 {
120     int node=0, i=0xFF, val=0, cham=0, equals=0;
121     int read=0;
122     float fval;
123     char cmd[512];
124     char errstr[512];
125
126     while((fgets(cmd, 512, input)) != NULL){
127         DBG printf("S<_%s", cmd);
128         sscanf(cmd, ":06%02X02012%1X%04X", &node, &i, &val);
129         DBG printf("Node:_%i\tIndex:_%i\tValue:_%i\n", node, i, val);
130
131         if(node >= 3 && node <= 14){
132             cham = node2cham(node);
133
134             if(c == cham && f == isflownode(node) && n == i-1)
135                 read = 1;
136
137             float diff;
138
139             if(isflownode(node)){
140                 fval = int2flow(val);
141
142                 if(i == 0x01){ //actual value
143                     Chamber[cham-1].actualflow = fval;
144                     sprintf(cmd, "VDCp%u_actual_flow_read_as:_%4.2f",
145                             cham, fval);
146                     DBG printf("%s\n", cmd);
147                     LOG(cmd);
148                 }else if(i == 0x02){ //nominal value
149                     Chamber[cham-1].readnominalflow = fval;
150                     diff = fabs(fval - Chamber[cham-1].nominalflow);
151                     errstr[0] = 0;
152                     if(diff > maxdev(Chamber[cham-1].nominalflow)){
153                         sprintf(errstr, "WARNING!_Config_discrepancy:_")
154                             ;
155                     }
156                     sprintf(cmd, "%sVDCp%u_nominal_flow_read_as:_%4.2f",
157                             errstr, cham, fval);
158                     DBG printf("%s\n", cmd);
159                     LOG(cmd);
160                 }
161             }
162         }
163     }

```

```

159         }else{
160             fval = int2pres(val);
161
162             if(i == 0x01){ //actual value
163                 Chamber[cham-1].actualpressure = fval;
164                 sprintf(cmd, "VDCp%u_actual_pressure_read_as:_%4.2f"
165                     , cham, fval);
166                 DBG printf("%s\n", cmd);
167                 LOG(cmd);
168             }else if(i == 0x02){ //nominal value
169                 Chamber[cham-1].readnominalpressure = fval;
170                 diff = fabs(fval - Chamber[cham-1].nominalpressure);
171                 errstr[0] = 0;
172                 if(diff > maxdev(Chamber[cham-1].nominalpressure)){
173                     sprintf(errstr, "WARNING!_Config_discrepancy:_")
174                         ;
175                 }
176                 sprintf(cmd, "%sVDCp%u_nominal_pressure_read_as:_
177                     %4.2f",
178                     errstr, cham, fval);
179                 DBG printf("%s\n", cmd);
180                 LOG(cmd);
181             }
182         }
183     }
184     errstr[0] = 0;
185     if(read){
186         float diff;
187         if(n == 1){
188             fval = f?Chamber[c-1].readnominalflow:Chamber[c-1].
189                 readnominalpressure;
190             diff = fabs(fval - (f?Chamber[c-1].nominalflow:Chamber[c-1].
191                 nominalpressure));
192             if(diff > maxdev(f?Chamber[c-1].nominalflow:Chamber[c-1].
193                 nominalpressure)){
194                 sprintf(errstr, "_WARNING!_Config_discrepancy._Config:_
195                     %4.2f",
196                     f?Chamber[c-1].nominalflow:Chamber[c-1].
197                     nominalpressure);
198             }
199         }
200     }else{
201         fval = f?Chamber[c-1].actualflow:Chamber[c-1].actualpressure
202             ;
203         diff = fabs(fval - (f?Chamber[c-1].nominalflow:Chamber[c-1].
204             nominalpressure));
205         if(diff > maxdev(f?Chamber[c-1].nominalflow:Chamber[c-1].
206             nominalpressure)){
207             sprintf(errstr, "_WARNING!_Strong_deviation_from_nominal
208                 _value.");
209         }
210     }
211     sprintf(cmd, "VDCp%u_%s_%s_is_%4.2f%s", c, n?"nominal":"actual",
212         f?"flow":"pressure", fval, errstr);
213 }else{

```

```

203     sprintf(cmd, "WARNING!_VDCp%u_%s_%s_could_not_be_read.", c, n?"
        nominal":"actual", f?"flow":"pressure");
204     }
205     write_log(fbTempstate, cmd, 0);
206 }
207
208 void SetNominalValue(int node, int val){
209     char cmd[512];
210
211     sprintf(cmd, ":06%02X010121%04X\r\n", node, val);
212     DBG printf("S>_%s", cmd);
213     fprintf(output, cmd);
214
215     usleep(100000);
216     fgets(cmd, 512, input);
217     DBG printf("S<_%s", cmd);
218
219 }
220
221 void GetNominalValue(int cham, int f){
222     char cmd[512];
223     int node;
224
225     node=f?cham2flownode(cham):cham2presnode(cham);
226
227     sprintf(cmd, ":06%02X0401220121\r\n", node);
228     DBG printf("S>_%s", cmd);
229     fprintf(output, cmd);
230
231     usleep(100000);
232     GetReturnValues(cham, f, 1);
233
234 }
235
236 void GetActualValue(int cham, int f){
237     char cmd[512];
238     int node;
239
240     node=f?cham2flownode(cham):cham2presnode(cham);
241
242     sprintf(cmd, ":06%02X0401210120\r\n", node);
243     DBG printf("S>_%s", cmd);
244     fprintf(output, cmd);
245
246     usleep(100000);
247     GetReturnValues(cham, f, 0);
248 }
249
250 void check_all(void)
251 {
252     int i;
253
254     CloseSerialBus();
255     for(i=0; i<10; i++){
256         if(OpenSerialBus())
257             break;
258     }
259     for(i=1; i<=6; i++){

```

```

260     SetNominalValue(cham2flownode(i), flow2int(Chamber[i-1].
261         nominalflow));
262     SetNominalValue(cham2presnode(i), pres2int(Chamber[i-1].
263         nominalpressure));
264     GetNominalValue(i,1);
265     GetNominalValue(i,0);
266     GetActualValue(i,1);
267     GetActualValue(i,0);
268 }
269 }
270 int main(int argc, char *argv[])
271 {
272     int c;
273     FILE *f;
274     char cmd[512];
275     while((c = getopt(argc, argv, "d:D")) != -1){
276         switch(c){
277             case 'd':
278                 sscanf(optarg, "%d", &debug);
279                 break;
280             case 'D':
281                 Dflag = 1;
282                 break;
283             case '?':
284                 printf("Unknown_argument_or_missing_parameter.\n");
285                 return -1;
286         }
287     }
288     if(Dflag == 1){
289         LOG("Starting_as_daemon.");
290         printf("Starting_as_daemon.\n");
291         daemon(0,0);
292     }
293     read_cfg();
294     printf("Starting_main_loop.\n");
295     LOG("Starting_main_loop.");
296     while(loop != 0){ //main loop
297         //prepare log file
298         f = fopen(fbTempstate, "w");
299         if(f)
300             fclose(f);
301         write_log(fbTempstate, "Current_flowbus_status", 1);
302         check_all();
303         sprintf(cmd, "cp_f_%s_%s", fbTempstate, fbCurrentstate);
304         DBG printf("%s\n", cmd);
305         system(cmd);
306         DBG printf("Sleep_10\n");
307         sleep(10);
308         read_cfg();
309     }
310 }

```

```

316
317     //clean up
318     CloseSerialBus();
319
320     LOG("Stopped.");
321     printf("Stopped.\n");
322     return 0;
323 }

```

B.4 PBREADOUT

pbreadout.h

```

1  #ifndef _pbreadout
2  #define _pbreadout
3
4  #define pbrConfigFile "/home/messung/pbreadout/pbrConfig.txt"
5  #define pbrLogFile "/home/vdc/data/gas/log/pbreadoutLog.txt"
6  #define pbrCurrentstate "/home/messung/currentstatePressureBox.txt"
7  #define COMEDIDEVICE "/dev/comedi0"
8
9  typedef struct{
10     char pos[375];
11     int type;
12     int chan;
13     float min;
14     float max;
15 } entry_t;
16
17 typedef struct entry_list{
18     entry_t entry;
19     struct entry_list *next;
20 } entry_list_t;
21
22 #endif

```

pbreadout.c

```

1  #define _ISOC99_SOURCE //Needed for NAN
2
3  #include <stdio.h>
4  #include <unistd.h>
5  #include <math.h>
6  #include <comedilib.h>
7  #include "pbreadout.h"
8  #include "../parser/source/parser.h"
9
10 int loop = 1; //main loop flag
11 int debug = 0; //debug level
12 int Dflag = 0; //daemon flag
13 #define DBG if(debug > 0)
14 #define LOG(text) write_log(pbrLogFile, text, 1)
15
16 comedi_t *device;
17
18 entry_list_t *elist = NULL;
19
20 void adde(char *pos, int type, int chan, float min, float max){
21     entry_list_t *newe;

```

```

22
23     newe = malloc(sizeof(entry_list_t));
24     strncpy((char*)&(newe->entry.pos), pos, 375);
25     newe->entry.type = type;
26     newe->entry.chan = chan;
27     newe->entry.min = min;
28     newe->entry.max = max;
29
30     newe->next = elist;
31     elist = newe;
32 }
33
34 void clearlist(void){
35     entry_list_t *temp;
36
37     while(elist != NULL){
38         temp = elist->next;
39         free(elist);
40         elist = temp;
41     }
42 }
43
44 int read_cfg()
45 {
46     // Commands:
47     // $PBSENSOR,5,Positionstring,Sensortype,Channelnumber,minval,maxval
48
49     int anz=0;
50     command_t* liste;
51
52     anz = anzahl_commands_in_file(pbrConfigFile);
53     DBG printf("Commands_in_config_file:_%d\n", anz);
54     liste = (command_t*)malloc(sizeof(command_t) * anz);
55     read_cfg_file(pbrConfigFile, liste);
56
57     int i;
58     clearlist();
59     for(i = 0 ; i < anz ; i++){
60         int type, chan;
61         float min, max;
62         switch (liste[i].cmd_nr){
63             case 1:
64                 loop = 0;
65                 break;
66             case 501:
67                 sscanf(liste[i].parameter[1].value, "%u", &type);
68                 sscanf(liste[i].parameter[2].value, "%u", &chan);
69                 sscanf(liste[i].parameter[3].value, "%f", &min);
70                 sscanf(liste[i].parameter[4].value, "%f", &max);
71                 DBG printf("Adding_Sensor:\n\tPos:_%s\n\tType:_%u\n\t
72                 tChan:_%u\n\tMin:_%2.0f\n\tMax:_%2.0f\n", liste[i].
73                 parameter[0].filestring, type, chan, min, max);
74                 adde(liste[i].parameter[0].filestring, type, chan, min,
75                 max);
76                 break;
77         }
78     }
79 }

```

```

77     free(liste);
78     return 1;
79 }
80
81 float read_voltage(entry_list_t *sensor)
82 {
83     lsampl_t data;
84     int ret, i;
85     comedi_range * range_info;
86     lsampl_t maxdata;
87     double physical_value, mean = 0, meansquare = 0;
88
89     device = comedi_open(COMEDIDEVICE);
90     if(!device){
91         comedi_perror(COMEDIDEVICE);
92         exit(-1);
93     }
94
95     DBG{
96         printf("measuring_device=%s_subdevice=%d_channel=%d_range=%d_
97             analog_reference=%d\n",
98             COMEDIDEVICE, 0, sensor->entry.chan, 1, 0);
99     }
100     for(i=0; i<1000; i++){
101         ret = comedi_data_read(device, 0, sensor->entry.chan, 1, 0, &
102             data);
103         if(ret < 0){
104             comedi_perror(COMEDIDEVICE);
105             exit(-1);
106         }
107         if(1) {
108             comedi_set_global_oor_behavior(COMEDI_OOR_NAN);
109             range_info = comedi_get_range(device, 0, sensor->entry.chan,
110                 1);
111             maxdata = comedi_get_maxdata(device, 0, sensor->entry.chan);
112             DBG {
113                 printf("[0,%d]_->_[%g,%g]\n", maxdata,
114                     range_info->min, range_info->max);
115             }
116             physical_value = comedi_to_phys(data, range_info, maxdata);
117             if(isnan(physical_value)) {
118                 DBG printf("Out_of_range_[%g,%g]",
119                     range_info->min, range_info->max);
120             } else {
121                 DBG printf("%g", physical_value);
122                 switch(range_info->unit) {
123                     case UNIT_volt: DBG printf("_V"); break;
124                     case UNIT_mA: DBG printf("_mA"); break;
125                     case UNIT_none: break;
126                     default: DBG printf("_ (unknown_unit_%d)",
127                         range_info->unit);
128                 }
129                 DBG {
130                     printf("_(%lu_raw_units)", (unsigned long) data);
131                 }
132             }
133         }

```



```

132     } else {
133         DBG printf("%lu", (unsigned long)data);
134     }
135     DBG printf("\n");
136
137     mean += physical_value;
138     meansquare += physical_value * physical_value;
139 }
140
141 comedi_close(device);
142
143 mean /= 1000;
144 meansquare /= 1000;
145
146 return mean;
147 }
148
149 float U2P(int type, float U)
150 {
151     float P;
152
153     switch(type){
154     case 0:
155         P = (U/5.0 - 0.04) / 0.09 * 10.0;
156         break;
157     case 1:
158         P = (U/5.0 - 0.04) / 0.018 * 10.0;
159         break;
160     case 2:
161         P = (U/5.0 + 0.095) / 0.009 * 10.0;
162         break;
163     default:
164         P=NAN;
165         break;
166     }
167     return P;
168 }
169
170 void check_sensor(entry_list_t *sensor, FILE *csf)
171 {
172     float U, P;
173     char logstring[512];
174
175     U = read_voltage(sensor);
176     P = U2P(sensor->entry.type, U);
177     if(isnan(P)){
178         sprintf(logstring, "Pressure_at_%s<< is_NAN (Read_voltage_was_
179             %1.2f_V.)_WARNING!", sensor->entry.pos, U);
180     } else if(P < sensor->entry.min){
181         sprintf(logstring, "Pressure_at_%s<< is_%2.1f_mBar._WARNING!_
182             Out_of_Range_(%2.1f_to_%2.1f_mBar)_!", sensor->entry.pos, P,
183             sensor->entry.min, sensor->entry.max);
184     } else if(P > sensor->entry.max){
185         sprintf(logstring, "Pressure_at_%s<< is_%2.1f_mBar._WARNING!_
186             Out_of_Range_(%2.1f_to_%2.1f_mBar)_!", sensor->entry.pos, P,
187             sensor->entry.min, sensor->entry.max);
188     } else {

```

```

184     sprintf(logstring, "Pressure_at_>_%s<_is_%.2f_mBar.", sensor->
        entry.pos, P);
185 }
186 DBG printf("%s\n", logstring);
187 write_data(pbrCurrentstate, logstring, 1);
188 LOG(logstring);
189 }
190
191 void check_all( void )
192 {
193     entry_list_t * cur;
194     FILE *f;
195
196     f = fopen(pbrCurrentstate, "w");
197     if(f != NULL) fclose(f);
198     write_log(pbrCurrentstate, "Current_pressure_values:", 1);
199
200     cur = elist;
201     while(cur != NULL){
202         check_sensor(cur, f);
203         cur = cur->next;
204     }
205 }
206
207 int main (int argc, char *argv[])
208 {
209     int c;
210     while((c = getopt(argc, argv, "d:D")) != -1){
211         switch(c){
212             case 'd':
213                 sscanf(optarg, "%d", &debug);
214                 break;
215             case 'D':
216                 Dflag = 1;
217                 break;
218             case '?':
219                 printf("Unknown_argument_or_missing_parameter.\n");
220                 return -1;
221         }
222     }
223
224     if(Dflag == 1){
225         LOG("Starting_as_daemon.");
226         printf("Starting_as_daemon.\n");
227         daemon(0,0);
228     }
229
230     LOG("Starting_main_loop.");
231     printf("Starting_main_loop.");
232     while(loop != 0){ //main loop
233         read_cfg();
234         check_all();
235         sleep(10);
236     }
237
238     //clean up
239     clearlist();
240

```

```
241 |     LOG("Stopped.");  
242 |     printf("Stopped.");  
243 |     return 0;  
244 | }
```